

Visual Computing

Zusammenfassung

Fabian Damken

18. Oktober 2022



TECHNISCHE
UNIVERSITÄT
DARMSTADT

Inhaltsverzeichnis

1. Einführung	7
1.1. Visual Computing	7
1.1.1. 3D-Internet	7
1.1.2. Skalierbare Objektmodellierung/-erkennung	7
1.1.3. Big Data, Visual Analytics	7
1.1.4. Scene Understanding	8
1.2. Generalisierte Dokumente	8
1.2.1. Retro-Digitalisierung, Digital Creation	8
1.2.2. Generative Modeling Language	8
2. Wahrnehmung	9
2.1. Human-Computer-Interaction	9
2.2. Überblick	9
2.2.1. Menschliche Informationsverarbeitung	9
2.3. Wahrnehmung	11
2.3.1. Das Auge	11
2.3.2. Vorverarbeitung visueller Informationen	12
2.3.3. Informationsextraktion	14
2.4. Aufmerksamkeit	17
2.4.1. Limitierung der Wahrnehmung	17
2.4.2. Das Gedächtnis und „Gateway to Memory“	17
3. Computer Vision: Objekterkennung und Bayes	18
3.1. Computer Vision	18
3.2. Bayesian Decision Theory	18
3.2.1. Konzepte und Bayes Theorem	18
3.2.2. Problemstellung	19
3.2.3. Entscheidungsregel	19
3.2.4. Naive Bayes Classifier	21
3.3. Probability Density Estimation	21
3.4. Gesichtsdetektion	21
3.4.1. Sliding Window Ansatz	21
3.4.2. Beispiel: Gesichtsdetektion	22
3.4.3. Erkennungsarten	22
4. Fouriertheorie	23
4.1. Mathematische Grundlagen	23
4.1.1. Vektorraum	23
4.1.2. Basis eines Vektorraums	23
4.1.3. Krummlinige Koordinatensysteme	24

4.1.4.	Andere Räume	24
4.1.5.	Komplexe Zahlen	24
4.1.6.	Gerade/Ungerade Funktionen	25
4.2.	Fourier-Reihe	25
4.2.1.	Dirichlet-Bedingungen	25
4.2.2.	2π -periodische Funktion	25
4.2.3.	Skalarprodukt, Orthogonale Basis	25
4.2.4.	Berechnung der Koeffizienten a_m, b_m	26
4.2.5.	Beispiel: Rechteck-Schwingung	27
4.3.	Fourier-Transformation	27
4.3.1.	Beispiel: Rechteckimpuls	29
4.3.2.	Transformationspaare	29
4.3.3.	2D-Fourier-Transformation	30
4.4.	Faltung	30
4.4.1.	Anwendung: Filter	30
4.5.	Abtastung	30
4.5.1.	Abtasttheorie	31
4.5.2.	Abtasttheorem von Whittaker-Shannon	31
5.	Bilder	32
5.1.	Bildverbesserung	32
5.1.1.	Histogramm	32
5.1.2.	Pixeloperationen	32
5.1.3.	Kontrastspreizung	33
5.1.4.	Histogrammausgleich	33
5.1.5.	Mittelung	33
5.2.	Bildfilterung	34
5.2.1.	Ortsraum	34
5.2.2.	Frequenzraum	36
5.2.3.	Vergleich: Orts- und Frequenzraum-Filter	37
5.3.	Bildkompression	37
5.3.1.	Harmonische Transformation	38
6.	Bildverarbeitung, Deblurring	40
6.1.	Korrekt gestellte Probleme	40
6.2.	Einschrittverfahren	40
6.2.1.	Wiener Filter	40
6.2.2.	Mehrkomponentenverfahren	41
6.3.	Mehrschrittverfahren (Iterative Methoden)	42
6.3.1.	Energie und Variationsableitung	42
6.3.2.	Alternativen	42
6.3.3.	Perona-Malik	43
6.3.4.	Eingeschränkte Evolution: Totale Variation	44
7.	Grafikpipeline	45
7.1.	Hardware	45
7.1.1.	P1: Large-Scale-Computing	45
7.1.2.	P2: Personal/Desktop Computing	45

7.1.3.	P3: Networked Computing	45
7.1.4.	P4: Mobile Computing	45
7.1.5.	ZP1: Collaborative Computing	45
7.1.6.	ZP2: Virtual Reality	45
7.1.7.	Augmented Reality	47
7.1.8.	Ambient/Invisible	47
7.1.9.	Wearable/Ubiquitous	47
7.2.	Computergrafik	47
7.2.1.	Uncanny Valley	47
7.3.	Grafikpipeline	47
7.4.	Anwendung	48
7.4.1.	Eingabe grafischer Daten	48
7.4.2.	Repräsentation von 3D-Daten	48
7.4.3.	Räumliche Datenstrukturen	48
7.5.	Geometrieverarbeitung	49
7.5.1.	Simulation der Beleuchtung	49
7.5.2.	Perspektivische Transformation und Clipping (Abschneiden)	50
7.5.3.	Culling (Verdeckungsrechnung im Objektraum)	50
7.5.4.	Projektion	50
7.6.	Rasterisierung	50
7.6.1.	Scan-Konvertierung	51
7.6.2.	Verdeckungsrechnung	51
8.	Transformationen	53
8.1.	Affine Abbildungen	53
8.1.1.	Eigenschaften	53
8.1.2.	Homogene Koordinaten	54
8.2.	Skalierung, Scherung, Rotation	54
8.2.1.	Skalierung	54
8.2.2.	Scherung	55
8.2.3.	Rotation	55
8.2.4.	Nicht-Kommutativität von Transformationen	56
8.2.5.	Rechenaufwand	56
8.3.	Projektion	56
8.3.1.	Perspektivische Projektion	57
8.3.2.	Parallele Projektion	57
8.3.3.	Kanonisches Sichtvolumen	58
8.4.	3D-Interaktion	58
8.4.1.	Manipulatoren	58
9.	3D-Visualisierung	59
9.1.	(Gewinnung) 3D-Daten	59
9.2.	Triangulation von Punktwolken	59
9.2.1.	Ideal Triangulation	59
9.2.2.	Voronoi-Diagramm	60
9.2.3.	Delaunay-Triangulation	60

9.3. Indirekte Volumenvisualisierung	60
9.3.1. 3D-Volumen und Nachbarschaft	60
9.3.2. 2D: Konturlinien	60
9.3.3. 3D: Isoflächen	60
9.3.4. 2D: Marching Squares	61
9.3.5. 3D: Marching Cubes	61
9.3.6. Große Polygonmodelle und Performanz	61
9.4. Direkte Volumenvisualisierung	62
9.4.1. Density Emitter Model	62
9.4.2. Volumen-Rendering-Pipeline	63
10. Szenengraphen am Beispiel X3DOM	65
10.1. Szenengraph	65
10.2. X3DOM	66
11. Informationsvisualisierung	67
11.1. Informationsdesign	67
11.2. Datentypen	67
11.2.1. 1D-Daten, Zeitreihen	67
11.2.2. 2D-Daten	68
11.2.3. mD-Daten (multidimensional)	68
11.2.4. Hierarchien	68
11.2.5. Graphen/Netzwerke	68
11.3. Kuchendiagramm (1D)	68
11.4. Balkendiagramm (1D)	68
11.5. Liniendiagramm (Zeitreihe)	68
11.6. Scatterplot (2D, 3D)	69
11.7. Scatterplotmatrix (nD)	69
11.8. Parallele Koordinaten (3D, nD)	69
11.9. Node-Link-Diagramm (Hierarchien, Graphen)	69
11.10. Treemap (Hierarchien)	70
11.11. Zusammenfassung	70
12. Farbe	71
12.1. Dimensionalität und Farbattribute	71
12.2. Berechnung von Farbattributen	72
12.2.1. Das Auge	72
12.2.2. Spektrale Charakterisierung des Auges	72
12.2.3. Spektralwertfunktion	72
12.2.4. Cone Fundamentals	72
12.3. Objektfarben, Lichtmatrix und CIEXYZ-Farbraum	73
12.3.1. Das CIE Chromaticity Diagramm	73
12.4. Metamerie	73
12.5. Gegenfarbtheorie	74
12.6. Stevenssche Potenzfunktion	74
12.7. CIELAB Farbraum	74
12.8. Technische Farbräume	75
12.8.1. Geräte RGB	75

12.8.2. Geräteunabhängige RGB	75
12.8.3. YCbCr	75
12.8.4. HSI/HSV/HSL	75
12.8.5. CMY/CMYK	76
12.9. Komplexität von Farbe	76
12.9.1. Chromatische Adaptation	76
12.9.2. Farbwahrnehmungsphänomene	77
12.9.3. Farbwahrnehmungsmodelle	77
12.9.4. Kontrastsensitivität	78
13. User Interfaces	79
13.1. Interaktion	79
13.1.1. Möglichkeiten	79
13.1.2. Designprozess	81
13.2. GUI: Benutzeroberflächen	82
13.2.1. Das WIMP-Interface	82
13.2.2. Menübasierte Programme	83
13.2.3. GUI-Anwendungen und Event-basiertes Programmieren	84
13.3. 3D-Interaktion	84
14. Multimedia Information Retrieval	85
14.1. Inhaltsbasierte Suche	85
14.1.1. Distanzmaße	85
14.1.2. Query-Modalitäten	85
14.2. Explorative Suche	86
A. Übliche Fragen	87
A.1. Einführung	87
A.2. Wahrnehmung	87
A.3. Objekterkennung	89
A.4. Bayesian Decision Theory	90
A.5. Fouriertheorie	91
A.6. Bilder	92
A.7. Bildverarbeitung	93
A.8. Grafikpipeline	95
A.9. Transformationen	96
A.10. 3D-Visualisierung	97
A.11. Szenengraphen	99
A.12. Informationsvisualisierung	99
A.13. Farbe	100
A.14. Interaktion und User Interfaces	101
A.15. Multimedia Information Retrieval	102

1. Einführung

1.1. Visual Computing

Visual Computing ist die Kombination mehrerer Bereiche der Informatik, in denen im Wesentlichen mit Bildern und Modellen gearbeitet wird. Dabei gibt es z. B. folgende Themenbereiche:

- 3D-Internet
- Skalierbare Objektmodellierung und -erkennung
- Big Data, Visual Analytics
- Scene Understanding (Verstehen und Analysieren von 3D-/4D-Szenen)

Die Fachgebiete Computergraphik (Bildgebung) und Computer Vision (Bilderkennung) sollten nicht länger getrennt voneinander betrachtet werden, insbesondere die Schnittstelle beider Gebiete verdient besondere Beachtung.

1.1.1. 3D-Internet

Das 3D-Internet ist eine Erweiterung des bislang größtenteils textuell aufgefassten Internets. Dabei gibt es vielfältige Anwendungsmöglichkeiten:

- Modellerzeugung
- Medical Computing
- uvm.

1.1.2. Skalierbare Objektmodellierung/-erkennung

Heutige visuelle Objekterkennungsalgorithmen sind auf wenige hundert Kategorien limitiert, für die semantische Beschreibung der Umwelt werden aber mehrere zehntausend benötigt. Außerdem müssen neue Kategorien anhand weniger Beispiele erlernbar werden! Dazu werden 3D-Objektdatenbanken benötigt, um ähnliche Objekte zu bestimmen.

Häufig werden Deep-Learning-Verfahren eingesetzt, die gigantische Berechnungen und intelligente (stochastische) Optimierungsalgorithmen benötigen.

1.1.3. Big Data, Visual Analytics

Die geeignete Analyse und explorative Erschließung von abstrakten, heterogenen Datenmengen ist in vielen Anwendungen sehr hilfreich. Der Bereich der Visual Analytics kombiniert viele Methoden der automatischen Datenverarbeitung und des maschinellen Lernens sowie neuartige Ansätze der Visualisierung und Mensch-Maschine-Interaktion.

1.1.4. Scene Understanding

Scene Understanding beschäftigt sich z. B. damit, einmal erkannte Personen in einem Video auch nicht zu verlieren, wenn diese verdeckt werden. Dazu wird Personendetektion und -verfolgung integriert.

Das allgemeine Ziel ist die vollständige Modellierung und Darstellung einer erfassten Szene sowie die semantische Beschreibung dieser.

1.2. Generalisierte Dokumente

Der technische Fortschritt führt zu einer Überflutung an Informationen, sodass effiziente Such- und Retrieval-Algorithmen immer mehr benötigt werden. Ein *generalisiertes Dokument* kann dabei ein Bild, Text, Video, 3D-Modell, ... sein.

1.2.1. Retro-Digitalisierung, Digital Creation

Die Digitalisierung von 3D-Objekten ist momentan noch zu aufwendig und zeitintensiv. Des weiteren fehlen Werkzeuge zur Massendigitalisierung. Es ist somit das Ziel, effektive 3D-Massendigitalisierungs-Werkzeuge und Workflows zu erstellen (z. B. Cultlab3D).

1.2.2. Generative Modeling Language

Die *Generative Modeling Language* (GML) ist eine Programmiersprache zur Beschreibung von dreidimensionalen Formen. Dabei folgt sie einem generativen Ansatz, d. h. es werden nicht Objekt-Listen, sondern Objekt-erzeugende Operationen zur Datenrepräsentation verwendet.

2. Wahrnehmung

2.1. Human-Computer-Interaction

Abbildung 2.1 zeigt den klassischen Zyklus der *Human-Computer-Interaction* (HCI), d. h. der Interaktion zwischen Mensch und Maschine. Dabei spielt insbesondere die visuelle Interaktion und Kommunikation über das Auge eine große Rolle.

2.2. Überblick

Der Mensch hat fünf grundlegende Sinne: Sehen, Hören, Fühlen, Schmecken und Riechen, wobei das Sehen, Hören und Fühlen derzeit dominant sind. Der heute sicherlich relevanteste Sinn ist dabei das Sehen und das menschliche Auge. Da die meisten erzeugten Bilder der Kommunikation von und zum Menschen dienen sollen, ist es gut, das menschliche visuelle System zu kennen, um den Informationstransfer optimal zu gestalten (der Monitorausgang ist nicht das Ende des Informationsflusses).

Hören und Fühlen sind dabei relevant für die Informationsaufnahme und Interaktion mit der realen Welt (außerhalb der Mensch-Maschine-Interaktion).

Bei der Gestaltung von Kommunikation gibt es zwei große Probleme:

- Die Wahrnehmung ist nicht objektiv.
- Das visuelle System ist stark nichtlinear (es ist keine einfache Interpolation oder Extrapolation von Versuchsergebnissen möglich).

2.2.1. Menschliche Informationsverarbeitung

Abbildung 2.2 zeigt die drei Stufen der menschlichen Informationsverarbeitung:

- *Wahrnehmung* von Eindrücken durch die Sinne,

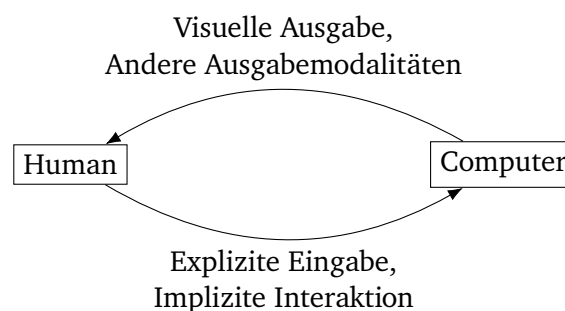


Abbildung 2.1.: Klassischer Zyklus der Human-Computer-Interaction (HCI).

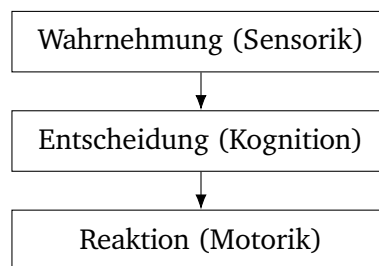


Abbildung 2.2.: Modulares Drei-Stufen-Modell der menschlichen Informationsverarbeitung.

Untersystem	Durchschnitt	Bereich
Wahrnehmung (Perzeption)	100 ms	50 ms bis 200 ms
Entscheidung (Kognition)	70 ms	25 ms bis 170 ms
Reaktion (Motorik)	70 ms	30 ms bis 100 ms

Tabelle 2.1.: Typische Bearbeitungszeiten der Untersysteme der menschlichen Informationsverarbeitung.

- *Entscheidungsfindung* im Gehirn und
- *Reaktion* durch den Körper.

Dabei verhält sich die Ausführungszeit additiv und die Funktionen werden durch neurologisch getrennte Gehirnteile ausgeführt, die „elektronisch“ verbunden sind.

Dabei braucht jede Bearbeitung in den einzelnen Stufen unterschiedlich lange und die benötigten Zeiten können verwendet werden, um die Performanz abzuschätzen, bzw. vorherzusagen (bspw. für die Bildfrequenz von Filmen, die maximale Morserate, ...). Typische Zeiten sind in Tabelle 2.1 abgebildet.

Eingabe (Wahrnehmung)

Die Untersysteme der Wahrnehmung,

- Visuell (Sehen)
- Akustisch (Hören)
- Haptisch (Fühlen)

können dabei (theoretisch) parallel arbeiten.

Klangwahrnehmung Die Hauptkomponenten von Klängen sind

- Klangfarbe,
- Tonlage und
- Lautstärke.

Diese werden durch verschiedene Mechanismen wahrgenommen und Informationen (z. B. der Ursprung eines Geräuschs) extrahiert.

Berührungswahrnehmung Die Hauptkomponenten der Haptik sind

- Fühl- und Tastsinn (Temperatur, Schmerz, Druck, Oberflächen) und
- Propriozeption (Wahrnehmung der Bewegung und Lage der eigenen Körperglieder).

Dabei interagiert die Haptik stark mit Sehen und Hören, was bei sich widersprechenden Informationen Illusionen hervorrufen kann. Ein User-Interface-Designer nutzt Illusionen dabei gezielt aus, um bestimmte Informationen zu vermitteln.

Ausgabe (Reaktion)

Die Untersysteme der Reaktion,

- Artikulation (Sprechen)
- Motorisch (Bewegen)

können dabei (theoretisch) parallel arbeiten.

Die motorische Ausgabe kann dabei auf verschiedene Weisen angewandt werden:

- Diskret (Schalter) oder
- Kontinuierlich (Heben).

Sie ist dabei beschränkt durch Geschwindigkeit, Stärke, Koordinationsvermögen, Wendigkeit, . . . Neurologisch ist die motorische Ausgabe dabei mit dem haptischen System verbunden (Reflexe).

Das *Muskelgedächtnis* hilft dabei, relevante Positionen im Raum (z. B. die Gangschaltung im Auto) zu lernen.

2.3. Wahrnehmung

2.3.1. Das Auge

Reiz und Licht

Ein äußerer, visueller Reiz (Licht) erzeugt beim Menschen eine physikalische Rezeption des äußeren Reizes (Input). Dies geschieht durch einen Sensor (bspw. das Auge) und die Reizung produziert ein neurophysiologisches Signal. Dieses wird anschließend verarbeitet und interpretiert.

Physikalisch ist ein solcher Reiz elektromagnetische Strahlung. Dabei wird monochromatisches, d. h. einfarbiges, Licht durch die Angabe der Frequenz ν , bzw. der Wellenlänge λ , beschrieben. Diese beiden Größen sind durch die Beziehung

$$\nu\lambda = c, \quad c \approx 3 \times 10^8 \text{ m s}^{-1}$$

miteinander verknüpft, wobei c die Ausbreitungsgeschwindigkeit des Lichts ist.

Das menschliche Auge kann dabei Frequenzen im Wellenlängenbereich 380 nm bis 750 nm wahrnehmen. Kleinere Wellenlängen haben z. B. Ultraviolett-Licht, Röntgen- und γ -Strahlung. Darüber liegende Wellenlängen haben z. B. Infrarot-Licht und Rundfunk-Wellen.

Das visuelle System

Das menschliche Auge ist aufgebaut aus:

- Hornhaut (Kornea)
- Linse (zur Scharfstellung)
- Iris (Blendenmechanismus)
- Retina (Netzhaut)
 - Blinder Fleck: Hier geht der Sehnerv ab.
 - Fovea Centralis (Gelber Fleck): Bereich mit der höchsten Auflösung.

Photorezeptoren

Die Photorezeptoren (welche auf der Retina platziert sind), bestehen aus:

- Stäbchen
 - Hauptsächlich außerhalb der Fovea.
 - Das Empfindlichkeitsmaximum liegt bei 498 nm („grün“).
- Zapfen
 - Vor allem in der Fovea platziert.
 - Es gibt drei Zapfentypen für Farbsehen.
 - Das Empfindlichkeitsmaximum dieser Zapfen liegt bei 420 nm („blau“, Short-Zapfen), 534 nm („grün“, Medium-Zapfen) und 564 nm („rot“, Long-Zapfen).

Skotopisches und Photopisches Sehen

- Nachtsehen (skotopisch): Dominanz der Stäbchen.
- Tagsehen (photopisch): Dominanz der Zapfen.

Zapfenverteilung

2.3.2. Vorverarbeitung visueller Informationen

Signalverarbeitung in der Retina

Neben den Photorezeptoren gibt es noch weitere Zellen zur Signalverarbeitung in der Retina:

- Horizontale Zellen
Kombination von mehreren Rezeptoren einer Region.
- Amakrin-Zellen
Zeitliche Verarbeitung.

- Bipolar-Zellen
Informationsfilter (Sammeln, Gewichten und Weiterleiten).
- Ganglien-Zellen
Integrations-Informationen (z. B. Kontrastwahrnehmung).

Helligkeit

- *Helligkeit (brightness)* entspricht der wahrgenommenen Menge an Licht, das von einer selbstleuchtenden Lichtquelle ausgeht.
- *Helligkeit (lightness)* entspricht der wahrgenommenen Menge an Licht, das von einer reflektierenden Oberfläche ausgeht.
 - Dies ist keine absolute Wahrnehmungsgröße und abhängig von
 - * Reizstärke (Leuchtdichte)
 - * Vorheriger Leuchtdichte (Adaption)
 - * Umgebungsleuchtdichte
 - * Größe (Fläche) des Reizes
 - Somit subjektiv!
- Dies wirft einige nicht so einfach zu beantwortende Fragen auf, z. B.: Was ist weiß? Was ist schwarz? Was ist mittelgrau?
- Der Hell-Dunkel-Kontrast ist dabei eine wichtige Empfindungsgröße zum Form- und Objektsehen. Daher muss der Unterschied groß genug sein (für kleine Details mindestens 3 : 1, besser 10 : 1).

Kontrast als Reizverhältnis Für den Kontrast gibt es verschiedene Definitionen, z. B. (dabei ist L stets die Leuchtdichte):

$$m = k = \frac{L_{\max} - L_{\min}}{L_{\max} + L_{\min}}$$

oder

$$K = \frac{L_R - L_H}{L_H} = \frac{\delta L}{L_H}$$

wobei L_R die Leuchtdichte des Vordergrunds und L_H die Leuchtdichte des Hintergrunds darstellt.

Erkennung von Details

Die Erkennung kleiner Details ist begrenzt durch

- Optische Eigenschaften des Auges, z. B. Beugungserscheinungen,
- Abtastung durch Rezeptoren und
- nervöse Verarbeitung.

Zwei mögliche Maße zur „Erkennbarkeit“ sind:

- Kontrastempfindlichkeit
- Schwellenkontrast

Kontrastempfindlichkeit Die Kontrastempfindlichkeit ist die Auflösung des menschlichen Auges im Frequenzraum. Veränderliche Intensität kann dabei mit Sinus-förmigen Mustern gemessen werden.

Frühe Wahrnehmung

Das Auge nimmt einige Veränderungen der Umgebung schneller wahr als andere. Um die Aufmerksamkeit auf etwas zu lenken, können beispielsweise

- Farbe,
- Richtung,
- Bewegung,
- Größe,
- Beleuchtung/Schattierung

variiert werden.

2.3.3. Informationsextraktion

Ein reiner Reiz ist noch keine *Wahrnehmung*. Dazu kommen noch andere Faktoren wie Kontext, Erwartungen, Adaption. Das Messen der tatsächlichen Wahrnehmung ist leider sehr schwierig, weshalb häufig nur statistische Aussagen auf Basis von User-Tests getätigt werden können.

Dabei erschwert, dass die Wahrnehmung nicht immer der Realität entspricht. Es wird hingegen das Bild durch einen Wahrnehmungsprozess im Gehirn produziert. Dabei wird die menschliche Wahrnehmung adaptiert, bspw. dreht sich das Bild bei einem Kopfstand.

Raumwahrnehmung

Die Wahrnehmung des Raums (Raumwahrnehmung) enthält unter anderem

- Tiefenwahrnehmung,
- Entfernungs- und Distanzwahrnehmung und
- Ausrichtung des Körpers im Raum.

Daran sind viele Wahrnehmungssysteme beteiligt:

- Vestibuläres System (im Innenohr)
- Haptisch-somatisches System (Tasten und Berühren)
- Auditives Sehen (Gehör)
- Propriozeptives System (Eigenwahrnehmung)
- Visuelles System

Dabei ist die Raumwahrnehmung auch mit einem Auge (Monokular) möglich (tatsächlich sind 5 % bis 10 % aller Menschen stereoblind und 20 % haben eine Stereo-Schwäche).

Tatsächlich ist die Raumwahrnehmung ein sehr komplexer Prozess, der auch heute nur zu Teilen verstanden wird. Dabei fließen noch viele weitere Phänomene ein, z. B. Größenkonstanz, Annahme starrer Körper oder Vek-tion. Letzteres ist dabei die scheinbare Eigenbewegung bei einem statischen Vordergrund als Referenzrahmen und einem bewegten Hintergrund.

Depth Cue Theorie

Die Annahme der *Depth Cue Theorie* ist, dass die Raumwahrnehmung des visuellen Systems auf Hinweisreizen (sogenannten *Depth Cues*) basiert. Diese werden in drei Kategorien eingeteilt:

1. Binokulare Depth Cues (mit zwei Augen)
 - Disparität/Parallaxe
 - Akkommodation (Krümmung der Augenlinsen)
 - Konvergenz (die Augen nach innen drehen)
2. Pictorial Depth Cues (mit einem Auge)
 - Linearperspektive
 - Verdeckung
 - Texturgradient
 - Fokus und Blur
 - Atmosphärische Tiefe
 - Vertraute Größe
 - Höhe im Gesichtsfeld
 - Beleuchtung
 - Schattenwurf
 - Luminanzänderung
 - Transluzenz
 - Schattierung
3. Dynamische Depth Cues (Animation)
 - Bewegungsparallaxe
 - Kinetischer Tiefeneffekt
 - Interposition
 - Bewegung von Highlights

Stereoskopie Bei der Stereoskopie nehmen beide Augen ein leicht unterschiedliches Bild wahr, woraus die Entfernung zu einem Objekt berechnet werden kann.

Pictorial Depth Cues

Linearperspektive

Texturgradient Sind als parallel angenommene Linien nicht mehr parallel, so ergibt sich eine scheinbare Tiefe (als wenn kariertes Papier um einen Ball gerollt und von oben betrachtet wird).

Fokus und Blur Das Auge fokussiert einen Punkt und produziert somit eine Tiefenschärfe. Daran kann erahnt werden, welche Objekte im Vorder- oder Hintergrund sind.

Atmosphärische Tiefe Anhand der Atmosphäre (z. B. durch Nebel ausgelöst) wird erkannt, was vermutlich im Hintergrund liegt. So kann zum Beispiel bei einem Foto von einem Berg geschätzt werden, dass der Boden niedriger ist, wenn Wolken über diesem hängen.

Schattenwurf Annahme: Beleuchtung von oben und Vorhandensein einer Grundebene. Dann kann durch den Abstand von Schatten zum Objekt erahnt werden, wie weit dieses vom Boden entfernt ist.

Dynamische Depth Cues

Motion Parallax

Raumwahrnehmung durch Bewegung Wird z. B. eine schaukelnde Vase von oben betrachtet, so bewegt sich die Öffnung charakteristisch, sodass eine Wahrnehmung der Tiefe entsteht.

Kinetic Depth Effect, Structure from Motion

Auswertung von Depth Cues Unterschiedliche Depth Cues haben im Allgemeinen einen unterschiedlichen Informationsgehalt. Dabei sind sie nicht redundant, sondern additiv. Durch ein kompliziertes Zusammenspiel (flexible Gewichtung, Dominanz eines Depth Cues) bildet sich das Gehirn ein Bild. Dabei bildet es sich allerdings kein tatsächliches 3D-Modell, sondern verwendet die unterschiedlichen Cues für verschiedene Aufgaben. Diese können z. B. sein:

- Einschätzen von Objektgrößen
- Einschätzen von Entfernungen
- Verfolgung von Pfaden
- Navigation
- Einschätzen der Eigenbewegung
- Abschätzung der Kollisionszeit

2.4. Aufmerksamkeit

2.4.1. Limitierung der Wahrnehmung

Die initiale Reizaufnahme hat viele Limitierungen, sodass nur ein Bruchteil des äußeren Reizes zur kognitiven Verarbeitung zur Verfügung steht. Dabei sind Aufmerksamkeit und externe Faktoren wichtige Einflüsse auf die tatsächliche Wahrnehmung. Die Wahrnehmung ist dabei eher eine partielle Hypothese, die auf Basis unvollständiger Informationen generiert wurde. Sie wird periodisch aktualisiert aufgrund von Beobachtungen, d. h. die Hypothese wird gegen sensorische Daten getestet. Durch eine dynamische Suche des visuellen Systems wird nach der besten Hypothese/Interpretation/Modell gesucht.

2.4.2. Das Gedächtnis und „Gateway to Memory“

Das Gehirn kann sich auf bestimmte Dinge fokussieren und den Rest ignorieren. Dabei gibt es drei verschiedene Arten der Aufmerksamkeit:

- *Gewählte Aufmerksamkeit* (selective): Zwischen mehreren Möglichkeiten wird eine zu fokussierende Sache aktiv ausgewählt.
 - Das Auge folgt den Objekten von Interesse.
 - Der Kopf folgt den Klängen von Interesse.
 - Es gibt nur einen einzigen „Ort der Aufmerksamkeit“.
- *Geteilte Aufmerksamkeit* (divided): Ein Versuch durch „Multitasking“ auf mehrere Dinge zu fokussieren.
 - Entweder „gleichzeitig“ durch schnelles Umschalten (time multiplexing).
 - Dies wirkt sich negativ auf die Verarbeitung aus, wenn die Aufgaben überfordernd sind.
 - Die Aufgaben beeinträchtigen sich gegenseitig.
- *Erfasste Aufmerksamkeit* (captured): Ein äußerer Reiz zieht alle Aufmerksamkeit auf sich.
 - Im Gegensatz zur gewählten Aufmerksamkeit wird der „Ort“ nicht aktiv ausgewählt.
 - Dies geschieht z. B. wenn man von einem Tier angefallen wird.

Das menschliche Gedächtnis ist in mehrere „Teilgedächtnisse“ aufgeteilt. Voran steht das *Arbeitsgedächtnis*, auf das ein schneller Zugriff (ca. 70 ms) möglich ist, welches aber einen schnellen Verfall hat (nach ca. 200 ms). Es stellt sozusagen das „Schmierblatt“ des Gehirns da. Nach wenigen Sekunden wird der Inhalt jedoch an das Langzeitgedächtnis weitergegeben.

Das Langzeitgedächtnis ist langsamer (ca. 100 ms), dafür aber auch sehr viel größer (die genaue Größe ist unbekannt). Das Langzeitgedächtnis hat dabei drei Hauptaufgaben:

- Informationen speichern und sich an diese erinnern,
- Informationen abrufen und
- Informationen vergessen.

3. Computer Vision: Objekterkennung und Bayes

Die *Computer Vision* beschäftigt sich mit dem maschinellen Sehen, d. h. der Suche nach einem Modell des menschlichen Sehens. Anwendungsgebiete sind bspw. Autos, die Fußgänger erkennen, medizinische Bildverarbeitung, Überwachung, Unterhaltung, Computergraphik,

3.1. Computer Vision

Das einfachste Standardmodell einer Lochkamera ist ein Kasten mit einem kleinen Loch. Um ein digitales Bild eines solchen Kameramodells zu erhalten, wird das Bild rasterisiert. Demnach ist ein Graustufenbild eine Matrix an Pixeln mit jeweils einem Wert (die „Grauigkeit“ des Pixels).

Die Computer Vision beschäftigt sich nun damit, aus einem solchen Bild Informationen zu extrahieren. Bei der Objekterkennung ist es wichtig, eine gute lokale Beschreibung/Merkmale zu haben (z. B. Augen, Mund, Nase) und eine globale Anordnung der lokalen Merkmale (z. B. relative Positionen, relative Größen). Es ist aber auch eine schnelle Generierung guter Hypothesen, Segmentierung der Bildbereiche und Kennen des Szenenkontextes wichtig.

Nach Fischler und Elschlager hat das Modell eines Bildes zwei Komponenten: Teile (2D Bildfragmente) und den Aufbau (die Anordnung der Teile). Mit diesem abstrakten Modell lassen sich viele Dinge (z. B. ein Gesicht) charakterisieren.

3.2. Bayesian Decision Theory

Beispiel: Buchstabenerkennung. Es soll ein neu aufgenommener Buchstabe so klassifiziert werden, dass die Wahrscheinlichkeit der Fehlklassifikation minimiert wird.

3.2.1. Konzepte und Bayes Theorem

Vorbemerkung: Wahrscheinlichkeitsdichte und Wahrscheinlichkeit Ist $p(x)$ eine Wahrscheinlichkeitsdichte, so ist die Wahrscheinlichkeit, dass x im Intervall (x_0, x_1) liegt, gegeben durch:

$$P(x_0 < x < x_1) = \int_{x_0}^{x_1} p(\tau) d\tau$$

Da für die Wahrscheinlichkeit, dass x im Intervall $(x, x + \Delta x)$ mit $\Delta x \rightarrow 0$ gilt:

$$\lim_{\Delta x \rightarrow 0} P(x) = \lim_{\Delta x \rightarrow 0} P(x < t < x + \Delta x) = p(x) \cdot \Delta x$$

kann Wahrscheinlichkeitsdichte und Wahrscheinlichkeit in den meisten Fällen gegeneinander ausgetauscht werden.

1. Konzept: A-Priori Wahrscheinlichkeit (Prior) Die *a-priori Wahrscheinlichkeit* (Prior) enthält die Information, wie wahrscheinlich eine beliebige Messung der Klasse zugehört (d. h. die „Klassenhäufigkeit“). Ist C_k eine Klasse, so ist $P(C_k)$ der Prior bzgl. der Klasse C_k (analog für $p(C_k)$).

2. Konzept: Bedingte Wahrscheinlichkeit (Likelihood) Ist x der Merkmalsvektor (Feature), welcher Eigenschaften der Messung beschreibt (Anzahl schwarzer Pixel, Höhe/Breite, ...) und C_k eine Klasse, so ist $P(x | C_k)$ die *Likelihood*, d. h. die Wahrscheinlichkeit, dass x für einen Buchstaben der Klasse C_k gemessen wird (analog für $p(x | X_k)$).

3. Konzept: A-Posteriori Wahrscheinlichkeit (Posterior), Bayes Theorem Die *a-posteriori Wahrscheinlichkeit* (Posterior) ist die Wahrscheinlichkeit, dass ein Merkmalsvektor x einer Klasse C_k angehört, d. h. $P(C_k | x)$. Dieser Posterior kann durch Bayes Theorem gefunden werden:

$$P(C_k | x) = \frac{P(x | C_k) \cdot P(C_k)}{P(x)}$$

Oder namentlich:

$$\text{Posterior} = \frac{\text{Likelihood} \times \text{Prior}}{\text{Normalisierung}}$$

3.2.2. Problemstellung

Abbildung 3.1 zeigt die Likelihood, Prior und den Posterior auf. Die Zielstellung eines Bayesian Classifier ist nun, die Wahrscheinlichkeit der Fehlklassifikation zu minimieren und somit eine Entscheidungsgrenze zu bestimmen. Die Wahrscheinlichkeit eines Fehlers ist gegeben durch:

$$\begin{aligned} P(\text{Fehler}) &= P(x \in R_2, C_1) + P(x \in R_1, C_2) \\ &= P(x \in R_2 | C_1)P(C_1) + P(x \in R_1 | C_2)P(C_2) \\ &= \int_{R_2} p(x \in R_2 | C_1)P(C_1) dx + \int_{R_1} p(x \in R_1 | C_2)P(C_2) dx \end{aligned}$$

Dabei ist $P(x \in R_i, C_j)$ die Wahrscheinlichkeit, dass x zu Klasse R_i gehört, aber als Klasse C_j klassifiziert wurde (für $i \neq j$ entspricht dies einer Fehlklassifikation).

3.2.3. Entscheidungsregel

Durch die Minimierung des Erwartungswertes des Fehlers kann die Entscheidungsregel, wann x in eine Klasse einsortiert wird, hergeleitet werden. Dabei soll x genau dann in Klasse C_1 sortiert werden, wenn

$$P(C_1 | x) > P(C_2 | x)$$

Da die Posteriors im Allgemeinen nicht bekannt sind, werden die über Bayes Theorem berechnet:

$$\begin{aligned} &P(C_1 | x) > P(C_2 | x) \\ \iff &\frac{P(x | C_1)P(C_1)}{P(x)} > \frac{P(x | C_2)P(C_2)}{P(x)} \\ \iff &P(x | C_1)P(C_1) > P(x | C_2)P(C_2) \\ \iff &\frac{P(x | C_1)}{P(x | C_2)} > \frac{P(C_2)}{P(C_1)} \end{aligned}$$

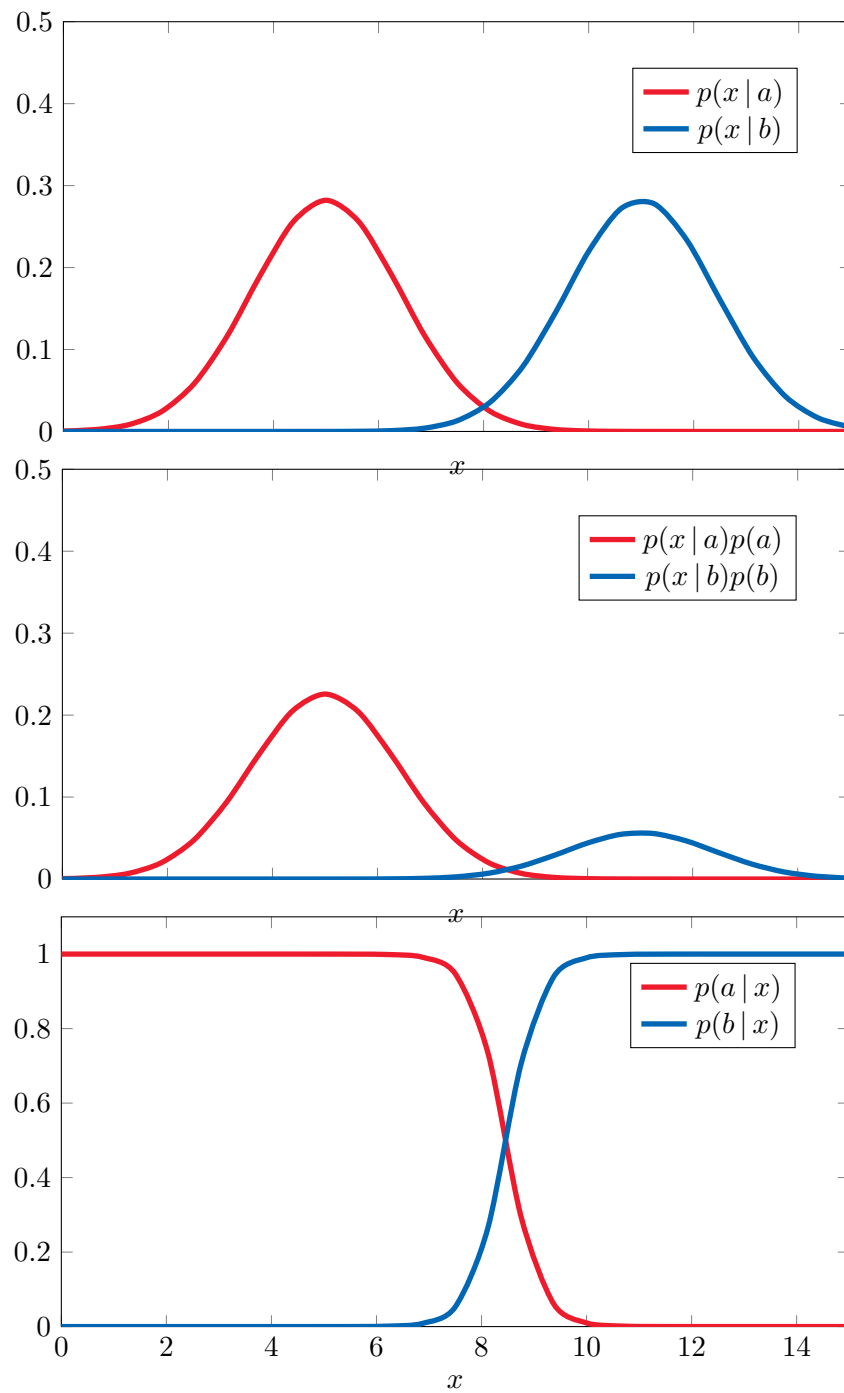


Abbildung 3.1.: Likelihood, Likelihood \times Prior und Posterior.

Dies wird auch *Likelihood Ratio Test* genannt.

Dieser Test kann sich für mehr als zwei Klassen verallgemeinern lassen: Wähle Klasse k genau dann, wenn

$$P(C_k | x) > P(C_j | x) \quad \forall j \neq k$$

gilt. Äquivalent zu dem zwei-Klassen-Fall kann dies in einen Likelihood Ratio Test umgeformt werden:

$$\frac{P(x | C_k)}{P(x | C_j)} > \frac{P(C_j)}{P(C_k)} \quad \forall j \neq k$$

3.2.4. Naive Bayes Classifier

Bei mehr als zwei Merkmalen (z. B. Höhe und Breite) werden $P(x_1, x_2 | C_k)$ und $P(x_1, x_2)$ mehrdimensional und eine Schätzung der Dichte ist nicht immer möglich. Daher nimmt ein *Naive Bayes Classifier* an, dass die Merkmale statistisch unabhängig sind. Damit gilt:

$$\begin{aligned} P(x_1, x_2 | C_k) &= P(x_1 | C_k)P(x_2 | C_k) \\ P(x_1, x_2) &= P(x_1)P(x_2) \end{aligned}$$

In der Realität ist diese Annahme oft nicht korrekt, liefert aber häufig gute Ergebnisse und ist somit eine gute Basis zum Vergleich.

3.3. Probability Density Estimation

Bisher wurden die Wahrscheinlichkeiten $P(x | C_k)$ und $P(C_k)$ als bekannt vorausgesetzt. In der Realität ist dies oft nicht der Fall, weshalb die Wahrscheinlichkeitsdichte geschätzt werden muss. Siehe hierzu auch Vorlesung Statistical Machine Learning.

3.4. Gesichtsdetektion

Bei *Appearance-Based Methods* wird ein Erscheinungsmodell aus (üblicherweise) großen Mengen von Bildern gelernt. Dabei wird am häufigsten der Sliding Window Ansatz genutzt (siehe 3.4.1). Dabei sind vor allem drei Aspekte relevant:

1. Repräsentation des Objektes (lokale Merkmale, globale Anordnung)
2. Trainingsdaten (positive und negative Beispiele)
3. Klassifikator und Lernmethode

3.4.1. Sliding Window Ansatz

Bei dem *Sliding Window Ansatz* wird ein Bild in Ein-Pixel-Schritten horizontal und vertikal gescannt. Nach jedem Durchlauf wird das Bild immer wieder verkleinert, bis das Bild zu klein ist. So können auch mit einem Klassifikator, der nur Bilder einer Größe entgegen nehmen kann, große Bilder durchsucht werden.

3.4.2. Beispiel: Gesichtsdetektion

1. Repräsentation des Objekts

- Die Bilder werden in Wavelets zerlegt, d. h. die Gesichtsmerkmale werden mit Frequenzen und deren Ort und Orientierung dargestellt.
- Lokale Merkmale: Wavelet Koeffizienten (Frequenzen von z. B. Auge und Mund).
- Globale Merkmale: Absolute Position der Frequenzen im Bild.

2. Trainingsdaten

- Positive Beispiele
 - Möglichst vielfältig.
 - Jedes Bild eines Gesichts wird manuell an den Rändern abgeschnitten und auf eine Größe normalisiert.
 - Zusätzlich werden virtuelle Beispiele erstellt (z. B. durch Spiegelung).
- Negative Beispiele
 - Beliebige Bilder, die keine Gesichter enthalten.
 - Teilbilder von großen Bildern.

3. Klassifikator und Lernmethode

- Naive Bayes Classifier
- Merkmale x_i : Wavelet Koeffizienten an einer bestimmten Position.
- Zwei-Klasse-Problem:
 - C_1 : Gesichter
 - C_2 : Alles andere (keine Gesichter)
- Das „Lernen“ entspricht dem Schätzen der Wahrscheinlichkeiten der Wavelet-Koeffizienten.
- Durch Diskretisierung von Koeffizienten und Positionen gibt es eine diskrete und endliche Anzahl von x_i .
- Schätzen: Zählen, wie häufig jedes x_i in Bilder mit und ohne Gesichtern vorkommt.
- Dann wird ein Likelihood Ratio Test verwendet.

Um Bilder aus verschiedenen Perspektiven zu erkennen, wird für jede Ansicht ein eigener Detektor verwendet (jeder für eine Ansicht) und diese kombiniert.

3.4.3. Erkennungsarten

Eine Gesichtserkennung zählt zu den biometrischen Verfahren und werden bspw. in sicherheitstechnischen, kriminalistischen und forensischen Gebieten eingesetzt. Der Zweck ist die Identifikation und Verifikation natürlicher Personen.

- Verifikation: Die Person muss dem System ihren Namen oder User-ID mitteilen und das System entscheidet, ob die Person dazu gehört.
- Identifikation: Die Person offenbart ausschließlich ihre biometrischen Merkmale und das System ermittelt daraus den Namen oder die User-ID.

4. Fouriertheorie

Bei der Beugung an einem einfachen Spalt der breite a ergibt sich auf dem Schirm ein Beugungsmuster, welches im Zentrum ein Intensitätsmaximum und nach außen hin immer wieder Intensitätsminima und -maxima hat. Der Spalt kann durch eine Rechteckfunktion

$$\text{Rect}(x) = \begin{cases} 1 & -1 \leq x \leq 1 \\ 0 & \text{sonst} \end{cases}$$

beschrieben werden. Das sich ergebende Beugungsmuster, bzw. die zeitlich gemittelte Intensität I , hat dann die Form

$$I(\theta) = I_0 \left(\frac{\sin(\theta)}{\theta} \right)^2 = I_0 \cdot \text{sinc}^2(\theta)$$

mit der sinc-Funktion $\text{sinc}(\theta) = \sin(\theta)/\theta$. Dabei stellt θ den Ausfallwinkel des Lichts aus dem Spalt hinaus dar.

Dieser Zusammenhang zwischen der Gestalt des beugenden Objekts (hier der Spalt) und der Amplitudenfunktion $I(\theta)$ ist durch eine *Fourier-Transformation* gegeben.

4.1. Mathematische Grundlagen

4.1.1. Vektorraum

Ein *Vektorraum* ist eine algebraische Struktur über einen Zahlenbereich mit Operationen wie Addition und Multiplikationen mit einem Skalar. Alle Operationen müssen dabei Elemente des Vektorraums wieder auf selbigen abbilden. Die Elemente eines solchen Raums sind *Vektoren*.

Beispiel Ein Beispiel ist der euklidische Vektorraum über den reellen Zahlen. Dabei repräsentieren Vektoren Verschiebungen und es lassen sich Längen und Winkel messen (rechtwinkliges, kartesisches Koordinatensystem). Es ist außerdem ein Skalarprodukt definiert:

$$\langle \mathbf{v}, \mathbf{w} \rangle = \sum_{i=1}^n v_i w_i \in \mathbb{R}$$
$$\langle \mathbf{v}, \mathbf{w} \rangle = v_1 w_1 + v_2 w_2 = \|\mathbf{v}\| \cdot \|\mathbf{w}\| \cos(\angle(\mathbf{v}, \mathbf{w}))$$

Die letztere Eigenschaft gilt nur für $n = 2$ (i. A. lassen sich solche Winkel aber auch mit beliebigem n definieren). In der euklidischen Ebene \mathbb{R}^2 lassen sich Vektoren durch Ortsvektoren (Pfeile) darstellen.

4.1.2. Basis eines Vektorraums

Jeder Satz (Menge) an linear unabhängigen Vektoren eines Vektorraums kann als Basis verwendet werden. Zwei Vektoren \mathbf{v} , \mathbf{w} sind genau dann linear unabhängig, wenn $|\langle \mathbf{v}, \mathbf{w} \rangle| < \|\mathbf{v}\| \cdot \|\mathbf{w}\|$ gilt.

Beispiel In der euklidischen Ebene \mathbb{R}^2 ist eine Basis durch

$$e_1 = \begin{bmatrix} 1 \\ 0 \end{bmatrix} \quad e_2 = \begin{bmatrix} 0 \\ 1 \end{bmatrix}$$

gegeben, wobei e_1 und e_2 orthogonal aufeinander stehen ($\langle v, w \rangle = 0$) und somit linear unabhängig sind. Alle $v \in \mathbb{R}^2$ lassen sich dann als *Linearkombination* der Basisvektoren darstellen (mit geeigneten $a_1, a_2 \in \mathbb{R}$):

$$v = a_1 e_1 + a_2 e_2$$

4.1.3. Krummlinige Koordinatensysteme

Gerade in physikalischen Anwendungen kann es von Vorteil sein, keine kartesischen Koordinaten (mit x - und y -Wert) zu nutzen, sondern auf *krummlinige Koordinaten* umzusteigen. Ein typisches krummliniges Koordinatensystem sind z. B. Polarkoordinaten. Dabei wird ein Punkt in der Ebene durch den Abstand r vom Ursprung und durch den Winkel φ mit der x -Achse beschrieben. Die Koordinaten lassen sich durch

$$\begin{aligned} x(r, \varphi) &= r \cdot \cos(\varphi) \\ y(r, \varphi) &= r \cdot \sin(\varphi) \end{aligned}$$

in kartesische Koordinaten umrechnen.

Weitere krummlinige Koordinatensysteme sind z. B. Kugel- oder Zylinderkoordinaten.

4.1.4. Andere Räume

Es ist auch möglich, dass die Elemente eines Vektorraums Funktionen sind (Funktionenräume). Auch kann ein Raum unendlich-dimensional sein.

Die *Fourier-Theorie* beschäftigt sich mit der Frage, ob es möglich ist, Basisfunktionen zu finden, mit denen sich beliebige Funktionen bzgl. dieser Basen darstellen lassen.

4.1.5. Komplexe Zahlen

Komplexe Zahlen haben zwei Komponenten: Einen Real- und einen Imaginärteil. Dabei können sie als kartesische Koordinaten in einer zwei-dimensionalen Ebene (der komplexen Ebene) aufgefasst werden und entsprechen dargestellt werden (mit der imaginären Zahl i mit der Eigenschaft $i^2 = -1$):

$$z = a + bi$$

Oder als Polarkoordinaten (in einer zwei-dimensionalen Ebene) mit der Darstellung

$$z = r e^{i\varphi}$$

wobei sich kartesische und Polardarstellung wie bei Polarkoordinaten ineinander umrechnen lassen.

Die Äquivalenz der beiden Darstellung geht auf die Euler-Identität

$$e^{i\varphi} = \cos(\varphi) + i \sin(\varphi)$$

zurück, wobei hier $r = 1$ gilt. Aus dieser folgt (für $|z| = 1$) ebenfalls:

$$\begin{aligned} a = \cos(\varphi) &= \frac{1}{2}(e^{i\varphi} + e^{-i\varphi}) \\ b = \sin(\varphi) &= \frac{1}{2i}(e^{i\varphi} - e^{-i\varphi}) \end{aligned}$$

4.1.6. Gerade/Ungerade Funktionen

Für eine gerade Funktion gilt

$$f(x) = f(-x)$$

für eine ungerade Funktion gilt

$$f(x) = -f(-x)$$

für jeweils alle x .

4.2. Fourier-Reihe

4.2.1. Dirichlet-Bedingungen

Jede Funktion, die die *Dirichlet-Bedingungen* erfüllt:

1. Die Anzahl Unstetigkeiten innerhalb einer Periode ist endlich.
2. Die Anzahl Maxima und Minima innerhalb einer Periode ist endlich.
3. Die Funktion ist in jeder Periode integrierbar (d. h. die Fläche unter dem Betrag der Funktion ist endlich).

Kann durch eine Summe von Kosinus- und Sinusfunktionen dargestellt werden.

4.2.2. 2π -periodische Funktion

Ist $f(x)$ eine periodische Funktion mit der Periodenlänge 2π (d. h. die wiederholt sich alle 2π), die die Dirichlet-Bedingungen erfüllt, so gilt

$$f(x) = \sum_{n=0}^{\infty} (a_n \cos(nx) + b_n \sin(nx))$$

mit geeigneten *Fourier-Koeffizienten* a_n und b_n .

4.2.3. Skalarprodukt, Orthogonale Basis

Sei H der Raum aller 2π -periodischen reellen Funktionen, die die Dirichlet-Bedingungen erfüllen. Dann wird durch

$$\langle f, g \rangle := \int_{-\pi}^{\pi} f(\tau)g(\tau) \, d\tau$$

ein Skalarprodukt definiert.

Die Funktionen

$$u_n(x) = \cos(nx)$$

$$v_n(x) = \sin(nx)$$

bilden dann eine orthogonale Funktionenfolge in H :

$$\langle u_n, u_m \rangle = \begin{cases} 0 & m \neq n \\ 2\pi & m = n = 0 \\ \pi & m = n > 0 \end{cases}$$

$$\langle v_n, v_m \rangle = \begin{cases} 0 & m \neq n \\ 0 & m = n = 0 \\ \pi & m = n > 0 \end{cases}$$

$$\langle u_n, v_m \rangle = \langle v_m, u_n \rangle = 0$$

Durch diese Darstellung kann die allgemeine Fourier-Reihe mit $u_n = u_n(x)$ und $v_n = v_n(x)$ auch geschrieben werden als:

$$f(x) = \sum_{n=0}^{\infty} (a_n u_n + b_n v_n)$$

4.2.4. Berechnung der Koeffizienten a_m, b_m

Um die Koeffizienten $a_m, m = 1, 2, \dots$ zu bestimmen, wird das Skalarprodukt zwischen f und u_m gebildet:

$$\langle f, u_m \rangle = \left\langle \sum_{n=0}^{\infty} (a_n u_n + b_n v_n), u_m \right\rangle = \langle (a_m u_m + b_m v_m), u_m \rangle = \langle a_m u_m, u_m \rangle = a_m \langle u_m, u_m \rangle = a_m \pi$$

Umstellen nach a_m liefert die Werte der Fourier-Koeffizienten:

$$a_m = \frac{1}{\pi} \langle f, u_m \rangle = \frac{1}{\pi} \int_{-\pi}^{\pi} f(x) \cos(mx) \, dx$$

Analog für a_0 mit u_0 :

$$\langle f, u_0 \rangle = \left\langle \sum_{n=0}^{\infty} (a_n u_n + b_n v_n), u_0 \right\rangle = \langle (a_0 u_0 + b_0 v_0), u_0 \rangle = \langle a_0 u_0, u_0 \rangle = a_0 \langle u_0, u_0 \rangle = a_0 2\pi$$

Umstellen nach a_0 :

$$a_0 = \frac{1}{2\pi} \langle f, u_0 \rangle = \frac{1}{2\pi} \int_{-\pi}^{\pi} f(x) \cos(0x) \, dx = \frac{1}{2\pi} \int_{-\pi}^{\pi} f(x) \, dx$$

Analog für $b_m, m = 1, 2, \dots$:

$$\langle f, v_m \rangle = \left\langle \sum_{n=0}^{\infty} (a_n u_n + b_n v_n), v_m \right\rangle = \langle (a_m u_m + b_m v_m), v_m \rangle = \langle b_m v_m, v_m \rangle = b_m \langle v_m, v_m \rangle = b_m \pi$$

Umstellen nach b_m :

$$b_m = \frac{1}{\pi} \langle f, v_m \rangle = \frac{1}{\pi} \int_{-\pi}^{\pi} f(x) \sin(mx) \, dx$$

Da $\sin(0x) = \sin(0) = 0$ ist, muss b_0 nicht berechnet werden.

4.2.5. Beispiel: Rechteck-Schwingung

Sei eine Rechteck-Schwingung

$$f(x) = \begin{cases} -k & -\pi < x < 0 \\ k & 0 < x < \pi \end{cases}, \quad f(x) = f(x + 2\pi)$$

gegeben. Für diese lauten die Fourier-Koeffizienten:

$$a_0 = 0$$

$$a_n = 0$$

$$b_n = \frac{4k}{n\pi} \text{ für ungerade } n$$

Daraus ergibt sich die Fourier-Reihe:

$$f(x) = \frac{4k}{\pi} \sum_{n=0}^{\infty} \frac{1}{2k+1} \sin((2k+1)x)$$

Die Rechteck-Schwingung ist dabei eine ungerade Funktion. Allgemein gilt:

- Für gerade Funktionen sind alle $b_n = 0$.
- Für ungerade Funktionen sind alle $a_n = 0$.

4.3. Fourier-Transformation

Mit der Fourier-Transformation wird versucht, eine ähnliche Darstellung wie die Fourier-Reihe für Funktionen zu finden, die nicht 2π -periodisch sind.

Durch die Euler-Identität kann die allgemeine Fourier-Reihe umgeformt werden:

$$\begin{aligned}
 f(x) &= a_0 + \sum_{n=1}^{\infty} (a_n \cos(nx) + b_n \sin(nx)) \\
 &= a_0 + \sum_{n=1}^{\infty} \left(a_n \frac{e^{inx} + e^{-inx}}{2} + b_n \frac{e^{inx} - e^{-inx}}{2i} \right) \\
 &= a_0 + \sum_{n=1}^{\infty} \left(a_n \frac{e^{inx} + e^{-inx}}{2} - b_n i \frac{e^{inx} - e^{-inx}}{2} \right) \\
 &= a_0 + \sum_{n=1}^{\infty} \left(\frac{a_n - ib_n}{2} e^{inx} + \frac{a_n + ib_n}{2} e^{-inx} \right) \\
 &= a_0 + \sum_{n=1}^{\infty} \frac{a_n - ib_n}{2} e^{inx} + \sum_{n=1}^{\infty} \frac{a_n + ib_n}{2} e^{-inx} \\
 &= a_0 + \sum_{n=1}^{\infty} \frac{a_n - ib_n}{2} e^{inx} + \sum_{n=-\infty}^{-1} \frac{a_{-n} + ib_{-n}}{2} e^{inx} \\
 &= c_0 + \sum_{n=1}^{\infty} c_n e^{inx} + \sum_{n=-\infty}^{-1} c_n e^{inx} \\
 &= \sum_{n=-\infty}^{\infty} c_n e^{inx}
 \end{aligned}$$

woraus sich eine äquivalente Formulierung der Fourier-Reihe mit den komplexen Koeffizienten

$$c_n = \frac{a_n - ib_n}{2} e^{inx}, \quad n = 1, 2, \dots \quad c_n = \frac{a_{-n} + ib_{-n}}{2}, \quad n = -1, -2, \dots \quad c_0 = a_0$$

ergibt. Nun werden zunächst Funktionen $f_L(x)$ mit einer beliebigen Periode $2L$ betrachtet:

$$\begin{aligned}
 f_L(x) &= \sum_{n=-\infty}^{\infty} c_n e^{in \frac{2\pi}{2L} x} \\
 &= \sum_{n=-\infty}^{\infty} c_n e^{in \frac{\pi}{L} x}
 \end{aligned}$$

Einsetzen der Koeffizienten c_n :

$$= \sum_{n=-\infty}^{\infty} \left(\frac{1}{2L} \int_{-L}^L f(\tau) e^{-in \frac{\pi}{L} \tau} d\tau \right) e^{in \frac{\pi}{L} x}$$

Nun wird der Übergang $L \rightarrow \infty$, d. h. zu nicht-periodischen Funktionen, betrachtet:

$$\begin{aligned}
 \lim_{L \rightarrow \infty} f(x) &= \lim_{L \rightarrow \infty} \sum_{n=-\infty}^{\infty} \left(\frac{1}{2L} \int_{-L}^L f(\tau) e^{-in \frac{\pi}{L} \tau} d\tau \right) e^{in \frac{\pi}{L} x} \\
 &= \lim_{L \rightarrow \infty} \sum_{n=-\infty}^{\infty} \frac{1}{2L} \int_{-L}^L f(\tau) e^{-in \frac{\pi}{L} (\tau-x)} d\tau \\
 &= \lim_{L \rightarrow \infty} \sum_{n=-\infty}^{\infty} \int_{-L}^L \frac{1}{2L} f(\tau) e^{-in \frac{\pi}{L} (\tau-x)} d\tau \\
 &= \lim_{L \rightarrow \infty} \int_{-L}^L \sum_{n=-\infty}^{\infty} \frac{1}{2L} f(\tau) e^{-in \frac{2\pi}{2L} (\tau-x)} d\tau \\
 &= \lim_{L \rightarrow \infty} \int_{-L}^L f(\tau) \int_{-\infty}^{\infty} e^{-2\pi i u (\tau-x)} du d\tau \\
 &= \int_{-\infty}^{\infty} f(\tau) \int_{-\infty}^{\infty} e^{-2\pi i u (\tau-x)} du d\tau
 \end{aligned}$$

Dieser Übergang lässt sich als „Superposition“ auffassen mit:

$$\begin{aligned}
 f(x) &= \int_{-\infty}^{\infty} F(u) e^{2\pi i u x} du \\
 F(u) &= \int_{-\infty}^{\infty} f(x) e^{-2\pi i u x} dx
 \end{aligned}$$

Dabei heißt der Übergang $f(x) \rightarrow F(u)$ *Fourier-Transformation* und der Übergang $F(u) \rightarrow f(x)$ *Inverse Fourier-Transformation*. Dabei ist $F(u)$ oft komplex und $f(x)$ ist reell.

4.3.1. Beispiel: Rechteckimpuls

Für einen Rechteckimpuls

$$f(x) = \begin{cases} 1 & -1 < x < 1 \\ 0 & \text{sonst} \end{cases}$$

ergibt sich die Fourier-Transformation

$$F(u) = \int_{-1}^1 e^{-2\pi i u \tau} d\tau = \frac{1}{2\pi i u} [e^{-2\pi i u \tau}]_{-1}^1 = \frac{1}{\pi u} \cdot \frac{e^{2\pi i u} - e^{-2\pi i u}}{2i} = 2 \frac{\sin(2\pi u)}{2\pi u} = 2 \operatorname{sinc}(2\pi u)$$

wie erwartet ein Vielfaches der sinc-Funktion.

4.3.2. Transformationspaare

Die Fourier-Transformation zerlegt eine Funktion in ihre Frequenzbestandteile! Beispielhafte Fourier-Transformationspaare sind:

- $\cos(0) = 1$: Delta-Funktion bei $u = 0$
- $\cos(kx)$: Delta-Funktion bei $u = \pm k$
- $\sin(kx)$: Delta-Funktion bei $u = \pm i k$

4.3.3. 2D-Fourier-Transformation

Für eine zweidimensionale Funktion $f(x, y)$ lautet die Fourier-Transformation:

$$f(u, v) = \iint_{-\infty}^{\infty} f(x, y) e^{2\pi i(xu+vy)} du dv$$
$$F(x, y) = \iint_{-\infty}^{\infty} f(u, v) e^{-2\pi i(xu+vy)} dx dy$$

Die Fourier-Transformierte ist entspricht also zweidimensionalen Funktionen (Real- und Imaginärteil), die als Graustufenbilder visualisiert werden können. Meistens wird dabei aber nur das sogenannte Amplitudenspektrum betrachtet, welches die Amplituden der Fourier-Transformation visualisiert. Dabei entspricht der Pixelwert an der Stelle (u, v) der Amplitude, d. h. dem Betrag, der Frequenzen $|F(u, v)|$.

4.4. Faltung

Werden zwei Funktionen $F(u)$, $G(u)$ im Frequenzraum multipliziert:

$$\begin{aligned} F(u) \cdot G(u) &= \int_{-\infty}^{\infty} f(\tau) e^{-2\pi i u \tau} d\tau \cdot \int_{-\infty}^{\infty} g(t) e^{-2\pi i u t} dt \\ &= \int_{-\infty}^{\infty} f(\tau) e^{-2\pi i u \tau} \int_{-\infty}^{\infty} g(t - \tau) e^{-2\pi i u (t - \tau)} d\tau dt \\ &= \int_{-\infty}^{\infty} e^{-2\pi i u t} \underbrace{\int_{-\infty}^{\infty} f(\tau) g(t - \tau) d\tau}_{h(t) :=} dt \\ &= \int_{-\infty}^{\infty} h(t) e^{-2\pi i u t} dt \\ &= H(u) \end{aligned}$$

Das Integral $h(t) = \int_{-\infty}^{\infty} f(\tau) g(t - \tau) d\tau =: f(t) * g(t)$ ist das sogenannte *Faltungsintegral* der Funktionen f und g . Eine Faltung im Ortsraum entspricht somit einer Multiplikation im Frequenzraum!

Eine Faltung $f(t) * g(t)$ kann als Mittelwertbildung der Werte von f mit Gewichten g verstanden werden. So kann bspw. analytisch ein gleitender Durchschnitt (mit einer Kastenfunktion g) erstellt werden.

4.4.1. Anwendung: Filter

4.5. Abtastung

Ist eine kontinuierliche Funktion, bzw. ein analoges Signal, gegeben, so muss dieses für eine diskrete Repräsentation *abgetastet* werden, d. h. es müssen Messungen an einzelnen Stellen durchgeführt werden. Eine solche diskrete Abtastung kann durch die Funktion

$$\hat{f}(x) = f(x) \cdot \sum_{n=-\infty}^{\infty} \delta(x - n \cdot \Delta x)$$

d. h. als Produkt einer Funktion $f(x)$ und einer Kamm-Funktion beschrieben werden. Die Fourier-Transformierte $\hat{F}(u)$ der abgetasteten Funktion entspricht dann der Fourier-Transformierten $F(u)$ der nicht abgetasteten Funktion, wird aber periodisch mit der Periode $1/\Delta x$ wiederholt und mit $1/\Delta x$ skaliert.

4.5.1. Abtasttheorie

Sei die Funktion $f(x)$ bandbegrenzt durch eine Maximalfrequenz u_G , d. h. $F(u) = 0$ für $|u| > u_G$.

Gilt nun $2u_G < 1/\Delta x$, so überlappen sich die Fouriertransformierten nicht, d. h. die Spektren von $F(u)$ und $\hat{F}(u)$ stimmen auf dem Intervall $[-u_G, u_G]$ (bis auf die Skalierung $1/\Delta x$) überein. Das Frequenzspektrum von $F(u)$ kann somit vollständig aus dem Abtastsignal und den Abtastwerten berechnet werden.

Gilt nun $2u_G > 1/\Delta x$, so überlappen sich die Fouriertransformierten und in den Überschneidungsbereichen bilden sich Summen. Damit ist es unmöglich, das originale Frequenzspektrum von $F(u)$ zu bestimmen (*Aliasing*).

4.5.2. Abtasttheorem von Whittaker-Shannon

Aus den vorherigen Überlegungen ergibt sich das *Abtasttheorem von Whittaker-Shannon*: Existiert für eine Funktion $f(x)$ eine Grenzfrequenz $u_G < \infty$, sodass $F(u) = 0$ für $|u| > u_G$ gilt, dann ist $f(x)$ fehlerfrei rekonstruierbar, sofern die Abtastfrequenz $1/\Delta x$ mindestens doppelt so hoch wie u_G ist:

$$\frac{1}{\Delta x} > 2u_G$$

5. Bilder

5.1. Bildverbesserung

Bei der Bildverbesserung wird versucht, die Bildinformationen so aufzubereiten, dass die für den Betrachter verbessert sind/wirken. Dafür gibt es (leider) keine allgemeine Theorie, sondern die möglichen Verbesserungen sind sehr Anwendungsspezifisch und abhängig von Bild und Betrachter. Typische Anwendungen sind dabei der Ausgleich von nicht-Linearitäten der Kamera, Anpassung von Helligkeit und Kontrast und Hervorhebung von Bildbereichen.

Es wird unterschieden zwischen Methoden im Ortsraum (die direkt Pixelwerte manipulieren) und Methoden im Frequenzraum, bei denen das Bild zunächst durch eine Fourier-Transformation in seine Frequenzen zerlegt, manipuliert und rücktransformiert wird.

5.1.1. Histogramm

Das Histogramm eines Bildes ist die graphische Darstellung der Häufigkeitsverteilung von bestimmten Merkmalen (z. B. von bestimmten Grauwerten). Histogramme von Bildern können viele Aussagen treffen, z. B. über:

- Dynamik (Bereich reeller Lichtintensitäten, er auf der Grauwertskala abgebildet wird)
- Kontrast (Bereich der Grauwertskala, der zur Darstellung ausgenutzt wird)
- Helligkeit (Beleuchtungsstärke (der Grauwert))

Dabei entspricht die Helligkeit eines Grauwertbildes dem Mittelwert aller Grauwerte und der Bildkontrast der Varianz aller Grauwerte.

5.1.2. Pixeloperationen

Bei Pixeloperationen wird ein Pixel unabhängig von seiner Nachbarschaft modifiziert. Beispiele für solche Operationen sind:

- Negativ
- Binärisierung/Thresholding
- Fensterung
- Kontrastspreizung
- Dynamikkompression
- Gammakorrektur (Bildschirm)

- Helligkeit
- Histogrammausgleich
- Differenz
- Mittelung

Bildnegativ

Bei einem Bildnegativ wird der Wert eines Pixels von der Maximal möglichen Intensität abgezogen und dieser Wert als neuer Pixelwert verwendet:

$$g[m, n] = f_{\max} - f[m, n]$$

Binärisierung/Thresholding

Bei der Binärisierung wird ein Schwellwert τ sowie zwei Werte f_{\max} und f_{\min} festgelegt und das Bild wie folgt manipuliert:

$$g[m, n] = \begin{cases} f_{\max} & f[m, n] > \tau \\ f_{\min} & f[m, n] \leq \tau \end{cases}$$

Für den Spezialfall der Binärisierung gilt $f_{\max} = 1$ und $f_{\min} = 0$.

Grauwertfensterung

Bei der Grauwertfensterung wird ein bestimmtes Intensitätsintervall hervorgehoben (gespreizt) und alles andere wird auf einen fixen Wert gesetzt.

5.1.3. Kontrastspreizung

Bei der Kontrastspreizung wird der Grauwert auf eine neue Grauwertskala anhand einer einwertigen oder monotonen Funktion abgebildet.

5.1.4. Histogrammausgleich

Bei einem Histogrammausgleich wird die Grauwertskala anhand der Kurve der Summenwahrscheinlichkeiten, d. h. anhand der kumulierten Wahrscheinlichkeiten bis zu einem bestimmten Wert, transformiert:

$$p(g) = \max(\text{Intensität}) \cdot \sum_{i=0}^g p(i)$$

Ein solcher Histogrammausgleich ist verlustbehaftet und nicht umkehrbar!

5.1.5. Mittelung

Ein unkorreliertes Rauschen im Bild kann durch Mittelung über k Aufnahmen des gleichen Motivs unterdrückt werden:

$$g[m, n] = \frac{1}{k} \sum_{i=0}^{k-1} f_i[m, n]$$

5.2. Bildfilterung

Zur Bildfilterung gibt es zwei grundlegende Vorgehensweise:

- Filterung im Ortsraum durch direkte Manipulation der Pixel und
- Filterung im Frequenzraum durch vorherige Fourier-Transformation und Rücktransformation.

5.2.1. Ortsraum

Filter im Ortsraum werden durch *Filtermasken* beschrieben. Dabei wird ein Pixel in Abhängigkeit von seiner Nachbarschaft modifiziert. Eine Filtermaske wird durch eine $k \times l$ -Matrix (mit k, l ungerade) beschrieben, die die Gewichtung der umliegenden Pixel beschreibt. Dies entspricht einer linearen Filterung (Faltung) im Ortsraum:

$$(f * w)[m, n] = \sum_{i=-\lfloor k/2 \rfloor}^{\lfloor k/2 \rfloor} \sum_{j=-\lfloor l/2 \rfloor}^{\lfloor l/2 \rfloor} w_{ij} f[m+i, n+j]$$

Dabei entspricht $w \in \mathbb{R}^{k \times l}$ der Filtermaske.

Tiefpass-Filter

- Die Koeffizienten (d. h. die Einträge der Filtermaske) sind allesamt positiv und normalisiert, sodass die Summe 1 ergibt.
- Dadurch werden nur positive Werte produziert.
- Es kommt zu Randeffekten, da am Rand die Nachbarn eines Pixels nicht definiert sind.
- Typische Vertreter dieser Kategorie sind Mittelwert- und Gauß-Filter.

Mittelwert-Filter 3×3 -Mittelwertfilter („Boxfilter“):

$$\frac{1}{9} \begin{bmatrix} 1 & 1 & 1 \\ 1 & 1 & 1 \\ 1 & 1 & 1 \end{bmatrix}$$

5×5 -Mittelwertfilter:

$$\frac{1}{25} \begin{bmatrix} 1 & 1 & 1 & 1 & 1 \\ 1 & 1 & 1 & 1 & 1 \\ 1 & 1 & 1 & 1 & 1 \\ 1 & 1 & 1 & 1 & 1 \\ 1 & 1 & 1 & 1 & 1 \end{bmatrix}$$

Je größer der Filter gewählt wird, desto mehr wird das Bild „verwischt“.

Gauß-Filter Bei einem Gauß-Filter werden die umliegenden Pixel durch eine diskrete Approximation der Funktion

$$G(x, y) = \frac{1}{2\pi\sigma^2} \exp \left\{ -\frac{x^2 + y^2}{2\sigma^2} \right\}$$

gewichtet. Für 3×3 („Binomialfilter“) und 5×5 ($\sigma = 1$) ergeben sich folgende Approximationen:

$$\frac{1}{16} \begin{bmatrix} 1 & 2 & 1 \\ 2 & 4 & 2 \\ 1 & 2 & 1 \end{bmatrix} \quad \frac{1}{273} \begin{bmatrix} 1 & 4 & 7 & 4 & 1 \\ 4 & 16 & 26 & 16 & 4 \\ 7 & 26 & 41 & 26 & 7 \\ 4 & 16 & 26 & 16 & 4 \\ 1 & 4 & 7 & 4 & 1 \end{bmatrix}$$

Median-Filter Der Median-Filter ist ein nichtlinearer Filter und kann daher nicht durch eine Faltung ausgedrückt werden. Bei ihm wird jeder Pixel durch den Medianwert seiner Nachbarschaft ersetzt. Dadurch werden keine Grautöne interpoliert, isolierte Punkte und Rauschen wird minimiert und die Schärfe der Kanten bleibt erhalten. Jedoch ist dieser Filter aufgrund der Sortierung sehr rechenintensiv.

Hochpass-Filter

- Die Koeffizienten können sowohl negativ und positiv sein und sind normalisiert, sodass die Summe 0 ergibt.
- Dadurch werden positive und negative Werte produziert.
- Typischer Vertreter dieser Kategorie sind Ableitungen und Differenzfilter.

Diskretisierung von Ableitungen Eine Ableitung $\partial f / \partial x$ einer Funktion kann durch Rückwärtsdifferenzen approximiert werden:

$$\frac{\partial f}{\partial x}(x) = \lim_{h \rightarrow 0} \frac{f(x) - f(x - h)}{h} \stackrel{h=1}{\approx} \frac{f(x) - f(x - 1)}{1} = f(x) - f(x - 1)$$

Dies gilt ebenfalls für die zweite Ableitung $\partial^2 f / \partial x^2$ (diesmal durch Vorwärtsdifferenzen):

$$\begin{aligned} \frac{\partial^2 f}{\partial x^2}(x) &= \lim_{h \rightarrow 0} \frac{\frac{\partial f}{\partial x}(x + h) - \frac{\partial f}{\partial x}(x)}{h} \\ &\approx \lim_{h \rightarrow 0} \frac{f(x + h) - f(x + h - 1) - f(x) + f(x - 1)}{h} \\ &\approx \frac{f(x + 1) - f(x) - f(x) + f(x - 1)}{1} \\ &= f(x + 1) - 2f(x) + f(x - 1) \end{aligned}$$

Laplacian-Filter Durch den Laplacian-Filter wird der Laplace-Operator

$$\Delta f(x, y) = \nabla^2 f(x, y) = \frac{\partial^2 f(x, y)}{\partial x^2} + \frac{\partial^2 f(x, y)}{\partial y^2}$$

approximiert. Für 3×3 ergibt sich bspw. die folgende diskrete Approximation:

$$\begin{bmatrix} 0 & 1 & 0 \\ 1 & -4 & 1 \\ 0 & 1 & 0 \end{bmatrix}$$

Eine alternative Approximation mit Parametern stellt

$$\frac{1}{\beta} \begin{bmatrix} \alpha & 1 - \alpha & \alpha \\ 1 - \alpha & -4 & 1 - \alpha \\ \alpha & 1 - \alpha & \alpha \end{bmatrix}$$

da, wobei

$$\beta = \begin{cases} 4 & 0 \leq \alpha \leq 1 \\ 4(q - \alpha) & -1 \leq \alpha < 0 \end{cases}$$

gilt (der Parameter α ist frei wählbar).

Laplacian of Gaussian Filter Oftmals wird zunächst ein Gauß- und danach ein Laplacian-Filter angewandt. Dieser Filter wird „Laplacian of Gaussian Filter“, „Marr-Hildreth-Operator“, „Mexican Hat Filter“ oder „Sombrerofilter“ genannt. Dabei wird die Funktion

$$\Delta G(x, y) = \frac{\partial^2 G(x, y)}{\partial x^2} + \frac{\partial^2 G(x, y)}{\partial y^2}, \quad G(x, y) = \frac{1}{2\pi\sigma^2} \exp\left\{-\frac{x^2 + y^2}{2\sigma^2}\right\}$$

approximiert.

Bilaterale Filter

Bei der bilateralen Filterung wird versucht, die Bilder weichzuzeichnen, aber scharfe Kanten zu erhalten. Dabei fließen Pixelfarben aus der Nachbarschaft nicht nur in Abhängigkeit von der Entfernung, sondern auch vom Farbabstand in die Berechnung ein.

5.2.2. Frequenzraum

Durch eine Multiplikation jeder Frequenz-Komponente $F(u, v)$ anhand einer Gewichtungsfunktion (Filter), können bestimmte Komponenten erhöht oder verringert werden. Durch eine inverse Fouriertransformation werden die Veränderungen sichtbar. Eine solche selektive Beseitigung von Frequenz-Komponenten heißt *Fourier-Filterung*. Filter werden bspw. eingesetzt, um den Einfluss von Datenfehlern oder Störsignalen zu verringern, hoch-/niederfrequente Signale zu trennen oder bestimmte Frequenzen hervorzuheben.

Es werden dabei drei grundlegende Filtertypen unterschieden:

- Hochpass-Filter
Tiefe Frequenzen $|\omega| < D_0$ werden abgeschnitten und es können nur hohe Frequenzen passieren. Dadurch werden scharfe Übergänge deutlicher.
- Tiefpass-Filter
Hohe Frequenzen $|\omega| > D_0$ werden abgeschnitten und es können nur niedrige Frequenzen passieren. Dadurch wird Rauschen eliminiert, das Bild aber etwas unschärfer.
- Bandpass-Filter
Es können nur Frequenzen aus dem Band $D_0 < \omega < D_1$ passieren.

Idealer Tiefpass-Filter

Bei einem idealen Tiefpass-Filter werden alle Frequenzen jenseits einer Grenzfrequenz D_0 abgeschnitten und der „Kegel“ ist radialsymmetrisch zum Ursprung. Der Filter hat dann die Form

$$H(u, v) = \begin{cases} 1 & D \leq D_0 \\ 0 & D > D_0 \end{cases}$$
$$D(u, v) = \sqrt{u^2 + v^2}$$

Dieser Filter ist aber so physikalisch nicht realisierbar (dies liegt an der unendlich langen Impulsantwort, z. B. bei einer Rechteck-Funktion)!

Gaußscher Tiefpass-Filter

Stattdessen wird ein Gaußscher Tiefpass-Filter eingesetzt. Da die Fourier-Transformation einer Gauß-Glocke wieder eine Gauß-Glocke ist, ist dieser Filter realisierbar.

Idealer Hochpass-Filter

Ein idealer Hochpass-Filter schneidet alle Frequenzen unter einer Grenzfrequenz D_0 ab:

$$H(u, v) = \begin{cases} 0 & D \leq D_0 \\ 1 & D > D_0 \end{cases}$$
$$D(u, v) = \sqrt{u^2 + v^2}$$

Ebenso wie der ideale Tiefpass-Filter ist auch dieser Filter physikalisch nicht realisierbar.

5.2.3. Vergleich: Orts- und Frequenzraum-Filter

- Frequenzraum-Filter können schnell berechnet werden (Fast Fourier-Transform), Ortsraumfilter sind meistens aber noch schneller.
- Einfache Handhabung (Das Filterdesign im Frequenzraum ist intuitiv).
- Ortsraumfilter sind nur eine Approximation der Frequenzraum-Filter (es sind keine unendlich breiten Filter möglich) und Abschneiden führt zu Artefakten.

5.3. Bildkompression

Die Rasterung und Abtastung einer Intensitätsfunktion von Licht erzeugt eine große Menge an Daten, was unpraktisch zur Speicherung und Übertragung ist. Es ist somit eine kompaktere Darstellung gewünscht (ohne oder mit zumutbarem Qualitätsverlust).

Bildkompression versucht dabei die Menge an Daten zur Repräsentation zu reduzieren:

- Eliminierung redundanter Daten
- Kodierungen

-
- Nachbarschaftsbeziehungen (räumlich, zeitlich)
 - Psychovisuelle Effekte (Wahrnehmung des Menschen, Farbauflösung des Auges)

Die Kompressionsverfahren werden dabei in zwei Klassen eingeteilt:

- Verlustfreie Kompression, z. B.:
 - Variable-Length-Coding (Huffman Code, Arithmesischer Code)
 - Bit-Plane Coding (Bit-Plane Slicing, Run-Length Coding)
 - Predictive Coding
 - Lempel-Ziv-Welch-Algorithmus (LZW; GIF, TIFF, Kombination von Variable-Length und Run-Length Coding)
- Verlustbehaftete Kompression
 - Die Bildinformationen werden so komprimiert, dass nicht alle Eigenschaften berücksichtigt werden und eine exakte Rekonstruktion ggf. nicht mehr möglich ist.
 - Viele Verfahren erlauben dem Anwender das Qualitäts-Kompressions-Verhältnis einzustellen (z. B. JPEG oder PNG).
 - Häufig werden Modelle der menschlichen Wahrnehmung verwenden (zur Identifizierung von für den Betrachter irrelevanten Bildeigenschaften, die nicht kodiert werden müssen).

Beispiele für Kompressionsverfahren:

- Audio
 - Unkomprimiert: AIFF, WAV, ...
 - Verlustlos: MPEG-4-ALC, Apple Lossless (ALAC), WMA Lossless, ...
 - Verlustbehaftet: MP3, Ogg Vorbis, MPEG-Audio, AAC (iTunes), WMA, ...
- Bilder
 - Unkomprimiert: BMP, RAW, ...
 - Verlustlos: TIFF, GIF, PNG, ...
 - Verlustbehaftet: JPEG, JPEG2000, ...
- Video
 - Unkomprimiert: Nicht praktikabel.
 - Verlustlos: Nicht praktikabel.
 - Verlustbehaftet: H.264 (DivX, QuickTime), MPEG-4 part 2 (Xvid, DivX), WMV, ...

5.3.1. Harmonische Transformation

Bei einer Kompression durch harmonische Transformation werden die Daten in verschiedene Frequenzanteile zerlegt, z. B. durch Fourier-Transformation oder Wavelet-Transformation. Ein typischer Vertreter ist die das JPEG-Kompressionsverfahren.

JPEG

JPEG ist eine Familie von Algorithmen zur Kompression in Echtfarbqualität (dabei gibt es verlustfreie und verlustbehaftete Verfahren). Die verlustbehafteten Prozesse sind für fotografische Aufnahmen mit fließenden Farbübergängen optimiert und daher nicht so gut für Text oder ähnlichen Bilddaten mit harten Kontrasten geeignet.

Durch JPEG sind Kompressionsraten bis zu 1 : 20 bis 1 : 35 erreichbar, wobei diese in den Hauptanwendungsgebieten verlustbehaftet sind. Dabei basiert JPEG auf einer diskreten Kosinustransformation.

Schritt 1: Umwandlung in den YCbCr-Farbraum Im ersten Schritt werden die Farben als

- Y Helligkeitswert
- C_B Abweichung von Grau in Richtung Blau
- C_R Abweichung von Grau in Richtung Rot

kodiert:

$$\begin{bmatrix} Y \\ C_B \\ C_R \end{bmatrix} \approx \begin{bmatrix} 0 \\ 128 \\ 128 \end{bmatrix} + \begin{bmatrix} 0.299 & 0.587 & 0.114 \\ -0.168736 & -0.331264 & 0.5 \\ 0.5 & -0.418688 & -0.081312 \end{bmatrix} \cdot \begin{bmatrix} R \\ G \\ B \end{bmatrix}$$

Schritt 2: Farb-Subsampling Die Farben werden verlustbehaftet komprimiert (dies ist aufgrund der höheren Genauigkeit des Auges im grünen Bereich möglich). Dabei wird für ein kleines Gebiet (üblicherweise 2×2 Pixel) die Farbdifferenzwerte C_R und C_B gemittelt und für das gesamte Gebiet zusammen angegeben.

Schritt 3: Diskrete Kosinustransformation In diesem Schritt werden die Bildinformationen in den Frequenzbereich zerlegt. Dazu wird zunächst jede Komponente (Y, C_B, C_R) in $8 \cdot 8 = 64$ Bildblöcke gerastert und diese anschließend einer diskreten Fourier-Transformation unterzogen. Dabei wird nur der Kosinus-Teil berechnet, da dadurch die Berechnung einfacher wird.

Das Ziel ist, die Informationen in eine Darstellung zu überführen, die besser für die folgenden Schritte geeignet ist.

Vorteil: Wenn sich benachbarte Bildpunkte kaum unterscheiden, d. h. das Bild keine scharfen Kanten hat, sind die meisten Koeffizienten gleich Null.

Schritt 4: Quantisierung Bei der Quantisierung werden die Informationsanteile beseitigt, die das Auge nicht oder nur schlecht wahrnimmt.

Schritt 5: Kodierung der Koeffizienten Aus den entstehenden Blöcken wird ein sequentieller Bitstrom erzeugt und die Koeffizienten werden als Differenzen zum vorhergehenden Koeffizienten kodiert (durch die Kohärenz ergeben sich hier kleine Werte). Die Koeffizienten werden dabei entlang einer Zick-Zack-Kurve kodiert (ähnliche wie bei Cantors Diagonalargument). Da hohe Frequenzen oft sehr klein sind, entsteht so eine für die Kompression günstige Reihenfolge.

Bisher wurde noch nichts wirklich komprimiert, sondern nur grob transformiert. Der entstehende Bitstrom kann nun aber durch typische Kompressionstechniken (Huffman-Algorithmus, Arithmetisches Kodieren) komprimiert werden.

6. Bildverarbeitung, Deblurring

Beim Deblurring wird versucht, eine vorhandene Verwischung (Blurring) eines Bildes zu entfernen.

Sei bekannt, dass das Bild g die mit einer Faltung a verwischte Version (Blurring) eines Bildes f ist, d. h. $g = a(f)$ (oftmals ist a eine Gauß-Glocke). Im Fourier-Raum ergibt sich dann $G = A \cdot F$ und die Rekonstruktion des Bildes f , bzw. der Frequenzen F , scheint mit $F = A^{-1} \cdot G$ sehr einfach. Bei dieser Rekonstruktion treten jedoch mehrere Probleme auf:

1. Der Blurring-Kernel A kann unendlich klein werden, sodass es beinahe zu einer Division durch Null kommt. Dadurch werden Rauschen und numerische Fehler verstärkt.
2. Es gibt immer Rauschen n : $g = a(f) + n$

Für das erste Problem kann verwendet werden, dass A i. A. komplex ist. Es gilt dann mit der komplex konjugierten Matrix A^* :

$$G = A \cdot F \quad \implies \quad A^* \cdot A \cdot F = |A|^2 \cdot F$$

Und mit $|A|^2 > 0$ kann die Rekonstruktion umgeformt werden:

$$F = \frac{1}{A} G = \frac{A^*}{A^* A} G = \frac{A^*}{|A|^2} G$$

Dadurch hat das rekonstruierte Bild nun keine reellen Zahlen mehr.

6.1. Korrekt gestellte Probleme

Nach Jacques Hadamard ist ein mathematisches Modell *korrekt gestellt*, wenn:

- Eine Lösung existiert,
- diese eindeutig ist und
- die Lösung in einer vernünftigen Topologie kontinuierlich von den Daten abhängt.

Ansonsten ist das Problem nicht korrekt gestellt.

Als Konsequenz daraus folgt, dass Blurring korrekt gestellt, Deblurring aber nicht korrekt gestellt ist. Daher ist eine Regularisierung notwendig, d. h. es werden zusätzliche Annahmen (Glätte, Informationen zum Rauschen) hinzugenommen.

6.2. Einschrittverfahren

6.2.1. Wiener Filter

Das zweite Problem von Deblurring (Rauschen) kann durch eine Regularisierung des Filter im Fourierraum:

$$F = \frac{A^*}{|A|^2 + R^2} G$$

reduziert werden (dies wird als *Wiener Filter* bezeichnet). Dabei ist R das Verhältnis von Rauschen zum Signal. Der Parameter entscheidet dabei, was verstärkt wird.

- Ist R zu groß, so verhält sich der Filter wie ein Tiefpass-Filter, d. h.:
 - Grobe Struktur bleibt erhalten.
 - Kanten werden verwischt.
 - Rauschen wird entfernt.
- Ist R zu klein, so verhält sich der Filter wie ein Hochpass-Filter, d. h.:
 - Grobe Strukturen werden entfernt.
 - Kanten werden entfernt.
 - Rauschen wird verstärkt.
- Ist R optimal, so verhält sich der Filter wie ein Bandpass-Filter, d. h.:
 - Grobe Struktur bleibt erhalten.
 - Kanten werden verstärkt.
 - Rauschen wird entfernt.

Vorteile:

- Schnell
- Häufig verwendet
- Beliebte (dadurch viel Know-How vorhanden)
- Leicht zu implementieren

Nachteile:

- Nur ein Filter für das gesamte Bild
- Keine lokalen, spezifischen Verbesserungen
- Nur ein Wert für R

Der Wiener-Filter kann z. B. durch lokale Verfeinerungen (Mehrkomponentenverfahren) oder iterative Verfeinerungen (Mehrschrittverfahren) verbessert werden.

6.2.2. Mehrkomponentenverfahren

Scale-Space-Ansatz

Zum Schärfen wird der Laplace-Operator, multipliziert mit einer unabhängigen Konstante t , vom Bild abgezogen:

$$L_{\text{schärfer}} = L_0 - t \underbrace{(L_{xx} + L_{yy})}_{=\Delta L} = L_0 - t \cdot \Delta L$$

Durch Hinzufügen von zusätzlichen Termen (mit Ableitungen höherer Ordnung) kann das Ergebnis weiter verfeinert werden:

$$L_{\text{schärfer}} = L_0 - t(L_{xx} + L_{yy}) + \frac{1}{2}t^2(L_{xxxx} + 2L_{xxyy} + L_{yyyy}) - \frac{1}{6}t^3(L_{xxxxx} + 3L_{xxxxy} + 3L_{xxyyy} + L_{yyyyy})$$

Diese Sequenz ist eine Taylorreihe der partiellen Differentialgleichung

$$\frac{\partial L}{\partial t} = \frac{\partial^2 L}{\partial x^2} + \frac{\partial^2 L}{\partial y^2}$$

in $-t$. Die Veränderung in einem Bild über eine gewisse Zeit ist also durch eine partielle Differentialgleichung zweiter Ordnung definiert.

6.3. Mehrschrittverfahren (Iterative Methoden)

6.3.1. Energie und Variationsableitung

Sei E die Energie eines Bildes L :

$$E(L) = \frac{1}{2} \iint_{x,y} L^2 \, dx \, dy$$

Diese „Energie“ sagt aus, wie viel Intensität in den Pixeln vorhanden ist. Eine Minimierung der Intensität führt dann zum optimalen Bild bzgl. der definierten Energie. Dieses Minimum kann durch Variationsrechnung oder iterative Prozesse gefunden werden.

Die Variationsableitung $\delta E(L)$ eine Verallgemeinerung der normalen Ableitung, wobei dieses Prinzip hier nicht näher beleuchtet werden soll. Für die Energie

$$E(L) = \frac{1}{2} \iint_{x,y} L^2 \, dx \, dy$$

gilt $\delta E(L) = L$ und das Minimum liegt bei $\delta E(L) \stackrel{!}{=} 0$. In diesem Fall liegt das Minimum also bei $L = 0$, d. h. $E(L) = 0$.

Für die Energie

$$E(L) = \frac{1}{2} \iint_{x,y} L_x^2 + L_y^2 \, dx \, dy$$

folgt $\delta E(L) = -(L_{xx} + L_{yy}) = -\Delta L$. Hier ist es weniger trivial das Minimum zu finden, weshalb das System in eine partielle Differentialgleichung

$$L_t = -\delta E(L)$$

überführt wird und das Minimum iterativ gesucht wird.

6.3.2. Alternativen

Da mit den bisherigen Energien keine guten interessanten Bilder generiert werden können, gibt es noch andere Energien, z. B.:

- Perona-Malik
 - Rauschen wird verwischt

- Kanten werden verstärkt
- Smart Energy Term und Stoppzeit
- Totale Variation
 - Rauschen wird verwischt
 - Kanten werden verstärkt
 - Smart Energy Term und Distance Penalty
- uvm.

6.3.3. Perona-Malik

Die Heat-Equation $L_t = L_{xx} + L_{yy} = \Delta L$ wird modifiziert zu

$$\partial_t L = \nabla \circ (c \cdot \nabla L)$$

wobei c der *Conductivity Coefficient* ist, durch den die Diffusion an lokale Bildstrukturen anpassbar ist (d. h. $c = c(L, L_x, L_{xx}, \dots)$). Mit $c = 1$ fällt die Methode zurück zum gaußschen Scale-Space.

Die Perona-Malik-Gleichung

Nach Perona und Malik ist $c(\cdot)$ eine Funktion der Gradientenstärke, welche die Diffusion dort reduziert, wo Kanten sind (c nahe Null) und in flachen Bereichen erhöht. Dies eingesetzt ergibt:

$$\partial_t L = \nabla \circ \left(c(|\nabla L|^2) \cdot \nabla L \right)$$

Für c gibt es im Grunde zwei Möglichkeiten, die beide mehr oder weniger das gleiche Verhalten erzeugen:

$$c_1 = \exp \left\{ - \frac{|\nabla L|^2}{k^2} \right\} \quad c_2 = \left(1 + \frac{|\nabla L|^2}{k^2} \right)^{-1}$$

Dabei bestimmt k den Einfluss der Kantenstärke. Bei einem großen k bleiben nur die größten Gradienten (starke Kanten) übrig, bei einem kleinen k bleiben (fast) alle Gradienten (Kanten, Rauschen) übrig.

Implementierung

Für die Lösung der Perona-Malik-Gleichung gibt es keine analytischen Methoden, weshalb eine iterative Methode eingesetzt wird:

$$L^{(t+1)} = L^{(t)} + \Delta t \cdot \left(\nabla \circ \left(c(|\nabla L|^2) \cdot \nabla L \right) \right)$$

dabei ist:

- $L^{(0)}$ das originale Bild und
- Δt ein kleiner Zeitschritt.

„Irgendwann“ muss die Iteration beendet werden, z. B. nach n Schritten oder wenn $L^{(t+1)}$ „gut aussieht“.

Stoppzeit

Während der Iteration steige das Signal-Rausch-Verhältnis i. A. an und fällt danach wieder ab (das Bild konvergiert gegen eine gleichmäßig graue Fläche). Das heißt die Iteration stoppt nicht bei der optimalen Lösung und es wird eine *Stoppzeit* benötigt.

6.3.4. Eingeschränkte Evolution: Totale Variation

Wird sichergestellt, dass die Iterationen gegen die optimale Lösung konvergieren, so ist keine benutzerdefinierte Stoppzeit nötig. Daher wird versucht eine klug gewählte Energie zu minimieren und eine *Distance Penalty* hinzuzufügen.

Distance Penalty

Bei einer Distance Penalty wird zusätzlich zum Modell des Bildes ein Rauschmodell angenommen (z. B. gaußsches Zufallsrauschen), sodass es zusätzliche Bedingungen an die Lösung L gibt:

$$\begin{aligned}\iint_{x,y} (g - a(L)) \, dx \, dy &= 0 \\ \iint_{x,y} (g - a(L))^2 \, dx \, dy &= \sigma^2\end{aligned}$$

Diese Beschränkungen können zur Energie hinzugefügt werden, um das Konvergenzverhalten zu verbessern.

Totale Variation

Bei der Methode der totalen Variation wird die Energie

$$E(L) = \iint_{x,y} \left(|\nabla L| + \lambda (g - a(L))^2 \right) \, dx \, dy$$

minimiert, wobei λ ein vom Rauschen abhängiger Parameter ist. Da die totale Variation gegen die optimale Lösung konvergiert, wird keine Stoppzeit benötigt.

Erweiterungen

- Schwierigere Funktionen/Energien (Statistik, Niveaumengen für Segmentierung, ...)
- Andere Rauschstatistiken (z. B. Multiplikatives Rauschen)
- Andere Steuerungsmechanismen für den Conductive Coefficient c (z. B. kantenverstärkende Diffusion, kohärenzverstärkende Diffusion, ...)

7. Grafikpipeline

7.1. Hardware

Abbildung 7.1 zeigt einen Überblick über Computer-Paradigmen. Die Überschneidungen sind dabei Bereiche, in denen mehrere Paradigmen zusammenlaufen.

7.1.1. P1: Large-Scale-Computing

Die ursprünglichen Mainframe-Computer waren sehr große Rechenmaschinen, die als Hosts angesteuert wurden. Der Zugriff auf diese fand über externe, mit Tastaturen ausgerüstete, alphanumerische, Terminals statt (Host- und Terminal-System).

7.1.2. P2: Personal/Desktop Computing

Computer stehen nun Zuhause und sind sehr viel kleiner.

7.1.3. P3: Networked Computing

Computer kommunizieren untereinander.

7.1.4. P4: Mobile Computing

Es gibt viele verschiedene Arten von mobilen Geräten (Laptops, Tablets, Smartphones, ...).

7.1.5. ZP1: Collaborative Computing

Zum Beispiel Multi-Touch-Tables.

7.1.6. ZP2: Virtual Reality

Virtuelle Realität lässt den Menschen in virtuelle Welten eintauchen. Dabei gibt es zwei Arten:

- Nicht-immersive Umgebungen (Bildschirm- und Zeigerbasiert, 3D-Anzeige, mglw. haptisches Feedback).
- Immersive Umgebungen (es wird tatsächlich der Eindruck erweckt, in einer Welt aus virtuellen Objekten zu sein).

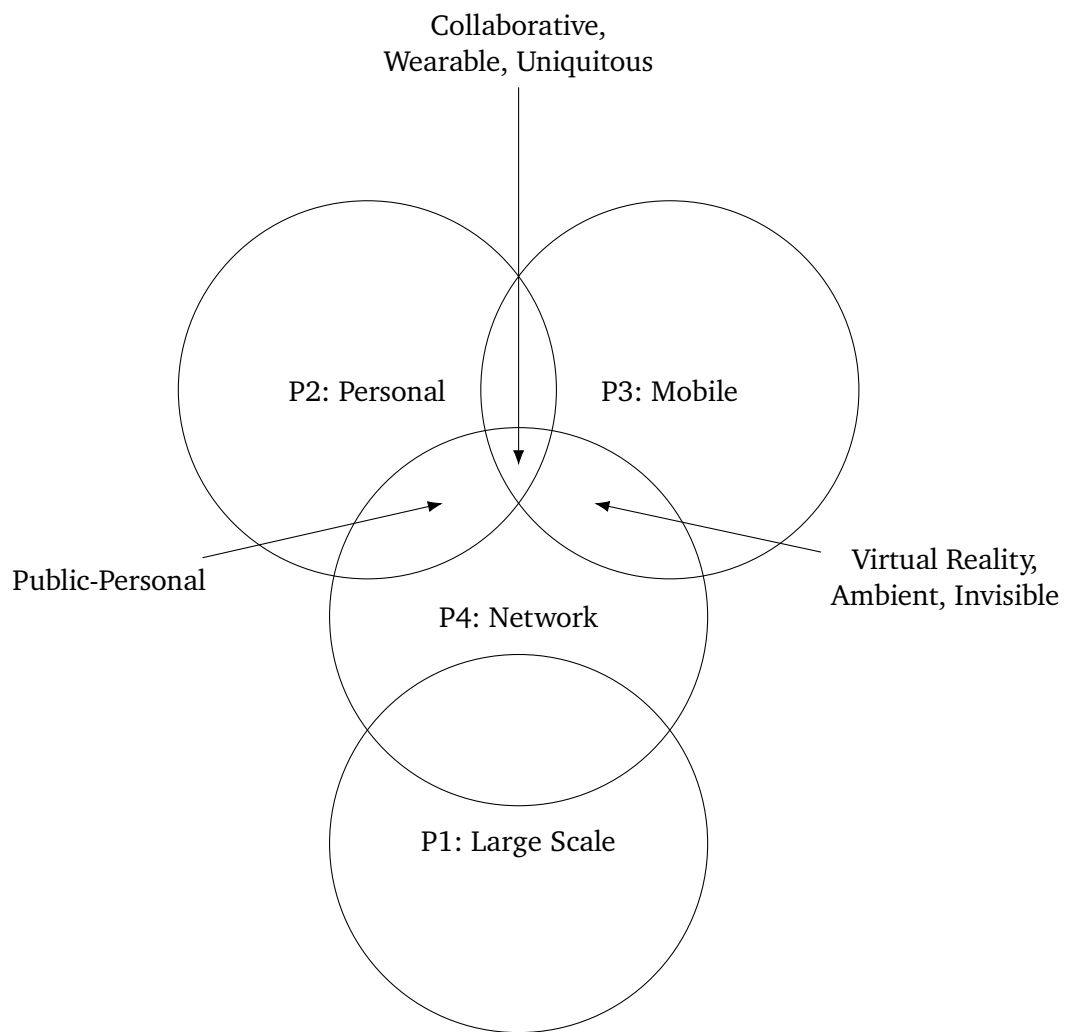


Abbildung 7.1.: Hardware und Paradigmen

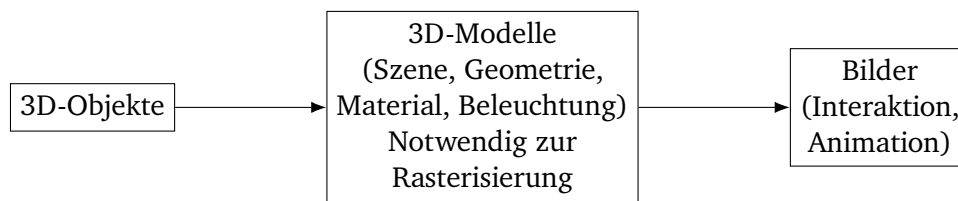


Abbildung 7.2.: Einfache Pipeline der Computergrafik.

7.1.7. Augmented Reality

Augmented Reality beschreibt die Integration von virtuellen und realen Objekten, wobei die Wahrnehmung des Benutzers erweitert und verbessert werden soll. Die Ein- und Ausgabegeräte sind z. B. Heads-Up-Displays (HUDs) oder Head-Mounted-Displays (HMDs).

7.1.8. Ambient/Invisible

Zum Beispiel Freiraum-Gestenerkennung.

7.1.9. Wearable/Ubiquitous

Die Geräte müssen nicht mehr explizit gehalten werden, sondern sie sind „anziehbar“, z. B. eine Smartwatch.

7.2. Computergrafik

Abbildung 7.2 zeigt eine stark vereinfachte Pipeline der Computergrafik.

7.2.1. Uncanny Valley

Das *Uncanny Valley* beschreibt eine Beziehung zwischen der Ähnlichkeit eines Objekts zum Menschen und der emotionalen Reaktion darauf. Dabei tritt kurz vor einer absoluten Ähnlichkeit ein Tief auf, welches als Uncanny Valleys bezeichnet wird. In diesem Bereich werden Objekte besonders gruselig wahrgenommen (siehe z. B. hier für eine Demonstration dieses Effekts).

7.3. Grafikpipeline

Abbildung 7.3 zeigt die typische Grafikpipeline von der Anwendung zur Ausgabe. Dabei geschehen folgende Schritte:

- Anwendung
Dieser Schritt produziert eine Modellierung der Daten.
- Geometrieverarbeitung
Dieser Schritt produziert 2D-Koordinaten und zusätzliche Daten (z-Buffer Werte, Farbwerte pro Knoten/Primitiv).
- Rasterisierung
Dieser Schritt produziert ein Rasterbild (Bildspeicher).

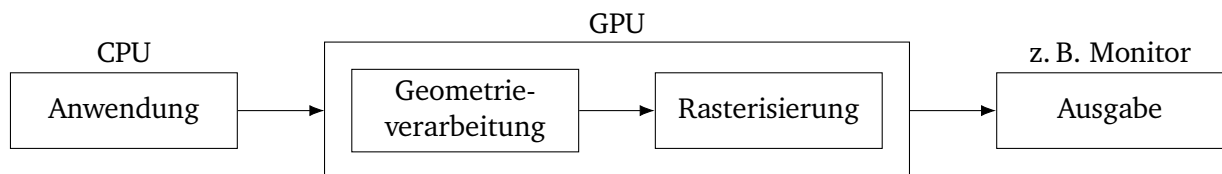


Abbildung 7.3.: Typische Grafikpipeline

- Ausgabe
Speichern/Anzeigen des Bilds.

7.4. Anwendung

Die Anwendung beschäftigt sich mit der Eingabe von grafischen Daten, sowie deren Repräsentation.

7.4.1. Eingabe grafischer Daten

Grafische Daten können bspw. durch die Generierung von 3D-Modellen oder der Abtastung realer Objekte eingegeben werden.

7.4.2. Repräsentation von 3D-Daten

Grafische Primitive

Grafische Primitive, aus denen ein größeres Modell zusammengesetzt werden kann, sind z. B.:

- Punkte
- Linien
- Dreiecke

Transformationen

Siehe Kapitel 8.

7.4.3. Räumliche Datenstrukturen

Räumliche Datenstrukturen werden bspw. zum View-Frustum-Culling (feststellen der Sichtbarkeit eines Objekts im Sichtvolumen), Occlusion Culling/z-Buffer (Verdeckung) oder Kollisionserkennung genutzt. Sie werden in folgende Klassen eingeteilt:

- Hüllkörperhierarchie (bspw. Bounding Sphere Hierarchy)
- Raumunterteilung (Gitter, Hierarchisch (k-d Tree, Quadtree, Octree, Binary Space Partition))

Hüllkörper/-hierarchien

Ein *Hüllkörper* ist eine einfache Form um den eigentlichen Körper herum, sodass sich Schnittpoints mit anderen Primitiven einfach durchführen lassen. Typische Primitive sind z. B. Kugeln, Rechtecke oder rotierte Rechtecke. Eine *Hüllkörperhierarchie* wird dann aus mehreren solchen Hüllkörpern zusammengesetzt.

Raumunterteilung

Achsenparallele Gitter (Grids) Der Raum wird in ein Gitter eingeteilt, wobei Objekte in mehreren Zellen enthalten sein können (Redundanz). Die Aufteilung kann sich demnach nicht der Geometrie anpassen und ist sehr speicherintensiv. Dennoch ist sie sehr effizient traversierbar und es ist ein schneller Zugriff auf Nachbarn möglich.

Quadtree/Octree Bei einem *Quadtree* wird der Raum in ein Gitter aufgeteilt und aus diesem ein Baum berechnet (siehe GdR Zusammenfassung, Abschnitt „Approximative Zellzerlegung“).

Ein *Octree* entspricht dann einem Quadtree im dreidimensionalen.

Binary Space Partition Bei einer *Binary Space Partition* (BSP) wird der Raum binär unterteilt, wobei immer an den durch Polygone induzierten Ebenen geteilt wird. Dann entspricht jeder Knoten einer Unterteilungsebene, die den Raum in zwei Halbräume unterteilt.

7.5. Geometrieverarbeitung

7.5.1. Simulation der Beleuchtung

Um die Beleuchtung eines Objekts zu simulieren, müssen zunächst die Leuchtdichten eines Primitivs bestimmt werden (in der Praxis findet die Bestimmung der Leuchtdichte pro Pixel erst während der Rasterisierung statt). Zur Bestimmung der Beleuchtung gibt es unterschiedliche Ansätze:

- Flat Shading
 - Die Normale des Primitivs ergibt eine einheitliche Helligkeit.
- Gouraud Shading
 - Die Normalen in den Eckpunkten ergeben die Helligkeitswerte für die Eckpunkte.
 - Die Helligkeitswerte der Eckpunkte werden linear interpoliert.
- Phong Shading
 - Die Normalen in den Eckpunkten werden für jeden Punkt linear interpoliert und normiert.
 - Der Helligkeitswert ergibt sich aus der interpolierten Normalen.

Phong-Beleuchtungsmodell

Im Phong-Beleuchtungsmodell setzt sich die Gesamtbeleuchtung

$$I_{total} = I_{amb} + I_{diff} + I_{spec}$$

aus

- Ambienter Reflexion I_{amb} (global modelliert),
- Diffuser Reflexion I_{diff} (lokal modelliert) und
- Spiegelnder Reflexion I_{spec} (lokal modelliert).

zusammen. Die ambiente Komponente ist richtungsunabhängig und abhängig von dem Umgebungslicht C sowie der Materialkonstanten k :

$$I_{amb} = k_{amb}C_{amb}$$

Die diffuse Reflexion ist abhängig von der Richtung des Lichts, der Oberflächennormalen N und der Richtung zum Licht L :

$$I_{diff} = k_{diff}C_{light}(N \circ L)$$

Die spiegelnde Reflexion ist abhängig von der Richtung der Reflexion R , der Betrachtungsrichtung V und der „Rauheit“ m des Materials:

$$I_{spec} = k_{spec}C_{light}(R \circ V)^m$$

7.5.2. Perspektivische Transformation und Clipping (Abschneiden)

Liegen mehrere Objekte voreinander, so ist der dem Auge nächste Punkt sichtbar (es sei denn, das Objekt ist transparent, dann wird auch der dahinterliegende Punkt sichtbar, usw.). *Clipping* bezeichnet nun das Abschneiden von Objekten am Rand des gewünschten Bildausschnitts.

Painters Algorithmus

Bei diesem Algorithmus werden die Primitive „wie von einem Maler“ gezeichnet: Es wird mit dem tiefsten z-Wert begonnen und die Objekte mit aufsteigendem z-Wert darüber gezeichnet. So verdecken sich hintereinander liegende Polygone „automatisch“. Jedoch sind transparente Objekte sowie „im Kreis überdeckende“ Objekte nicht korrekt darstellbar.

7.5.3. Culling (Verdeckungsrechnung im Objektraum)

Üblicherweise machen die Rückseiten von Objekten ca. die Hälfte der vorkommenden Flächen aus, können aber nicht gesehen werden. Durch *Culling* werden die Rückseiten berechnet und beim Rendering explizit ausgeschlossen, um Rechenleistung zu sparen.

Eine Fläche ist immer dann eine Rückseite, wenn das Skalarprodukt von Sehstrahl s und Normale n positiv ist: $n \circ s > 0$.

7.5.4. Projektion

Siehe 8.3.

7.6. Rasterisierung

Bei der *Rasterisierung* werden die Primitive (Linien, Polygone) in Pixel zerlegt und zusätzlich pro Pixel eine Verdeckungsrechnung und Shading durchgeführt.

7.6.1. Scan-Konvertierung

Rasterisierung von Linien (Bresenham-Algorithmus)

Der Bresenham-Algorithmus 1 ist ein Algorithmus zum Zeichnen von Linien von Anfangspunkt (x_1, y_1) mit Endpunkt (x_2, y_2) . Mit $\Delta x := x_2 - x_1 \geq 0$ und $\Delta y := y_2 - y_1 \geq 0$ (die Bedingung ≥ 0 kann durch geschicktes Vertauschen immer eingehalten werden), muss der Algorithmus genau $\max\{\Delta x, \Delta y\} + 1$ Pixel zeichnen.

Algorithmus 1 : Bresenham-Algorithmus zum Rastern einer Linie.

Input : Startpunkt (x_1, y_1) , Endpunkt (x_2, y_2)

```
1  $\delta x \leftarrow x_2 - x_1$ 
2  $\delta y \leftarrow y_2 - y_1$ 
3  $x \leftarrow x_1$ 
4  $y \leftarrow y_1$ 
5 Setze Pixel  $(x, y)$ 
6  $\xi \leftarrow \delta x / 2$ 
7 while  $x < x_2$  do
8    $x \leftarrow x + 1$ 
9    $\xi \leftarrow \xi - \delta y$ 
10  if  $\xi < 0$  then
11     $y \leftarrow y + 1$ 
12     $\xi \leftarrow \xi + \delta x$ 
13  Setze Pixel  $(x, y)$ ;
```

Rasterisierung von Polygonen (Scanline Algorithmus)

Polygone können bspw. mit dem *Scanline Algorithmus* gerastert werden. Dieser scannt die Pixelebene von oben nach unten mit einer „Scan Line“ durch und findet alle Schnittpunkte mit den Kanten des Polygons. Anschließend werden die Schnittpunkte nach x -Koordinaten sortiert und die Pixel zwischen Paaren aufeinanderfolgender Schnittpunkte gefüllt. Dabei wird eine Parität mitgeführt, die in jedem Schritt um Eins erhöht wird (beginnend von Null). Ist die Parität ungerade, wird der Pixel gesetzt, sonst nicht.

7.6.2. Verdeckungsrechnung

z-Buffer-Algorithmus

- Zu jedem Bildpunkt wird noch ein z-Wert gespeichert.
- Initialisierung: Der Bildspeicher wird auf die Hintergrundfarbe gesetzt, der z-Speicher auf den maximalen Wert.
- Anschließend werden alle Objekte der Szene nacheinander gerastert, wobei keine besondere Reihenfolge notwendig ist:
Für jeden Punkt (x, y) eines Polygons wird $z(x, y)$ berechnet. Aufgrund der perspektivischen Transformation ist eine lineare Interpolation nicht mehr einfach möglich! Ist $z(x, y)$ kleiner als der bereits

gespeicherte Wert, so wird $z(x, y)$ gespeichert und der zugehörige Farbwert in den Bildspeicher geschrieben.

- Nach der Behandlung aller Objekte steht im Objektspeicher das Bild der gewünschten (Teil-) Flächen.

Vorteile:

- Jede Szene mit jeder Art von Objekten kann behandelt werden.
- Die Komplexität ist unabhängig von der Tiefenkomplexität.
- In eine fertige Szene können nachträglich Objekte eingefügt werden.
- Spezielle Objekte (z. B. ein 3D-Cursor) können in der Szene mit korrekter Verdeckung dargestellt werden.
- Leicht in Hardware zu realisieren.

Nachteile:

- Für jeden Bildpunkt wird nur ein Objekt gespeichert (dies führt zu Abtastfehlern).
- Transparenz ist prinzipiell nicht realisierbar.
- Die Genauigkeit des z-Buffers ist beschränkt (getrennte Objekte erhalten den selben z-Wert, die Farbe wird dann von der Objektreihenfolge bei der Rasterung bestimmt).

8. Transformationen

Aus Sicht der Grafikpipeline gibt es viele unterschiedliche Koordinaten:

- Objektkoordinaten (Festlegung der lokalen Lage von 3D-Objekten)
- Weltkoordinaten (Beschreibung der gesamten Szene in 3D)
- Projektionskoordinaten (nach der Anwendung der Projektionstransformation)
- Bildschirmkoordinaten (Darstellung der Szene in einem Fenster mit gewählter Position und Größe)

Abbildung 8.1 zeigt die Umwandlung der Koordinaten innerhalb der Grafikpipeline.

8.1. Affine Abbildungen

8.1.1. Eigenschaften

Affine Abbildungen (Translation, Rotation, Skalierung, Scherung) haben folgende Eigenschaften:

- Geraden werden auf Gerade abgebildet.
- Beschränkte Objekte bleiben beschränkt.
- Verhältnisse von Längen, Flächen, Volumen bleiben erhalten.
- Parallele Objekte bleiben parallel.

Mathematischer formuliert: Eine Abbildung $\Phi : \mathbb{R}^n \rightarrow \mathbb{R}^n$ heißt *affin*, gdw. Φ in der Form

$$\Phi(\mathbf{v}) = A(\mathbf{v}) + I(\mathbf{b})$$

mit einer linearen Abbildung $A : \mathbb{R}^n \rightarrow \mathbb{R}^n$, der Identitätsabbildung $I : \mathbb{R}^n \rightarrow \mathbb{R}^n$ und $\mathbf{v}, \mathbf{b} \in \mathbb{R}^n$ darstellbar ist. Eine affine Abbildung setzt sich also aus einer linearen Abbildung und einer Translation zusammen.

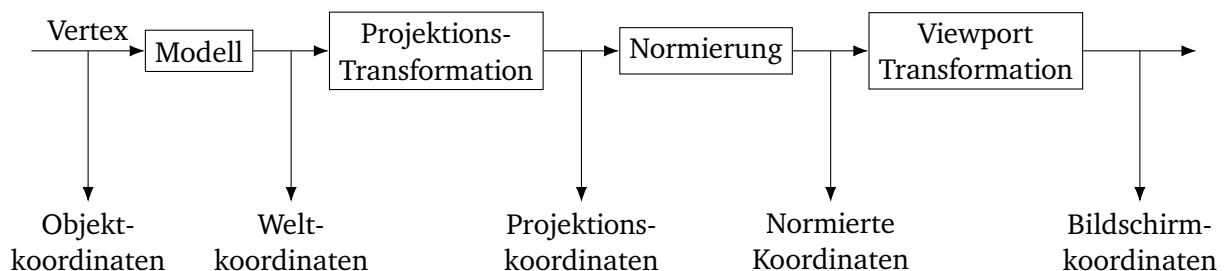


Abbildung 8.1.: Änderung der Koordinaten innerhalb der Grafikpipeline.

Eine Abbildung $A : \mathbb{R}^n \rightarrow \mathbb{R}^n$ heißt *linear*, gdw.

$$A(\lambda \mathbf{u} + \mu \mathbf{v}) = \lambda A(\mathbf{u}) + \mu A(\mathbf{v})$$

für alle $\mathbf{u}, \mathbf{v} \in \mathbb{R}^n$ und $\lambda, \mu \in \mathbb{R}$ gilt.

8.1.2. Homogene Koordinaten

Anstelle der aufwendigen Notation $A\mathbf{v} + \mathbf{b}$ für affine Abbildungen können homogene Koordinaten verwendet werden (sei dazu im folgenden $n = 3$). Dann wird eine Äquivalenzklasse nach \mathbb{R}^4 definiert durch:

$$\begin{bmatrix} x \\ y \\ z \end{bmatrix} \rightarrow \begin{bmatrix} x \\ y \\ z \\ 1 \end{bmatrix} \quad \begin{bmatrix} x \\ y \\ z \\ w \end{bmatrix} \rightarrow \begin{bmatrix} x/w \\ y/w \\ z/w \end{bmatrix}$$

Wobei $w \neq 0$ einen Skalierungsfaktor darstellt (dieser ist meistens 1).

Eine reine Translation kann dann in homogenen Koordinaten ausgedrückt werden als:

$$\begin{bmatrix} x' \\ y' \\ z' \\ 1 \end{bmatrix} = \begin{bmatrix} 1 & 0 & 0 & x_0 \\ 0 & 1 & 0 & y_0 \\ 0 & 0 & 1 & z_0 \\ 0 & 0 & 0 & 1 \end{bmatrix} \cdot \begin{bmatrix} x \\ y \\ z \\ 1 \end{bmatrix} = \begin{bmatrix} x + x_0 \\ y + y_0 \\ z + z_0 \\ 1 \end{bmatrix}$$

Allgemein ergibt sich für homogene Koordinaten die Transformationsmatrix

$$\begin{bmatrix} a_{11} & a_{12} & a_{13} & x_0 \\ a_{21} & a_{22} & a_{23} & y_0 \\ a_{31} & a_{32} & a_{33} & z_0 \\ 0 & 0 & 0 & 1 \end{bmatrix}$$

was einer Anwendung der Matrix A und eine Translation um den Vektor $[x_0 \ y_0 \ z_0]^T$ entspricht (dies ist leicht nachzurechnen).

Diese einheitliche und kompakte Darstellung von Rotationen/Skalierungen/... und Translationen als eine Matrixmultiplikation erlaubt eine einfache Implementierung und eine Hintereinanderausführung mehrerer Operationen entspricht einer reinen Multiplikation von Matrizen.

8.2. Skalierung, Scherung, Rotation

Die affinen Abbildungen der Skalierung, Scherung und Rotation lassen den Ursprung invariant, d. h. der Vektor $[0 \ 0 \ 0]^T$ wird nicht verschoben. Hierfür wären theoretisch normale (3×3) -Matrizen ausreichend.

8.2.1. Skalierung

Eine Skalierung wird durch eine Diagonalmatrix

$$\begin{bmatrix} s_1 & 0 & 0 \\ 0 & s_2 & 0 \\ 0 & 0 & s_3 \end{bmatrix} \rightarrow \underbrace{\begin{bmatrix} s_1 & 0 & 0 & 0 \\ 0 & s_2 & 0 & 0 \\ 0 & 0 & s_3 & 0 \\ 0 & 0 & 0 & 1 \end{bmatrix}}_{\text{Homogene Koordinaten}}$$

beschrieben. Dabei wird die x -Achse um s_1 skaliert, die y -Achse um s_2 und die z -Achse um s_3 . Gilt $s_1 = s_2 = s_3$, so werden alle Koordinaten gleichermaßen skaliert.

8.2.2. Scherung

Eine Scherung wird durch eine Matrix

$$\begin{bmatrix} 1 & s_2 & s_5 \\ s_1 & 1 & s_6 \\ s_3 & s_4 & 1 \end{bmatrix} \rightarrow \underbrace{\begin{bmatrix} 1 & s_2 & s_5 & 0 \\ s_1 & 1 & s_6 & 0 \\ s_3 & s_4 & 1 & 0 \\ 0 & 0 & 0 & 1 \end{bmatrix}}_{\text{Homogene Koordinaten}}$$

beschrieben.

8.2.3. Rotation

Eine Basisrotation (um eine der Koordinatenachsen) wird durch folgende drei Matrizen beschrieben (von oben nach unten jeweils um die x -, y - und z -Achse):

$$\begin{aligned} \mathbf{R}(x; \alpha) &= \begin{bmatrix} 1 & 0 & 0 \\ 0 & \cos(\alpha) & -\sin(\alpha) \\ 0 & \sin(\alpha) & \cos(\alpha) \end{bmatrix} \\ \mathbf{R}(y; \alpha) &= \begin{bmatrix} \cos(\alpha) & 0 & \sin(\alpha) \\ 0 & 1 & 0 \\ -\sin(\alpha) & 0 & \cos(\alpha) \end{bmatrix} \\ \mathbf{R}(z; \alpha) &= \begin{bmatrix} \cos(\alpha) & -\sin(\alpha) & 0 \\ \sin(\alpha) & \cos(\alpha) & 0 \\ 0 & 0 & 1 \end{bmatrix} \end{aligned}$$

Der Kompaktheit halber wurden hier die homogenen Formulierungen weg gelassen, sie werden aber analog zu denen der Skalierung und Scherung gebildet.

Rotation um beliebige Achse

Zur Rotation um einen beliebigen, normierten Vektor \mathbf{r} um den Winkel α muss zunächst das körperfeste Koordinatensystem des zu rotierenden Körpers koinzident zu den Ursprungsachsen gedreht werden (durch eine Rotationsmatrix \mathbf{R}) und anschließend um eine der Achsen (z. B. der x -Achse) rotiert werden und anschließend wieder zurück in das körperfeste Koordinatensystem gedreht werden:

$$\mathbf{R}_{\mathbf{r}}(\alpha) = \mathbf{R}^{-1} \cdot \mathbf{R}(x; \alpha) \cdot \mathbf{R}$$

Dazu muss zunächst eine orthonormale Basis $(\mathbf{r}, \mathbf{s}, \mathbf{t})$ bestimmt werden. Der erste Basisvektor ist die Drehachse \mathbf{r} , die anderen beiden Vektoren werden wie folgt berechnet:

$$\mathbf{s} = \begin{cases} \frac{\mathbf{r} \times \mathbf{e}_y}{\|\mathbf{r} \times \mathbf{e}_y\|} & \text{falls } \mathbf{r} \parallel \mathbf{e}_x \\ \frac{\mathbf{r} \times \mathbf{e}_x}{\|\mathbf{r} \times \mathbf{e}_x\|} & \text{sonst} \end{cases}$$

$$\mathbf{t} = \mathbf{r} \times \mathbf{s}$$

Daraus ergibt sich mit $\mathbf{R} = [\mathbf{r} \quad \mathbf{s} \quad \mathbf{t}]$ die benötigte Transformationsmatrix.

Rotation um beliebigen Punkt

Soll ein Objekt um einen anderen Punkt als den Ursprung gedreht werden, so muss das Rotationszentrum zunächst in den Ursprung verschoben, dann die Rotation durchgeführt und anschließend das Rotationszentrum wieder zurückgeschoben werden.

Beispiel Es soll eine Transformationsmatrix erstellt werden, die eine Rotation um die i -Achse ($i \in \{x, y, z\}$) im Punkt beschrieben durch \mathbf{r} durchführt. Die Transformationsmatrix lautet dann allgemein:

$$\mathbf{T} = \text{Trans}(\mathbf{r}) \cdot \text{Rot}(i; \alpha) \cdot \text{Trans}(-\mathbf{r})$$

8.2.4. Nicht-Kommutativität von Transformationen

Die Reihenfolge von Transformationen darf i. A. nicht vertauscht werden (insbesondere ist die Matrixmultiplikation nicht kommutativ).

8.2.5. Rechenaufwand

Bei vielen nacheinander ausgeführten Transformationen ist es sinnvoller, einmal die gesamte Transformationsmatrix zu berechnen, statt oftmals Matrix-Vektor-Multiplikationen durchzuführen.

8.3. Projektion

Zur Projektion von 3D-Elementen gibt es viele unterschiedliche Möglichkeiten:

- Aufriss (Frontansicht)
- Kabinett-/Kavallierperspektive
- Allgemeine Parallelprojektion
- Isometrische Perspektive
- Zentralperspektive
- Vogelperspektive

Solche projektiven Abbildungen können durch homogene Transformationen beschrieben werden, wobei jedoch die Winkel verändert werden! Außerdem geht die Parallelität von Linien oft verloren (d. h. Parallelen schneiden sich in Fluchtpunkten). Dies ist der allgemeine Unterschied zwischen perspektivischer und paralleler Projektion:

- Bei einer perspektivischen Projektion treffen sich die Strahlen im Augenpunkt (Projektionszentrum) und Winkel werden verändert.
- Bei der parallelen Projektion sind die Projektionsstrahlen parallel und die Winkel bleiben erhalten.

8.3.1. Perspektivische Projektion

- Vergleichbar mit einem fotografischen System.
- Entspricht der natürlichen Wahrnehmung.
- Der Abstand zwischen Objekten und Projektionsebene geht ein.
- Längenverhältnisse ändern sich.
- Winkel ändern sich.
- Parallele Geraden bleiben nicht parallel.

Das heißt perspektivische Projektionen sind im Allgemeinen keine affinen Abbildungen! Insbesondere werden vom Blickpunkt weiter entfernte Objekte kleiner dargestellt.

Ist der zu projizierende Punkt $P = (x, y)$ und der Augpunkt $A = (-x_0, 0)$ gegeben, so gilt für den Bildpunkt $B = (0, y_0)$:

$$\frac{y_0}{y} = \frac{x_0}{x + x_0}$$

Allgemein lautet mit $y_0 = yx_0/(x + x_0)$ die Abbildung wie folgt:

$$\begin{bmatrix} x \\ y \end{bmatrix} \mapsto \begin{bmatrix} 0 \\ \frac{yx_0}{x_0+x} \end{bmatrix}$$

Daraus ergibt sich die homogene (3×3) -Matrix:

$$\begin{bmatrix} 0 \\ \frac{yx_0}{x_0+x} \\ 1 \end{bmatrix} \simeq \begin{bmatrix} 0 \\ yx_0 \\ x_0+x \end{bmatrix}$$

Und somit die perspektivische Transformation:

$$\begin{bmatrix} x' \\ y' \\ 1 \end{bmatrix} = \begin{bmatrix} 0 & 0 & 0 \\ 0 & x_0 & 0 \\ 1 & 0 & x_0 \end{bmatrix} \cdot \begin{bmatrix} x \\ y \\ 1 \end{bmatrix} \simeq \frac{1}{x_0} \begin{bmatrix} x' \\ y' \\ 1 \end{bmatrix} = \begin{bmatrix} 0 & 0 & 0 \\ 0 & 1 & 0 \\ 1/x_0 & 0 & 1 \end{bmatrix} \cdot \begin{bmatrix} x \\ y \\ 1 \end{bmatrix}$$

Allgemeine perspektivische Transformation

Mit dem Fluchtpunkt in (x_0, y_0, z_0) wird eine allgemeine perspektivische Transformation beschrieben durch:

$$\begin{bmatrix} x' \\ y' \\ z' \\ w' \end{bmatrix} = \begin{bmatrix} 1 & 0 & 0 & 0 \\ 0 & 1 & 0 & 0 \\ 0 & 0 & 1 & 0 \\ 1/x_0 & 1/y_0 & 1/z_0 & 1 \end{bmatrix} \cdot \begin{bmatrix} x \\ y \\ z \\ w \end{bmatrix}$$

8.3.2. Parallele Projektion

- Ist weniger realistisch.
- Winkel ändern sich i. A. nicht.
- Parallele Geraden bleiben parallel.

8.3.3. Kanonisches Sichtvolumen

Die perspektivische Projektion wird in zwei Abbildungen zerlegt:

- Die perspektivische Transformation und
- eine anschließende Parallelprojektion.

Nach der perspektivischen Transformation ist das Sichtvolumen ein Würfel und durch eine Rotation in den Augpunkt wird erreicht, dass der Würfel achsenparallel wird:

$$\underbrace{\begin{bmatrix} 0 & 0 & 0 \\ 0 & 1 & 0 \\ 1/x_0 & 0 & 1 \end{bmatrix}}_{\text{Perspektivische Projektion}} = \underbrace{\begin{bmatrix} 0 & 0 & 0 \\ 0 & 1 & 0 \\ 0 & 0 & 1 \end{bmatrix}}_{\text{Parallelprojektion}} \cdot \underbrace{\begin{bmatrix} 1 & 0 & 0 \\ 0 & 1 & 0 \\ 1/x_0 & 0 & 1 \end{bmatrix}}_{\text{Perspektivische Transformation}}$$

Ist die Kamera im Unendlichen (Parallelprojektion), wird das Sichtvolumen ein Einheitswürfel. Bei einer perspektivischen Projektion ist das Sichtvolumen eine Pyramide, nach der perspektivischen Transformation hingegen wieder ein Würfel!

8.4. 3D-Interaktion

Bei der 3D-Interaktion ist nicht immer klar, welche Bewegung der Nutzer ausgeführt haben möchte. Ansätze hierzu sind

- Desktop,
- Multi-Window (Mehrfachauswahl),
- Direktes 2D-Maus-Mapping oder
- Manipulatoren.

8.4.1. Manipulatoren

Im Zweidimensionalen werden Manipulatoren häufig eingesetzt (Manipulatoren sind dabei zum Beispiel kleine „Rädchen“ um ein Objekt, mit welchen dieses gedreht werden kann). Auch werden z. B. Kästchen eingesetzt, mit denen skaliert und verschoben werden kann (Drag-and-Drop). Dabei sind sie im zweidimensionalen sehr einfach zu implementieren, da eine Eins-zu-Eins Abbildung der Mauszeigerposition zum Manipulator erstellt werden kann. Außerdem gibt es keine Probleme bei der perspektivischen Abbildung.

Immer häufiger werden Manipulatoren auch im Dreidimensionalen, z. B. zur Navigation der Kamera eingesetzt. Hier ist die Implementierung jedoch sehr viel schwieriger, da es unendlich viele Möglichkeiten gibt, eine Cursorposition auf einer geraden Linie im 3D-Raum abzubilden. Dennoch stellen Manipulatoren eines der besten momentan verfügbaren Werkzeuge zur 3D-Interaktion dar.

9. 3D-Visualisierung

9.1. (Gewinnung) 3D-Daten

Bei 3D-Daten werden die Messwerte dreidimensional im Raum verteilt und jeder Wert hat drei Koordinaten (x, y, z) . Dabei können die Werte gleichmäßig oder unterschiedlich verteilt sein und ein Wert kann skalar oder höherdimensional sein (z. B. ein Vektor in einem Strömungsfeld).

Terrain Zum Scannen eines Terrains wird an beliebigen Positionen (x, y) die Höhe z gemessen, wodurch sich eine 3D-Position ergibt. Oberflächeninformationen (z. B. Vegetation) können durch Satellitenbilder gewonnen werden.

Laser Scanning Beim Laser Scanning wird ein Laserstrahl auf eine Oberfläche projiziert und das rückstrahlende Licht gemessen. Aus dem Abstand zwischen Laser und Kamera kann dann die Distanz durch Triangulation berechnet werden. Dies ergibt eine unstrukturierte Punktwolke.

Range Images Aus einem Range Image $r(u, v)$ ergibt sich die Pixelinformation als 3D-Punkt $(u, v, r(u, v))$.

Medizinische Bilddaten In der Medizin werden viele bildgebende Geräte verwendet, um physikalische Eigenschaften zu messen (MRI, CT, Ultraschall, ...). Diese produzieren einen „Stapel“ von parallelen Scheiben (Slices), die jeweils einem regulären 2D-Gitter entsprechen. Ein solcher Scan produziert jedoch riesige Datenmengen!

Wetter Die Parameter des Wetters (z. B. Temperatur, Druck, Niederschlag, Windrichtung, ...) sind für bestimmte Regionen auf verschiedenen Höhen unterschiedlich und sowohl vektoriell als auch skalar. Zur Messung dieser Daten wird die Erde in viele Zellen einer bestimmten Größe (meist einige Kilometer) aufgeteilt.

9.2. Triangulation von Punktwolken

Eine unstrukturierte Punktmenge $s_i = (x_i, y_i, z_i)$ auf einer Oberflächen S wird als *Punktwolke* bezeichnet. Für einfache Oberflächen (ohne Falten) können Punkte auf eine Ebene projiziert und in 2D trianguliert werden (planare Triangulation). Dieses 2D-Netz wird dann entsprechend der z_i -Werte deformiert.

9.2.1. Ideal Triangulation

Bei einer idealen Triangulation haben alle Dreiecke die Innenwinkel $(60^\circ, 60^\circ, 60^\circ)$, d. h. die Dreiecke sind gleichschenkelig. Dies führt zu einer numerischen Stabilität und vereinfacht das Post-Processing.

9.2.2. Voronoi-Diagramm

Statt einer idealen Triangulation, die schwer zu berechnen ist, kann ein Voronoi-Diagramm eingesetzt werden. Dabei wird für jeden (in 2D projizierten) Punkt \bar{s}_i eine *Voronoi-Zelle* definiert, die alle Punkte enthält, die näher an \bar{s}_i als an allen anderen Orten (andere \bar{s}_j) liegen. Die Kante einer Voronoi-Zelle liegt dann auf den Punkten mit dem gleichen Abstand zu den zwei nächsten Orten und der Knoten einer Voronoi-Zelle auf einem Punkt, der den gleichen Abstand zu drei anderen Orten hat. Dadurch wird die 2D-Fläche „parkettiert“.

9.2.3. Delaunay-Triangulation

Durch Betrachtung des dualen Graph zu einem Voronoi-Diagramm wird eine *Delaunay-Triangulation* beschrieben (es sind jedoch mglw. Korrekturen nötig). Dabei ist ein Dreiecksnetz nur dann eine Delaunay-Triangulation, wenn alle Umkreise von allen Dreiecken leer sind, d. h. es liegt kein Ort in ihnen. Dies kann durch das „Umdrehen“ einer Kante korrigiert werden.

9.3. Indirekte Volumenvisualisierung

Eine Menge von Volumendaten enthält viele Informationen, was das Rendering verlangsamt, obwohl vieles (z. B. verdeckte) Elemente gar nicht angezeigt wird. Deshalb wird i. A. nicht das gesamte Volumen, sondern nur ein Teil angezeigt.

9.3.1. 3D-Volumen und Nachbarschaft

In einem normalen 3D-Raster wird ein Volumenelement (Würfel) als *Voxel* bezeichnet. Die Dicke eines Slices (d. h. die Breite eines Würfels) ist dabei oftmals größer als die Pixelabstände (anisotropische Volumen). Die eine Rasterposition wird dabei durch einen Index (i, j, k) beschrieben.

Ein Voxel ist dabei adjazent zu einem Referenzvoxel:

- Im Zweidimensionalen sind dies über 4 Kanten und 4 Ecken insgesamt 8 Nachbarvoxel.
- Im Dreidimensionalen sind dies über 6 Flächen, 12 Kanten und 8 Ecken insgesamt 26 Nachbarvoxel.

9.3.2. 2D: Konturlinien

Eine *Konturlinie* ist eine Linie entlang derselben Höhe, d. h. der Wert ist entlang einer Konturlinie konstant (d. h. ein Kontur-Diagramm entspricht einer Höhenkarte). Dabei ist die Ausrichtung des Gefälles orthogonal zu den Konturlinien.

9.3.3. 3D: Isoflächen

Eine Trennung zwischen verschiedenen Strukturen führt zu einer Eingrenzung von Strukturen, wodurch ebendiese Strukturen erkannt werden können. Die Voxel an einer solchen Eingrenzung bilden, wenn sie die gleiche Intensität haben, sogenannte *Isoflächen*. Eine Isofläche ist dabei eine implizite Fläche

$$i(x) = V(x) - \tau = 0$$

wobei $V(x)$ der Voxelwert und $\tau = \text{const}$ ein festgesetzter Isowert ist. Die Datenmenge wird dann aufgeteilt in innen ($i(x) > 0$) und außen ($i(x) < 0$) liegende Flächen. Die Definition eines solchen Isowerts entspricht also einem Thresholding der Daten.

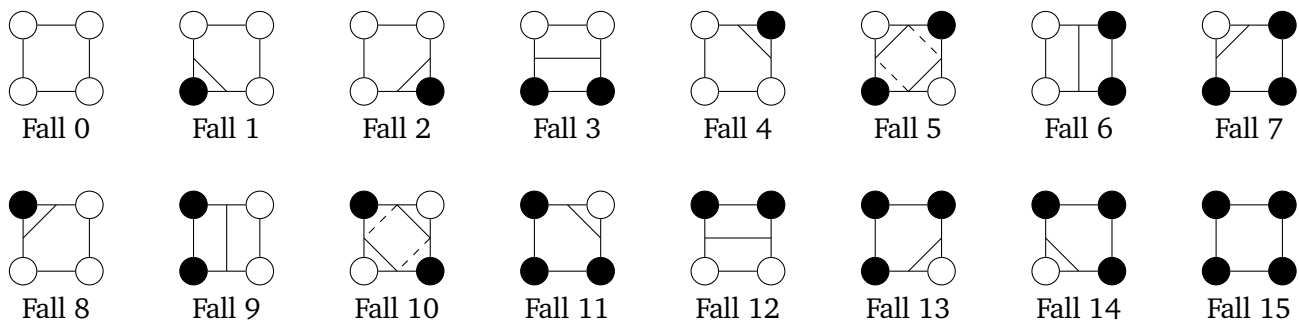


Abbildung 9.1.: Möglichkeiten zur Isolinen-Legung in den Bildzellen beim Marching Squares Algorithmus. Dabei bedeutet ein schwarzer Pixel, dass der Pixel im Zustand „Set Pixel“ ist, weiß bedeutet dementsprechend „Reset Pixel“. In den Fällen 5 und 10 ist die Legung der Linie nicht eindeutig und es kann wahlweise die gestrichelte Version oder die durchgezogene Version gewählt werden.

9.3.4. 2D: Marching Squares

Der *Marching Squares Algorithmus* versucht, gegeben einen fixen Isowert τ die Isolinie $s(x) = 0$ zu finden, um so die Fläche in innen und außen zu unterteilen. Dabei sei jede Bildzelle durch ihre vier umgebenden Pixel definiert. Danach wird jede Bildzelle abgelaufen, um sie einem der in Abbildung 9.1 aufgezeigten Fälle zuzuordnen und die Isolinie entsprechend zu ziehen. Ein Pixel hat dabei den „Set Pixel“-Zustand, wenn dieser größer oder gleich τ ist.

Werden Rotationen und Symmetrien beachtet, so reduzieren sich die Fälle auf vier Fälle.

9.3.5. 3D: Marching Cubes

Der *Marching Cubes Algorithmus* erweitert die Idee von Marching Squares auf drei Dimensionen, wobei eine Volumenzelle durch ihre acht umgebenden Voxel definiert ist. Es gibt, ohne Beachtung von Symmetrien, 256 verschiedene Kombination von „Set Pixel“ und „Reset Pixel“ Zuständen. Unter Einbeziehung von Symmetrien werden diese auf 15 Klassen reduziert.

9.3.6. Große Polygonmodelle und Performanz

Der Marching Cubes Algorithmus erzeugt sehr viele Millionen Dreiecke, was zu einem hohen Berechnungsaufwand führt. Daher muss das entstehende Mesh vor dem Rendern noch reduziert werden.

Culling von Geometrie

Eine Möglichkeit stellt das Culling von Geometrie dar, bei dem unsichtbare Polygone aus der Rendering-Pipeline entfernt werden:

- Backface-Culling: Rückseiten werden nicht gezeichnet.
- View-Frustum-Culling: Polygone, die sich ganz oder teilweise außerhalb des View-Frustums befinden, werden nicht (oder nur teilweise) gezeichnet.
- Occlusion-Culling: Polygone werden nach der Tiefe sortiert und nur gerendert, wenn sie nicht vollständig verdeckt sind (Transparenz muss beachtet werden!).

- uvm.

Meshreduktion

Bei der Meshreduktion wird die Anzahl der Polygone verringert, wobei die „Größe“ der Vereinfachung stark vom Szenario abhängt (Genauigkeit vs. Zeitbegrenzung).

Mesh-Glättung

Das Ziel der Mesh-Glättung ist die Bereitstellung einer guten Visualisierung sowie der Artefakt-Reduzierung und Entfernung von „Löchern“. Die Herausforderung hierbei ist das Volumen zu erhalten.

Laplacian Glättung:

- Es wird eine „Regenschirm“-Region betrachtet (d. h. ausgehend von einem Vertex alle durch eine Kante verbundenen Vertexe sowie deren Verbindungen).
- Anschließend werden hochfrequente Oberflächeninformationen reduziert.
- Dies sorgt für eine Reduktion von Krümmungen.

9.4. Direkte Volumenvisualisierung

Im Gegensatz zur indirekten Volumenvisualisierung, bei der zunächst eine Zwischendarstellung generiert wird und die Komplexität von der Anzahl an Polygonen abhängig ist, werden bei der direkten Volumenvisualisierung die Voxel direkt ohne Zwischendarstellung visualisiert. Dabei ist die Komplexität von der Anzahl der Voxel und der Auflösung der Anzeigefläche abhängig.

9.4.1. Density Emitter Model

- Es werden nur Emission und Absorption betrachtet.
- Jeder Voxel in der Datenmenge ist eine kleine Lichtquelle.
- Das Licht wird schwächer, wenn es durch die Volumendatenmenge wandert.
- Das Medium ist eine homogene Dichtewolke.

Dadurch wird die Bestrahlungsstärke $I(s)$ eines Voxels s beschrieben durch:

$$I(s) = I_{s_0} \cdot \exp \left\{ - \int_{s_0}^s \tau(t) dt \right\} + \int_{s_0}^s Q(\tilde{s}) \cdot \exp \left\{ - \int_{\tilde{s}}^s \tau(t) dt \right\} d\tilde{s} \quad (9.1)$$

wobei I_{s_0} die Beleuchtungsstärke des Hintergrunds und $Q(\tilde{s})$ die aktive Emission des Voxels \tilde{s} ist. Mit $t_i := \exp \left\{ - \tau(i \cdot \Delta t) \cdot \Delta t \right\}$ kann die Volumen-Rendering-Gleichung (9.1) diskretisiert werden:

$$I(s) = I_0 \prod_{k=0}^{n-1} t_k + \sum_{k=0}^{n-1} \left(Q(k \cdot \Delta s) \cdot \Delta s \prod_{j=k+1}^{n-1} t_j \right) \quad (9.2)$$

9.4.2. Volumen-Rendering-Pipeline

In der Volumen-Rendering-Pipeline gibt es drei grundlegende Schritte:

1. Abtastung (Sampling)
2. Klassifizierung und Beleuchtung
3. Komposition

welche nacheinander durchlaufen werden.

Abtastung Es werden Voxelwerte an bestimmten Orten angesammelt, wobei die Position dieser Orte durch die Abtastdistanz Δs festgelegt ist (diese sollte kleiner als die Hälfte der Rasterauflösung sein, Shannons Abtasttheorem). Dabei befinden sich die Abtastpositionen meistens zwischen den Rasterpositionen.

Anschließend werden die Werte interpoliert, bspw. mit Nearest Neighbor, Trilinear oder B-Spline Modellen.

Klassifikation und Beleuchtung Für jeden Abtastpunkt wird nun der Anteil (Farbwert) $Q_k = Q(k \cdot \Delta s)$ sowie der Abschwächungsfaktor (Transparenz) t_i bei jedem Abtastpunkt berechnet. Dadurch wird der beleuchtete Anteil berechnet, wobei Volumenabtastungen als gerichtete Lichtquellen betrachtet werden (Shading).

Komposition Die abgetasteten, klassifizierten und beleuchteten Objekte werden nun zusammengeführt (akkumuliert), wobei die Volumen-Rendering-Gleichung numerisch approximiert wird (Gleichung (9.2)). Diese Akkumulation wird in zwei Unterschritte geteilt:

1. Back-to-Front-Komposition
2. Front-to-Back-Komposition

Back-to-Front-Komposition Bei der Back-to-Front-Komposition wird mit der Abtastposition am Ende des Volumens mit der Zusammensetzung begonnen und in die Richtung des Sichtpunktes fortgefahren. Dabei wird iterativ die Farbe C_k sowie die Intensität T_k an der aktuellen Abtastposition k berechnet:

$$\begin{aligned}C_k &= Q(k \cdot \Delta s) \cdot \Delta s \\I_k &= I_{k-1} \cdot t_k + C_k\end{aligned}$$

Front-to-Back-Komposition Es wird mit der Abtastposition am Anfang des Volumens begonnen und in Richtung des Endes fortgefahren. Dabei werden iterativ Intensität I_{k-1} und Transparenz τ_{k-1} berechnet:

$$\begin{aligned}I_{n-1} &= C_{n-1} \\ \tau_{n-1} &= t_{n-1} \\ I_{k-1} &= T_k + C_k \cdot \tau_k \\ \tau_{k-1} &= t_k \cdot \tau_k\end{aligned}$$

Es müssen immer zwei akkumulierte Werte (Intensität und Transparenz) berechnet werden, um z. B. Nebel darzustellen (bei diesem sind Lichtquellen ab einem bestimmten Punkt irrelevant).

Die Zusammensetzung wird gestoppt, sobald die akkumulierte Transparenz zu klein wird (Early Ray Termination). Dadurch müssen nicht alle Positionen entlang des Strahls betrachtet werden und die Rendering-Geschwindigkeit wird erhöht. Üblicherweise ist dies durch ein Transparenz-Threshold definiert.

Transferfunktion

Die *Transferfunktion* bildet gemessene und abgetastete Werte auf optische Eigenschaften ab (der Farbwert Q durch eine Farbtransferfunktion und die Transparenz t durch eine Opazitätstransferfunktion). Dabei bilden die Voxelwerte den Definitionsbereich und die optischen Eigenschaften den Bildbereich einer eindimensionalen Transferfunktion:

$$tf_i : V \rightarrow O_i$$

Bei Grauwertabbildungen werden nur Grauwerte betrachtet und die Intensität wird gemäß den Abtastwerten zugewiesen (niedrigster Wert schwarz, höchster Wert weiß, die Werte dazwischen werden linear interpoliert). Dunklen Werten wird dabei eine geringe Opazität (Transparenz) zugewiesen.

Spezifikation:

- Es kann z. B. ein Histogramm verwendet werden.
- Die Referenzeinstellungen für Opazität und Farbe werden für eine begrenzte Anzahl von Werten im Definitionsbereich spezifiziert.
- Zwischen den Werten wird dann linear interpoliert.
- Oftmals werden Höchstwerte gewählt, um die Opazität zu erhöhen und die Farbe zu ändern.
- Meistens sind fotorealistische Renderings das Ziel.
- Den verschiedenen Strukturen werden demnach „echte“ Farben zugewiesen.
- Problem: Zwei Strukturen mit dem gleichen Grauwert haben mglw. verschiedene echte Farben.

10. Szenengraphen am Beispiel X3DOM

Zur Beschreibung einer 3D-Szene werden viele Informationen benötigt:

- Objekt-Geometrie (Säule, Ball, ...)
- Transformationen (Positionierung einer Säule, Rotation, ...)
- Materialien (Farbe, Textur, ...)
- Kameras (Ansichten, Kontrolle der Kamera, ...)
- Lichter (Art der Lichtquelle, Farben, ...)
- Spezialeffekte (Nebel, Schatten, Skyboxes, ...)
- uvm.

Dabei haben die Daten untereinander komplexe Beziehungen, z. B. verwenden verschiedene Objekte das gleiche Material, das gleiche Objekt ist an mehreren Orten instantiiert, Objekte werden gruppiert, uvm.. *Szenengraphen* strukturieren diese Informationen.

10.1. Szenengraph

Ein Szenengraph ist ein gerichteter, azyklischer Graph mit einem Wurzelknoten, der die gesamte Szene „zusammenhält“. Zum Rendering wird der Graph durchlaufen (traversiert):

- Das Durchlaufen startet an der Wurzel und jeder Kindknoten wird rekursiv abgearbeitet.
- Wurde der gesamte Graph traversiert, ist das Bild fertig (da keine Zyklen erlaubt sind, geschieht dies immer).
- Die konkreten Operationen hängen vom Typ des jeweiligen Knotens ab:
 - Gruppierungen: Ist die aktuelle Gruppe eingeschaltet, traversiere die Kindknoten. Wenn nicht, gehe zum nächsten Knoten.
 - Transformationen: Anwendung der hinterlegten Transformationsmatrix auf alle Kindknoten.
 - Objektdaten: Ein tatsächliches Objekt, welches gezeichnet wird (unter Anwendung aller vorherigen Transformationen).
- Während der Traversierung werden die verschiedenen Zustände jeweils aktualisiert.

Dieses Konzept hat viele Vorteile:

- Bereits definierte Objekte können wiederverwendet werden.
- Objektdaten sind semantisch gruppierbar.
- Die Transformationshierarchie ermöglicht die Transformation kompletter Gruppen, ohne diese explizit ändern zu müssen.

10.2. X3DOM

X3DOM ist eine deklarative Szenengraph-API auf Basis von X3D im DOM:

- Deklarativ: Der Szenengraph wird durch ein strukturiertes Textformat (z. B. XML) beschrieben.
- X3D: Szenengraph-Standard, XML-basiert, Nachfolger von VRML; Benötigt traditionell sogenannte X3D-Player.
- DOM: HTML Document Object Modell; Die Dokumenten-Baumstruktur und API in HTML/JavaScript.

X3DOM erlaubt dabei die Verwendung von X3D im DOM durch eine reine Implementierung in JavaScript (dadurch ist kein gesonderter X3D-Player nötig), wobei als Rendering-Backend z. B. WebGL verwendet wird. Bisher gibt es jedoch noch keine native Implementierung in den Browsern.

11. Informationsvisualisierung

Bei der Informationsvisualisierung werden textuelle (oder andere) Daten visuell dargestellt, da das Gehirn im Allgemeinen visuelle Informationen besser als textuelle Daten erfassen, darin Muster erkennen und diese bewerten kann.

11.1. Informationsdesign

Abbildung 11.1 zeigt das Referenzmodell von Card zum Prozess der Visualisierung von Daten bis hin zur eigentlichen Visualisierung. Gute Visualisierungen sollten dabei:

- Die Daten nicht verzerren und Informationen beibehalten.
- Typische Fehler vermeiden:
 - Falsche/irreführende Skalierung
 - Verzerrung, Größenverhältnisse, Farben
 - Zu volle Darstellung
 - Keine Legende

11.2. Datentypen

11.2.1. 1D-Daten, Zeitreihen

- 1D-Daten haben nur eine Spalte mit Datenwerten (z. B. Datenwerte über Objekte oder Verteilungen).
- Zeitreihen sind dabei spezielle 1D-Daten, da jeweils ein Wert einer Zeit zugeordnet wird.

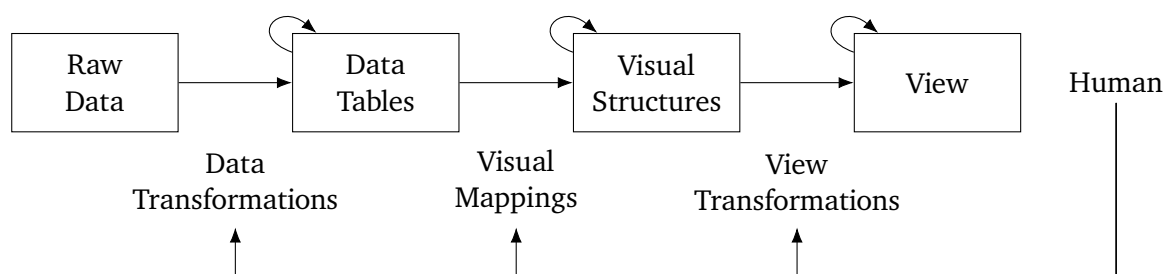


Abbildung 11.1.: Referenzmodell von Card

11.2.2. 2D-Daten

- Zwei Spalten mit Datenwerten, z. B. mehrere Datenwerte über Objekte.

11.2.3. mD-Daten (multidimensional)

- Daten mit drei oder mehr Spalten.
- Auch „multivariate Daten“ genannt.
- Zum Beispiel Befragungsdaten, Objektbeschreibungen, ...

11.2.4. Hierarchien

- Hierarchien sind ein natürlicher Weg, Daten zu strukturieren, bspw. Dateisystem, Unternehmensstruktur,

11.2.5. Graphen/Netzwerke

- Graphen sind (nicht zwangsweise gerichtete) Beziehungen zwischen einzelnen Knoten.

11.3. Kuchendiagramm (1D)

- Ein Kuchendiagramm ist beliebt für Anteildaten.
- Werte werden als Größe abgebildet.
- Objekte als Farben.
- Problem: Kleine Wertunterschiede sind schlecht sichtbar.

11.4. Balkendiagramm (1D)

- Werte werden als Größe abgebildet.
- Gut geeignet, um Werte zu vergleichen und abzubilden.

11.5. Liniendiagramm (Zeitreihe)

- Gut zur Visualisierung zeitbezogener Daten.
- Werte werden auf die y -Positionen abgebildet und mit Linien verbunden.
- Problem: Viele Zeitreihen
 - Bei vielen Daten ist nicht mehr erkennbar, wo welche Linie entlang geht.
 - Lösung: Wertfilter (nur bestimmte Linien anzeigen).
- Problem: Länge bei langen Zeitreihen

11.6. Scatterplot (2D, 3D)

- Daten werden abgebildet auf x/y -Positionen, Größe, Farbe, ...
- Es können also viele Dimensionen abgebildet werden.
- Ein Scatterplot ist intuitiv und leicht lesbar.
- Problem: Overplotting; Es überschneiden sich zu viele Punkte.

11.7. Scatterplotmatrix (nD)

- Alle Paare der Datenspalten werden jeweils einem Scatterplot zugeordnet (was eine Matrix an Scatterplots bildet).
- Dies ist gut für paarweise Korrelationen und Abhängigkeiten.
- Sehr beliebt.
- Probleme:
 - Viele Dimensionen sind unübersichtlich.
 - Limitierter Platz für jeden einzelnen Scatterplot.
 - Nur paarweise Abhängigkeiten sichtbar.

11.8. Parallele Koordinaten (3D, nD)

- Die Koordinatenachsen der jeweiligen Eigenschaften werden parallel zueinander angeordnet.
- Aus einem Punkt im Scatterplot wird dann eine Linie in parallelen Koordinaten.
- Dadurch sind Abhängigkeiten über mehrere Dimensionen erkennbar.
- Die Achsenanordnung ist wichtig! Schneiden sich an einer Achse zwei oder mehr Linien, so können diese danach nicht mehr unterschieden werden. Dies kann durch Umsortierung gelöst werden.
- Problem: Overplotting
 - Zu viele Linien sind unübersichtlich.
 - Lösung: Filter
- Problem: Viele Dimensionen; Bei vielen Dimensionen wird der Plot zu lang.

11.9. Node-Link-Diagramm (Hierarchien, Graphen)

- Jeder Datenpunkt wird ein Knoten.
- Jede Eltern-Kind-Beziehung wird durch eine Kante dargestellt.
- Dabei ist die Position der Knoten wichtig.

- Problem: Layout
 - Kanten sollten sich möglichst wenig überschneiden.
 - Bei Hierarchien sollten Elemente einer Ebene auf einer Ebene dargestellt werden.
 - Begrenzter Platz und Lesbarkeit.
- Problem: Viele Knoten; Große Hierarchien/Graphen machen den Graph unübersichtlich.

11.10. Treemap (Hierarchien)

- Ein Kasten mit einer fixen Größe wird rekursiv aufgeteilt:
 - Beginnend mit der Wurzel.
 - Der Kasten wird anhand der Teilbaumgröße geteilt.
 - Es wird zwischen horizontaler und vertikaler Aufteilung iteriert.
- Problem: Überlappung; Eine Überlappung der Elemente führt zu schlechter Lesbarkeit.
- Problem: Größendarstellung; Der Vergleich der Größen von Rechtecken mit unterschiedlichen Dimensionen ist schwierig.

11.11. Zusammenfassung

Datentyp	Visualisierungstechniken
1D	Balkendiagramm, Kuchendiagramm
Zeitreihe	Liniendiagramm
2D	Scatterplot
3D	Scatterplot+, Parallele Koordinaten
nD, wenig Dimensionen	Scatterplotmatrix, Parallele Koordinaten
Hierarchien	Node-Link-Diagramm, Treemap
Graphen/Netzwerke	Node-Link-Diagramm

12. Farbe

Farbe ist ein wichtiger Bestandteil bei der Aufnahme, Verarbeitung, Kommunikation und Reproduktion von Bildern. Um Empfindungen aufzunehmen, zu verarbeiten und zu reproduzieren wird ein gutes Modell des menschlichen visuellen Systems, von Aufnahmegeräten und Wiedergabegeräten benötigt. Außerdem werden Algorithmen zur Transformation von Wahrnehmungskorrelaten in Ansteuerungswerte von Wiedergabegeräten, und zur Transformation der Geräteantworten in Wahrnehmungskorrelate, benötigt.

12.1. Dimensionalität und Farbattribute

Die Farbwahrnehmung hat dabei fünf Dimensionen:

- Helligkeit (Brightness)
Attribut der Farbwahrnehmung, nach dem eine Fläche mehr oder weniger Licht auszustrahlen scheint.
- Relative Helligkeit (Lightness)
Die Helligkeit einer Fläche relativ zur Helligkeit einer gleich beleuchteten Fläche, die weiß erscheint (nur für bezogene Farben).
- Farbton (Hue)
Attribut, nach dem eine Fläche gleich Rot, Gelb, Grün oder Blau oder einer Kombination von zwei von ihnen erscheint. Eine *achromatische Farbe* ist eine wahrgenommene Farbe ohne Farbton (z. B. Schwarz oder Weiß).
- Farbigkeit (Colorfulness)
Attribut, nach dem eine Fläche mehr oder weniger farbig empfunden wird.
- Buntheit (Chroma)
Farbigkeit einer Fläche relativ zur Helligkeit einer gleich beleuchteten Fläche, die weiß erscheint (nur für bezogene Farben).

Die Sättigung kann durch Helligkeit und Farbigkeit beschrieben werden:

$$\text{Sättigung} = \frac{\text{Farbigkeit}}{\text{Helligkeit}} = \frac{\text{Buntheit}}{\text{Relative Helligkeit}}$$

Eine *bezogene Farbe* wird dabei in Bezug zu anderen Farben wahrgenommen, *unbezogene Farben* werden isoliert wahrgenommen.

Buntheit und relative Helligkeit können wie folgt berechnet werden:

$$\text{Buntheit} = \frac{\text{Farbigkeit}}{\text{Helligkeit von Weiß}} \qquad \text{Relative Helligkeit} = \frac{\text{Helligkeit}}{\text{Helligkeit von Weiß}}$$

12.2. Berechnung von Farbattributen

12.2.1. Das Auge

12.2.2. Spektrale Charakterisierung des Auges

Das Auge lässt sich durch

$$y_i = \int_{\Lambda} x(\lambda) s_i(\lambda) d\lambda, \quad i = 1, 2, \dots$$

mit der i -ten Farbfrequenz y_i , dem Farbreiz $x(\lambda)$, der i -ten Spektralempfindlichkeit $s_i(\lambda)$ und dem Sensitivitätsbereich $\Lambda = [380 \text{ nm}, 730 \text{ nm}]$ modellieren.

Wird angenommen, dass es nur drei Fotorezeptoren gibt und das Auge ein lineares System ist, so kann das Modell mit

$$\mathbf{y} = \mathbf{S}\mathbf{x}$$

diskretisiert werden (mit dem 3-dimensionalen Farbvalenzvektor \mathbf{y} , dem N -dimensionalen Farbreizvektor \mathbf{x} und der $(3 \times N)$ -dimensionalen Systemmatrix \mathbf{S}).

Die Systemmatrix \mathbf{S} kann dabei z. B. durch ein Farbabgleichsexperiment gewonnen werden. Dabei sollen Probanden das Licht dreier linear unabhängiger Lichtquellen $\mathbf{p}_1, \mathbf{p}_2, \mathbf{p}_3 \in \mathbb{R}^N$ durch Verstellung der Intensität $\mathbf{a}_1, \mathbf{a}_2, \mathbf{a}_3 \in \mathbb{R}$ mit einer Testlichtquelle $\mathbf{f} \in \mathbb{R}^N = \text{const}$ abgleichen. Dieser Zusammenhang wird durch

$$\mathbf{S}\mathbf{f} = \mathbf{S}\mathbf{P}\mathbf{a}$$

beschrieben, wobei $\mathbf{P} = [\mathbf{p}_1 \quad \mathbf{p}_2 \quad \mathbf{p}_3]$ und $\mathbf{a} = [a_1 \quad a_2 \quad a_3]^T$ gelte. Ein Abgleich mit N monochromatischen Lichtquellen $\mathbf{f} = \mathbf{e}_i, i = 1, \dots, N$ und abspeichern aller Einstellungen $\mathbf{a}^i = [a_1^i \quad a_2^i \quad a_3^i]^T$ resultiert mit einer Matrix $\mathbf{A} = [\mathbf{a}^1 \quad \dots \quad \mathbf{a}^N]$ in der Gleichung

$$\mathbf{S}\mathbf{I}_N = \mathbf{S} = \mathbf{S}\mathbf{P}\mathbf{A} \quad \Longleftrightarrow \quad \mathbf{A} = (\mathbf{S}\mathbf{P})^{-1}\mathbf{S}$$

wobei \mathbf{A} die *Spektralwertmatrix* für die Primärlichtarten \mathbf{P} ist. Dadurch kann die Matrix \mathbf{S} bestimmt werden.

12.2.3. Spektralwertfunktion

Erscheinen zwei Farbreize g, f gleich, so gilt:

$$\mathbf{S}\mathbf{g} = \mathbf{S}\mathbf{f} \quad \Longleftrightarrow \quad (\mathbf{S}\mathbf{P})^{-1}\mathbf{S}\mathbf{g} = (\mathbf{S}\mathbf{P})^{-1}\mathbf{S}\mathbf{f} \quad \Longleftrightarrow \quad \mathbf{A}\mathbf{g} = \mathbf{A}\mathbf{f}$$

Die Zeilen von \mathbf{A} heißen *Spektralwertfunktionen* (Color Matching Functions, CMF). Durch die Multiplikation mit einer regulären (3×3) -Matrix werden neue CMFs erzeugt: $\mathbf{B} = \mathbf{M}\mathbf{A}$.

Hilfreiche Eigenschaften von CMFs sind:

- Die Funktionen sind positiv.
- Eine CMF ist die Helligkeitsempfindlichkeitsfunktion $V(\lambda)$.
- Viele Nullen (dadurch einfache Berechnungen).

12.2.4. Cone Fundamentals

Cone Fundamentals sind die spektralen Empfindlichkeiten der Zapfen multipliziert mit der Transmission der Augenoptik.

12.3. Objektfarben, Lichtmatrix und CIEXYZ-Farbraum

Für eine Spektralwertmatrix A wird die reflektionsbasierte Farbvalenz y wie folgt berechnet:

$$y = \underbrace{A \text{diag}(l)}_{L:=} r = Lr$$

Dabei ist

- $l \in \mathbb{R}^N$: Spektrale Dichteverteilung der Lichtart.
- $r \in \mathbb{R}^N$: Reflektionsspektrum

Die Matrix L wird *Lichtmatrix* genannt.

Die CIEXYZ-Farbkoordinaten (Farbvalenzen) sind definiert als

$$\begin{bmatrix} X \\ Y \\ Z \end{bmatrix} = \frac{100}{y^T l} Lr$$

wobei $L = [\bar{x} \quad \bar{y} \quad \bar{z}]^T$ die Lichtmatrix und r das Reflektionszentrum ist. Diese Farbwerte heißen *Normfarbwerte*.

12.3.1. Das CIE Chromaticity Diagramm

Chromaticity-Koordinaten sind gegeben durch:

$$x = \frac{X}{X + Y + Z} \quad y = \frac{Y}{X + Y + Z} \quad z = \frac{Z}{X + Y + Z}$$

Die x - y -Koordinaten der monochromatischen Farbreize erzeugen dabei die Spektralfarblinie. Die restlichen x - y -Chromaticity-Koordinaten mit einer additiven Mischung aus Farbreizen liegen alle innerhalb der konvexen Hülle der Chromaticity-Koordinaten der monochromatischen Farbreize (d. h. der Spektralfarblinie).

Der CIEXYZ-Farbraum ist dabei nicht wahrnehmungsgleichabständig, d. h. der wahrgenommene Farbabstand $\Delta V(q, p)$ ist nicht immer gleich dem Abstand im CIEXYZ-Farbraum:

$$\exists q, p \in \text{CIEXYZ} : (\Delta V(q, p) \neq \|q - p\|_2)$$

Außerdem modelliert das CIEXYZ-Modell nur die erste Phase des Farbsehens und erlaubt keinen einfachen Zugriff auf Farbattribute.

12.4. Metamerie

- Metamerie:
Zwei Farbreize $g \neq f$ heißen *Metamere*, wenn $Ag = Af$ gilt.
- Beleuchtungsmetamerie:
Zwei Reflektionsspektren $r_1 \neq r_2$ heißen *metamere Reflektionsspektren* unter der Lichtart l , wenn $Lr_1 = Lr_2$ gilt.

- Beobachtermetamerie:

Zwei Farbreize $g \neq f$ erzeugen bei gleichen Betrachtungsbedingungen für eine Person die gleichen, für eine andere Person unterschiedliche Farbvalenzen, d. h. $A_1 g = A_1 f$, aber $A_2 g \neq A_2 f$, wobei A_i die Spektralwertmatrix für Person i ist.

- Einflussfaktoren sind z. B. die Dichte der Linse, verursacht durch Alter, Ernährung, Ethnie, Rauchen, ...
- Außerdem variiert die maximale spektrale Empfindlichkeit zwischen Personen (um bis zu 9 nm).

12.5. Gegenfarbtheorie

Nach der Gegenfarbtheorie sind die Gegenfarben gegeben durch

$$\begin{bmatrix} L \\ M \\ S \end{bmatrix} = \begin{bmatrix} l^T \\ m^T \\ s^T \end{bmatrix} f$$

wobei l, m, s die Cone Fundamentals darstellen und f ein Farbreiz ist.

12.6. Stevenssche Potenzfunktion

Die *Stevenssche Potenzfunktion*

$$\psi = k(I - I_0)^n$$

beschreibt die Beziehung der Reizstärke zur Empfindungsstärke, wobei:

- ψ : Wahrnehmungskorrelation
- I : Reiz
- I_0 : Letzter gerade noch wahrnehmbarer Reiz
- k : Anpassbare Verstärkung
- n : Anpassbarer Exponent

12.7. CIELAB Farbraum

Zur Umwandlung vom CIEXYZ-Farbraum in den CIELAB-Farbraum sind folgende Eingabedaten nötig:

- XYZ-Farbvalenz: (X, Y, Z)
- XYZ-Farbvalenz des Weißpunkts: (X_n, Y_n, Z_n)

Für die Umrechnung gilt dann:

$$\begin{aligned} L^* &= 116f(Y/Y_n) - 16 \\ a^* &= 500(f(X/X_n) - f(Y/Y_n)) \\ b^* &= 200(f(Y/Y_n) - f(Z/Z_n)) \\ f(\omega) &= \begin{cases} \sqrt[3]{\omega} & \omega > 0.008856 \\ 7.787\omega + 16/116 & \omega \leq 0.008856 \end{cases} \end{aligned}$$

wobei L^* die relative Helligkeit, a^* die Rot-Grün Komponente und b^* die Blau-Gelb Komponente darstellt.
Eigenschaften des CIELAB-Farbraums:

- Gegenfarbraum
- Es werden Nichtlinearitäten des visuellen Systems modelliert.
- Nahezu wahrnehmungsgleichabständig, d. h. $\forall \mathbf{q}, \mathbf{p} \in \text{CIELAB} : (\Delta V(\mathbf{q}, \mathbf{p}) \approx \|\mathbf{q} - \mathbf{p}\|_2)$.

Durch die zylindrische Darstellung des CIELAB-Farbraums lässt sich der LCh-Farbraum ableiten mit der Buntheit $C_{ab}^* = \sqrt{(a^*)^2 + (b^*)^2}$ und dem Farbton $h_{ab} = \arctan(b^*/a^*)$.

12.8. Technische Farbräume

12.8.1. Geräte RGB

Bestimmte Geräte verwenden meist eigene RGB-Standards.

12.8.2. Geräteunabhängige RGB

Zum Beispiel sRGB und Adobe RGB.

12.8.3. YCbCr

Der YCbCr-Farbraum ist ein Gegenfarbraum mit

- Y : Luminanz
- C_b : Blau-Gelb
- C_r : Rot-Grün

und kann als lineare Transformation über den RGB-Farbraum definiert werden. Wird bspw. in JPEGs eingesetzt.

12.8.4. HSI/HSV/HSL

Der HSI/HSV/HSL-Farbraum wird definiert durch

- H : Hue (Farbton)
- S : Saturation (Sättigung)
- $I/V/L$: Intensity/Value/Lightness (Helligkeit)

und wird bspw. zur intuitiven Farbauswahl in Grafikprogrammen oder zum Thresholding eingesetzt.

12.8.5. CMY/CMYK

Der CMY/CMYK-Farbraum wird definiert durch

- C : Cyan
- M : Magenta
- Y : Yellow (Gelb)
- K : Black (Schwarz)

und wird bspw. für die Ansteuerungswerte zur Tintenauswahl bei Druckern verwendet.

12.9. Komplexität von Farbe

12.9.1. Chromatische Adaptation

Chromatische Adaption beschreibt die weitgehend unabhängige Regulierung der Mechanismen beim Farbsehen. Häufig wird z. B. die unabhängig Anpassung der Zapfenempfindlichkeit an den dominanten Farbreiz der Umgebung betrachtet.

Von-Kries-Modell

Unter den Hypothesen

1. Jeder Zapfen wird individuell adaptiert.
2. Lineare Transformation.

wird das *Von-Kries-Modell* der Adaption formuliert:

$$\begin{bmatrix} X_2 \\ Y_2 \\ Z_2 \end{bmatrix} = K^{-1} \begin{bmatrix} L_{w,2}/L_{w,1} & 0 & 0 \\ 0 & M_{w,2}/M_{w,1} & 0 \\ 0 & 0 & S_{w,2}/S_{w,1} \end{bmatrix} K \begin{bmatrix} X_1 \\ Y_1 \\ Z_1 \end{bmatrix}$$

wobei $L_{w,1}, M_{w,1}, S_{w,1}$ die Zapfenantwort bei Lichtart l_1 und $L_{w,2}, M_{w,2}, S_{w,2}$ die Zapfenantwort bei Lichtart l_2 ist sowie:

$$\begin{bmatrix} L \\ M \\ S \end{bmatrix} = \underbrace{\begin{bmatrix} 0.3897 & 0.6890 & -0.0787 \\ -0.2298 & 1.1834 & 0.0464 \\ 0.0000 & 0.0000 & 1.0000 \end{bmatrix}}_{K:=} \begin{bmatrix} X \\ Y \\ Z \end{bmatrix} = K \begin{bmatrix} X \\ Y \\ Z \end{bmatrix}$$

Dieses Modell weist jedoch kleine Fehler von der tatsächlichen Adaption ab, primär da die Zapfenregulierung nicht der einzige Mechanismus der Adaption ist. Eine Optimierung der Matrix K kann führt aber zu spitzeren Zapfenantworten und besserer Vorhersagegenauigkeit.

12.9.2. Farbwahrnehmungsphänomene

Simultankontrast

Der Hintergrund, auf dem eine Farbe wahrgenommen wird, beeinflusst die wahrgenommene Farbe. Dabei folgt die Farbverschiebung der Gegenfarbtheorie:

- Ein heller Hintergrund induziert dunklere Farbe und umgekehrt.
- Rot induziert Grün und Grün induziert Rot.
- Blau induziert Gelb und Gelb induziert Blau.

Crispening Effekt

Der wahrgenommene Farbunterschied zweier Farbreize wird durch einen ähnlichen Hintergrund vergrößert.

Stevens Effekt

Bei steigender Leuchtdichte sehen dunkle Farben dunkler und helle Farben heller aus.

Hunt Effekt

Die Farbigkeit steigt mit der Leuchtdichte.

12.9.3. Farbwahrnehmungsmodelle

Da gleiche Farbreize unterschiedlichen Farben entsprechen können, werden akkurate Farbwahrnehmungsmodelle benötigt, um die Farbreize für den Farbabgleich bei unterschiedlichen Betrachtungsbedingungen anzupassen.

CIECAM02

Das *CIECAM02-Farbwahrnehmungsmodell* ist ein invertierbares Modell, welches eine vorhersage über den empfundenen Farbabstand zulässt. Dabei gibt es von den Betrachtungsbedingungen abhängige Nichtlinearitäten zur Relation der Leuchtdichte mit der (relativen) Helligkeit.

Vorgehen zur Farbanpassung:

1. Berechnung der Farbattribute mit dem CIECAM02-Modell für die erste Betrachtungsbedingung.
2. Berechnung der CIEXYZ-Werte mit dem inversen CIECAM02-Modell für die zweite Betrachtungsbedingung.

12.9.4. Kontrastsensitivität

Die achromatische Kontrastsensitivität ist größer bei höheren Ortsfrequenzen.

Aufgrund der Kontrastsensitivität sind zusätzlich zu Farbwahrnehmungsmodellen auch Bildwahrnehmungsmodelle nötig. Beispiele sind:

- S-CIELAB (Spacial-CIELAB)
- iCAM (Image Color Appearance Model)

13. User Interfaces

13.1. Interaktion

13.1.1. Möglichkeiten

Es gibt viele verschiedene Möglichkeiten zur Interaktion:

- Kommandozeile
- Menüs
- Formulare
- Fragen und Antworten
- Direkte Manipulation
- 3D-Umgebung
- Natürliche Sprache
- Gesten

Kommandozeile

- Schnell und mächtig.
- Viele Befehle sind Abkürzungen und meistens schnell und sehr effizient.
- Befehle können gleichzeitig auf mehrere Objekte angewandt werden.
- Einige Befehle haben viele Parameter, die präzise und flexibel eingesetzt werden können.

Menüs

- Menübasierte Interfaces konfrontieren den Nutzer mit sequentiellen, hierarchischen Menüs, die Listen von Funktionen enthalten.
- Die Bedienung erfolgt per Maus oder Pfeiltasten zur Funktionswahl (alternativ Nummerntasten und weitere Tastenkürzel).
- Vorteile:
 - Es müssen keine Befehle auswendig gelernt werden.
 - Es werden alle Optionen angezeigt.
 - Die Liste ist beschränkt.
 - Geeignet für kleine Bildschirme.

Formulare

- Ähnlich zu Menüs werden Informationen Bildschirmweise angezeigt.
- Im Gegensatz zu Menüs werden die Informationen linear verarbeitet, d. h. es gibt keine Hierarchie.
- Die Nutzer müssen verstehen, welche Daten in welchem Format benötigt werden.

Fragen und Antworten

- Fragen und Antwort Verfahren werden auch „Wizards“ genannt.
- Sie schränken Experten ein, sind aber leicht verständlich für Anfänger.
- Eventuell bieten sie jedoch nicht die benötigten Informationen.

Direkte Manipulation

- Objekte und Aktionen sollten mit passenden visuellen Metaphern (Diskette zum Speichern, Sanduhr zum Warten, ...) dargestellt werden.
- Die Ausführung von Aktionen geschieht durch „physische“ Aktionen wie das Drücken von Knöpfen.

3D-Umgebungen

- 3D-Interaktionen sind in der Realität natürlich und auch in Spielen oft anzutreffen.
- Jedoch benötigen komplexe 3D-Umgebungen viel Rechenleistung.
- Heutige GUIs sind größtenteils 2D.
- 3D-Umgebungen sind schwer zu bedienen (3D-Interaktion).

Natürliche Sprache

Natürliche (Alltags-) Sprache zur Interaktion wird häufig in der Science Fiction verwendet. Aktuelle Problematiken dabei sind:

- Mehrdeutigkeit
- Kontextabhängigkeit
- Abhängigkeit von visuellen Informationen

Dabei gibt es zwei zentrale Forschungsgebiete: Spracherkennung und Semantik.

Gesten

Zur Gestenerkennung und -interaktion werden Bewegungen (Zeigen, Wischen, ...) aufgezeichnet, detektiert und mit Funktionen assoziiert.

13.1.2. Designprozess

Der Prozess des Interaktionsdesigns ist ein iterativer Prozess, wobei nach einem Schritt vorwärts auch mal zurück gegangen werden muss, der „Pfad des Wissens“ sich jedoch konstant vorwärts bewegt.

Das Ziel von *User Centered Design* (UCD) ist es, ein Framework zu entwickeln, das Interaktionsdesignern ermöglicht, besser nutzbare Systeme zu entwickeln. Das Fundament des UCD liegt dabei auf dem frühen Fokus auf Nutzer und deren Aufgaben, eine andauernde Bewertung bezogen auf Erlernbarkeit und Benutzbarkeit und ein iteratives Design.

Siehe hierzu auch Software Engineering Zusammenfassung.

Wasserfallmodell

Bei dem Wasserfallmodell wird zunächst alles entwickelt und anschließend bewertet. Dies ist nicht benutzerzentrisch und nur für kleine Projekte sinnvoll.

Spiralmodell

Das Spiralmodell ist

- Flexibler
- Fokussiert auf Risikominimierung
- Ermutigt zu Iterationen
- Beginnt mit Vorschlägen von Werten
- Das Projekt wird in Unterprojekte zerlegt, konkrete Risiken werden identifiziert.

V-Modell

Bei dem Spiralmodell wird der Entwicklungsprozess aus technischer Sicht beschrieben und Prozesse werden als Folge von Aktivitäten modelliert, die „Produkte“ erstellen oder „Produkte“ verarbeiten. Produkte sind dabei sämtliche Ergebnisse einer Aktivität.

Dynamic Systems Development Method (DSDM)

- Zeitfenster und Ressourcen sind fest.
- Funktionale Anforderungen sind flexibel.
- Drei Schritte:
 - Pro-Projekt, Machbarkeitsstudie und BWL-Phasen
 - Iterationen zwischen der funktionalen Modelliteration, Design- und Builditeration und Implementierungsphase
 - Post-Projekt-Phase

Design Process Model

- Die Designphase besteht aus zwei Teilen:
 - Konzeptuelles Design: Evaluierung der Möglichkeiten, mit denen das Design den Problemen begegnen kann.
 - Physisches Design: Evaluierung der Möglichkeiten, das konzeptuelle Design umzusetzen.
- Evaluationsfragen:
 - Wie können die relativen Vorzüge eines Designs gegenüber einem anderen bestimmt werden?
 - Wie kann der Erfolg eines Designs gemessen werden?
 - Wie können echte Nutzer dazu gebracht werden, Feedback zum Design zu geben?
 - Wie können Usability-Tests im frühen Designprozess untergebracht werden?
- Dies wird durch die Ergebnisse von formellem und informellem Usability-Testing dokumentiert.

13.2. GUI: Benutzeroberflächen

13.2.1. Das WIMP-Interface

Das *WIMP-Interface* bestehen aus

- Windows (Fenstern)
- Icons
- Menus (Menüs)
- Pointers (Mauszeiger)

Fenster-Komponenten

Die meisten Fenster-Systeme verwenden Standardfenster, die ähnlich aussehen und sich ähnlich verhalten.

Multiple Document Interface (MDI) Alle geöffneten Dokumente werden in einem Hauptfenster angezeigt.

Single Document Interface (SDI) Für jedes Dokument wird ein neues Hauptfenster geöffnet.

Tabbed Document Interface (TDI) Mehrere Dokumente werden in einem Hauptfenster geöffnet und als Tabs dargestellt (diese Tabs können entweder in Vollbild, also nicht überlappend, dargestellt werden, oder verschiebbar sein).

Dialogboxen

Dialogboxen stellen Platz für untergeordnete Funktionalitäten bereit, bspw.:

- Setzen und Verändern von Objekteigenschaften
- Funktionen ausführen (z. B. Speichern mit Zusatzfunktionen)
- Prozesse ausführen (z. B. Kopieren mit Fortschrittsanzeige)
- Aktionen bestätigen
- Den Benutzer informieren (meistens über Fehler...)

Checkboxen Checkboxen repräsentieren binäre Sachverhalte („Ja“/„Nein“, „An“/„Aus“, ...).

Radio Buttons Radio Buttons verhalten sich ähnlich wie Checkboxen, innerhalb einer *Gruppe* kann aber jeweils nur eine Radio Box ausgewählt werden.

Listboxen Listboxen repräsentieren eindimensionale Datenmengen, d. h. die Einträge verzweigen nicht weiter. In der Regel kann festgelegt werden, ob nur ein oder mehrere Elemente selektierbar sind.

Comboboxen Comboboxen verhalten sich wie Listboxen, die Liste ist aber nur bei Bedarf sichtbar (Drop-Down).

Spinner Spinner enthalten eine beschränkte Liste an Werten, z. B. Zahlen. Hier ist die Inkrementierung/De-krementierung über Pfeile möglich.

Slider Slider sind Kalibrierungswerkzeuge, bei denen die Wertemenge links und rechts beschränkt ist.

Weiteres

- Toolbars
- Scrollbars
- Splitter
- Textboxen
- Buttons

13.2.2. Menübasierte Programme

Menübasierte Programme sind z. B. Fahrkartenautomaten.

Untermenüs

Ein Menü kann weitere Untermenüs enthalten, um zusammengehörige Optionen zu gruppieren.

Auswahl

Durch einen geschickten Menüaufbau sind Verzweigungen (if-then-else-, case-Strukturen) umsetzbar, die sich auch verschachteln lassen

Modularisierung

Da ein menübasiertes Programm viele Funktionen ausführen kann, sollte es in Module aufgeteilt werden, wobei für jeden ausführbaren Fall ein Modul existieren sollte.

13.2.3. GUI-Anwendungen und Event-basiertes Programmieren

Graphical User Interfaces (GUIs)

Bei der Erstellung eines GUI-Programmes bleiben die meisten Schnittstellen gleich, es müssen jedoch zusätzlich GUI-Elemente gestaltet werden. Dies beinhaltet den Verlauf von Fenster zu Fenster. Mit neueren Sprachen ist die Erstellung von GUI-Programmen sehr einfach geworden.

Event-Handler

Event-Handler reagieren auf Ereignisse, die durch Interaktion mit der GUI ausgelöst wurden (z. B. das Klicken auf einen Button). Im Gegensatz zu prozeduraler Programmierung wird der Code dann nicht mehr in prozeduraler Reihenfolge ausgeführt, sondern genau dann, wenn der Nutzer mit der GUI interagiert.

13.3. 3D-Interaktion

3D-Interaktionen sind sehr viel komplizierter als 2D-Interaktionen, da die gewünschte Aktionen mehrdeutig sind (siehe auch Abschnitt 8.4).

14. Multimedia Information Retrieval

Musik, Bilder, 3D-Modellen, Videos, ... haben einen riesigen Informationsgehalt, der klassischerweise über textuelle Annotationen erschlossen wird. Jedoch beinhalten automatisch erzeugte Annotationen meistens nur syntaktische Informationen (Dateigröße, Pixelanzahl, Dauer, Bildrate, ...) und keine semantischen Annotationen (Aussehen, Funktion, Stil, Genre, ...), welche manuell annotiert werden müssen. Dazu kommt das Problem, dass Sprache i. A. ungenau ist.

14.1. Inhaltsbasierte Suche

Bei der inhaltsbasierten Suche wird versucht, Eigenschaften abzuleiten, die die Dokumente sinnvoll beschreiben. Dabei werden mathematische Deskriptoren aus dem Inhalt des Dokuments berechnet. Ein Distanzmaß über diese Deskriptoren erlaubt einen inhaltlichen Vergleich.

Die Wahl eines Deskriptors sollte dabei abhängen von Problemstellung, Semantik der Objekte und den verfügbaren Daten sein.

14.1.1. Distanzmaße

Ein Distanzmaß soll die Ähnlichkeit der Featurevektoren von Dokumenten messen. Typische Distanzmaße (euklidische Distanz, City-Block) sind dabei Metriken.

Sei S die Menge an Features. Dann ist eine Funktion $d : S \times S \rightarrow \mathbb{R}$ genau dann, wenn gilt:

1. $d(x, y) \geq 0$ (Nicht-Negativität)
2. $d(x, y) = 0 \iff x = y$ (Definitheit)
3. $d(x, y) = d(y, x)$ (Symmetrie)
4. $d(x, y) \leq d(x, z) + d(z, y)$ (Dreiecksungleichung)

Eine Funktion ist eine Semi-Metrik, wenn nur 1, 2 und 3 erfüllt sind und eine Pseudo-Metrik, wenn nur 1, 4 und 3 erfüllt sind. Dabei entsprechen Symmetrie und die Dreiecksungleichung nicht (immer) der menschlichen Wahrnehmung.

14.1.2. Query-Modalitäten

Text

Query-by-Text arbeitet (meistens) auf manuell annotierten Metadaten, die als Zeichenfolge dargestellt sind. Der „Text“ kann auch sprachlich eingegeben werden, wobei hier zunächst die einzelnen Wörter erkannt werden müssen (aber nur syntaktisch, nicht semantisch!).

Example

Bei Query-by-Example wird ein Beispielobjekt vorgegeben und es werden ähnliche Objekte gesucht (z. B. über k-Nearest-Neighbors)).

Sketch

Bei Query-by-Sketch ist kein Beispielbild erforderlich, sondern der Nutzer hat nur eine Idee, was er sucht. Diese Idee stellt er durch eine Skizze (Sketch) dar.

Problem: Die zeichnerischen Fähigkeiten haben großen Einfluss auf den (Miss-) Erfolg.

14.2. Explorative Suche

Im Vergleich zum Querying (Retrieval) werden bei der explorativen Suche keine konkreten Suchanforderungen gestellt, d. h. es sollten „interessante“ Objekte gefunden werden.

A. Übliche Fragen

A.1. Einführung

Was sind zwei Anwendungen des 3D-Internets?

Antwort 3D-Navigation, Modellbildung, Spiele, Visualisierung von Produkten, Exploration von Orten, Training, ...

Was sind zwei Probleme des klassischen 3D-Laser-Scannens?

Antwort Sehr zeitaufwendig, Oft ist Expertenwissen erforderlich, Massendigitalisierung ist nicht trivial umsetzbar

Was ist der Unterschied zwischen Object Detection und Object Tracking? Wieso werden beide häufig in Kombination verwendet?

Antwort Bei Object Detection wird ein Objekt auf einem Standbild erkannt, bei Object Tracking wird dieses innerhalb eines Videos verfolgt. Eine Kombination ist sinnvoll, um zunächst die Objekte zu finden und anschließend, wenn sie verloren wurden, wiederzufinden.

A.2. Wahrnehmung

Was ist die Hauptfunktion von Aufmerksamkeit?

Antwort Das fokussieren auf eine einzelne Aufgabe und die Ausblendung der Umgebung (z. B. zur Unterhaltung mit einer Einzelperson, wenn in der Umgebung ebenfalls alle reden).

Was sind die drei Typen von Aufmerksamkeit?

Antwort

- Gewählte Aufmerksamkeit: Der Fokus wird bewusst auf eine Sache gelenkt.
- Geteilte Aufmerksamkeit: Es wird versucht, „Multitasking“ umzusetzen und den Fokus auf mehrere Sachen zu lenken (meist nicht erfolgreich, bzw. die einzelnen Aufgaben leiden).
- Erfasste Aufmerksamkeit: Ein Ereignis in der Umgebung (z. B. ein Raubtier) erfasst spontan die gesamte Aufmerksamkeit, ohne dass man dieses aktiv wählt.

Wie heißt das Forschungsgebiet, welches sich mit der Beziehung zwischen mentalem Erleben und objektiven Reizen auseinandersetzt?

Antwort Psychophysik

Was sind drei Zellen (mit Ausnahme der Photorezeptorzelle), die an der Signalverarbeitung in der Retina beteiligt sind und was sind deren Aufgaben?

Antwort

- Bipolarzellen: Informationsfilter (sammeln, gewichten, weiterleiten)
- Horizontalzellen: Kombination mehrerer Rezeptoren einer Region
- Amakrinzellen: Zeitliche Verarbeitung
- Ganglienzellen: Integration von Informationen, z. B. Kontrastwahrnehmung

In welchem Wellenlängenbereich werden Farben ungefähr wahrgenommen?

Antwort Ungefähr 400 nm bis 600 nm.

Wieso werden bei Videoaufnahmen mittlerweile Greenscreens statt anderen Farben bevorzugt?

Antwort Das menschliche Auge kann grüne Farben deutlich besser wahrnehmen, weshalb auch Kameras deutlich mehr Grün aufnehmen können (sie haben i. A. doppelt so viele grüne Pixel wie blaue/rote). Dadurch sind zur Ersetzung des grünen Hintergrunds mehr Informationen verfügbar und es funktioniert besser.

Was bedeutet „skotopisches“ und „photopisches“ Sehen?

Antwort Das photopische Sehen findet Tags statt (Tagsehen), das skotopische Sehen Nachts (Nachtsehen). Dabei sind bei ersterem besonders die Zapfen, bei letzterem besonders die Stäbchen aktiv.

In welchem Bereich des Auges sind Stäbchen und in welchem Bereich Zapfen?

Antwort Zapfen befinden sich vor allem in der Fovea, Stäbchen außerhalb der Fovea.

Was sind die drei Kategorien von Depth Cues (jeweils mit Beispiel)?

Antwort Pictorial Depth Cues (z. B. Schattenwurf), Binokulare Depth Cues (z. B. Parallaxe), Dynamic Depth Cues (z. B. Vorder-/Hintergrundbewegung)

Was sind zwei Elemente der frühen Wahrnehmung, um die Aufmerksamkeit visuell zu lenken?

Antwort Farbe und Form (wenn sich diese von anderen Farben/Formen unterscheiden, fällt das schnell auf).

Wieso ist bei Dunkelheit eine grün beleuchtete Oberfläche besser zu erkennen als eine blau beleuchtete Oberfläche und was hat das mit photopischem und skotopischem Sehen zu tun?

Antwort Nachts (bei skotopischem Sehen) sind vor allem die Stäbchen aktiv, die grüne Reize am besten wahrnehmen. Daher können grüne Gegenstände am besten erkannt werden.

Was sind zwei Pictorial Depth Cues (jeweils mit Beispiel)?

Antwort Verdeckung, Schattenwurf (ein längerer Schatten bedeutet z. B., dass das Objekt vermutlich höher steht), atmosphärische Tiefe (z. B. erscheinen Berge im Hintergrund blauer)

Kann das Fehlen eines Auges die Tiefenwahrnehmung beeinflussen?

Antwort Es sind dann nur noch monokulare (Pictorial und Dynamic Depth Cues) auswertbar, d. h. die Binokularen Depth Cues fallen weg. Es ist somit noch immer eine Tiefenwahrnehmung möglich, sie funktioniert aber schlechter.

A.3. Objekterkennung

Sei ein Klassifizierer gegeben, der für ein Bild mit fester Größe entscheidet, ob auf einem Bild ein Gesicht zu sehen ist oder nicht. Wie kann dieser Klassifizierer verwendet werden, um auch größere Bilder zu klassifizieren?

Antwort Es kann der „Sliding Window Approach“ genutzt werden. Bei diesem wird das gesamte Bild in Ein-Pixel-Schritten abgefahren, um jeden Ausschnitt einmal „durch den Klassifizierer zu jagen“. Nachdem das Bild einmal vollständig abgesucht wurde, wird es verkleinert und erneut abgesucht. Das Verfahren ist beendet, wenn entweder ein Gesicht gefunden wurde (vorzeitiger Abbruch) oder alle Bereiche mit allen Skalierungen abgesucht wurden.

Was sind zwei Merkmale von negativen Trainingsdaten bei einer Gesichtserkennung?

Antwort Bilder ohne Gesichter, Teilbilder von großen Bildern

Welche drei Schritte müssen durchgeführt werden, um einen Objekterkennungs-Detektion mit einem Erscheinungsmodell zu entwickeln? Was sind die wesentlichen Bestandteile?

Antwort

1. Modellbildung (bzw. Auswahl der Features)
2. Anlernen des Modells mit positiven und negativen Trainingsdaten
3. Validieren des Modells

Die wesentlichen Bestandteile sind der Klassifizierer (z. B. ein Naive Bayes Klassifizierer) und die (positiven sowie negativen) Trainingsdaten.

Welchen der Situationen „Das Personal von Fraport darf den Flughafenbereich erst nach erfolgreichem Scan des Ausweises betreten.“ und „Bei einem Überfall könnte durch die Überwachungskameras das Gesicht des Täters gefilmt werden, wodurch die Polizei die Identität feststellen konnte.“ sollten die Begriffe „Identifikation“ und „Verifikation“ zugeordnet werden?

Antwort Ersteres Verifikation (die Person gibt sowohl ihre biometrischen Merkmale als auch die zu prüfende Identität bekannt), zweiteres Identifikation (die Person gibt nur ihre biometrischen Merkmale bekannt und die Identität muss bestimmt werden).

A.4. Bayesian Decision Theory

Was nimmt der Naive Bayes Classifier bei mehreren Merkmalen an? Trifft diese Annahme immer zu?

Antwort Er nimmt an, dass die Merkmale statistisch unabhängig sind. Dies ist oft nicht der Fall, führt jedoch oft zu guten Ergebnissen.

Was ist die Entscheidungsregel, um einen Merkmalsvektor bei einem Zweiklassenproblem einer Klasse zuzuordnen?

Antwort Um eine Messung x der Klasse C_1 statt der Klasse C_2 zuzuordnen, muss der Posterior der ersten Klasse höher als der der zweiten Klasse sein:

$$\begin{aligned} p(C_1 | x) > p(C_2 | x) &\iff \frac{p(x | C_1)p(C_1)}{p(x)} > \frac{p(x | C_2)p(C_2)}{p(x)} \\ \iff p(x | C_1)p(C_1) > p(x | C_2)p(C_2) &\iff \frac{p(x | C_1)}{p(x | C_2)} > \frac{p(C_2)}{p(C_1)} \end{aligned}$$

Was bedeuten die Begriffe „Prior“, „Likelihood“ und „Posterior“ und wie hängen diese zusammen?

Antwort Der Prior bezeichnet die Wahrscheinlichkeit (-verteilung) $p(C_1)$, die Likelihood $p(x | C_1)$ und der Posterior die Wahrscheinlichkeit $p(C_1 | x)$. Diese Größen werden (zusammen mit der Normalisierung $p(x)$) durch Bayes Theorem verknüpft:

$$p(C_1 | x) = \frac{p(x | C_1)p(C_1)}{p(x)}$$

A.5. Fouriertheorie

Was charakterisiert die Fourier-Wellen im Ortsbereich und im Frequenzbereich?

Antwort Im Ortsbereich ergibt sich jeder Funktionswert durch Überlagerung aller Wellen. Im Frequenzbereich werden alle Werte des Ortsbereichs bei der Berechnung jeder Welle berücksichtigt.

Wodurch werden die Punkte in der Ebene bei Polarkoordinaten beschrieben?

Antwort Durch den Abstand zum Ursprung und den Winkel mit der x -Achse.

Was gilt für gerade/ungerade Funktionen bzgl. Fourier-Reihen?

Antwort Für gerade Funktionen gilt $b_n = 0$, für ungerade Funktionen gilt $a_n = 0$ für alle $n \in \mathbb{Z}$.

Wann ist eine Funktion $f(x)$ mit einer endlichen Grenzfrequenz u_G aus den Abtastwerten $f(n \cdot \Delta x)$ fehlerfrei rekonstruierbar?

Antwort Wenn die Abtastfrequenz mindestens doppelt so hoch wie die Grenzfrequenz ist, d. h. wenn $1/\Delta x > 2u_g$ gilt.

Neint sich die Diskretisierung einer kontinuierlichen Funktion mit einer anderen kontinuierlichen Funktion „Abtastung“?

Antwort Nein, die diskretisierende Funktion muss eine Kammfunktion sein.

Durch was kann eine Funktion, die die Dirichlet-Bedingungen erfüllt, dargestellt werden?

Antwort Summe aus Sinus und Kosinus

Welcher Operation entspricht eine Faltung zweier Funktionen im Ortsraum im Frequenzraum?

Antwort Multiplikation

Welche Operation wird genutzt, um die Frequenzanteile einer Funktion zu erhalten?

Antwort Fourier-Transformation

Angenommen, das Abtasttheorem von Shannon wird nicht eingehalten. Wie kann dennoch Aliasing verhindert werden ohne die Abtastfrequenz zu erhöhen?

Antwort Aliasing kann nicht verhindert werden, nur ein wenig durch Filterung reduziert werden.

A.6. Bilder

Wie können redundante Daten bei der Bildkompression eliminiert werden?

Antwort Durch Nachbarschaftsbeziehungen (zeitlich oder örtlich), Eliminierung von Effekten, die durch den Menschen nicht wahrgenommen werden können (psychovisuelle Effekte) sowie durch Entropiekodierung.

Wie entsteht Aliasing?

Antwort Aliasing entsteht durch eine zu langsame Abtastung (Abtasttheorem von Shannon).

Was sind Vor- und Nachteile von Frequenzraum-Filtern gegenüber Ortsraum-Filtern?

Antwort Frequenzraumfilter sind schnell und intuitiv zu erstellen. Bei der Rücktransformation aus dem Frequenzraum wird die Spezifikation approximiert, da im Ortsraum keine unendlich breiten Filter möglich sind. Außerdem muss für Frequenzraumfilter zunächst eine Fourier-Transformation durchgeführt werden.

Was sind die fünf Teilschritte der JPEG-Kompression?

Antwort

1. Konvertierung in den YCbCr-Farbraum
2. Farb-Subsampling
3. Diskrete Kosinustransformation
4. Quantisierung
5. Kodierung der Koeffizienten und abschließende Kompression

In welchem Teilschritt der JPEG-Kompression werden psychovisuelle Effekte verwendet, um besser zu komprimieren?

Antwort In den Teilschritten des Farb-Subsamplings sowie bei der Quantisierung.

Welche Merkmale eines Bildes können anhand des dazugehörigen Histogramms erkannt werden?

Antwort Helligkeit und Kontrast

Was sind zwei Aspekte der Maske eines Hochpassfilters im Ortsraum und was kann damit berechnet werden?

Antwort Die Werte können positiv und negativ sein und sind so normiert, dass die Summe Null ergibt. Damit kann z. B. eine Kantenberechnung durchgeführt werden.

Ist ein Binomial- oder ein Median-Filter schneller?

Antwort Der Binomial-Filter, da bei einem Median-Filter die Pixel zunächst für jeden Block sortiert werden müssen.

Ist der Laplacian-Filter ein Hoch-, Tief- oder Bandpass-Filter?

Antwort Hochpass-Filter

Sei I ein Bild und J ein Filter. Wie kann die Faltung mit dem Filter so umgeformt werden, dass die Faltung im Fourierraum geschieht. Nutze dabei $\mathcal{F}(\cdot)$, um eine Funktion zu Fourier-Transformieren.

Antwort

$$\hat{I} = \mathcal{F}^{-1}(\mathcal{F}(I) \cdot \mathcal{F}(J))$$

A.7. Bildverarbeitung

Was versteht man unter „Image Blurring“? Welcher Filter kann diesen Effekt z. B. hervorrufen?

Antwort Das „Verschmieren“/Weichzeichnen eines Bildes, d. h. das Bild wird unschärfer und es gehen Details verloren. Dies kann z. B. durch einen Gauß-Filter erreicht werden.

Was sind die beiden Probleme, die bei Deblurring auftreten können?

Antwort

1. Beinahe Division durch Null bei der Invertierung des Kernels A .
2. Rauschen verstärken: $g = a(f) + n$

Was ist eine formale Lösung des ersten Problems?

Antwort Es kann stattdessen eine komplex konjugierte Matrix verwendet werden:

$$F = \frac{A^*}{|A|}G$$

Welche Auswirkung hat die Wahl des Parameters R auf das Rauschen und die Kanten eines Bildes? Welche Filter entstehen bei unterschiedlicher Wahl von R ?

Antwort

- Ein kleines R führt zu einem Hochpass-Filter, d. h. zur Verstärkung des Rauschens, Entfernung der Kanten und Entfernung grober Strukturen.
- Ein großes R führt zu einem Tiefpass-Filter, d. h. zur Entfernung des Rauschens, Verwischung der Kanten und Erhalten grober Strukturen.
- Ein ideales R führt zu einem Bandpass-Filter, d. h. zur Entfernung des Rauschens, Verstärkung der Kanten und Erhalten grober Strukturen.

Was sind Vor- und Nachteile bei der Anwendung des „Scale-Space-Ansatzes“?

Antwort Entfernt Image Blurring, durch hinzufügen von zu vielen Termen wird das Rauschen jedoch wieder verstärkt

Wie lautet die Perona-Malik-Gleichung und was bedeutet der Parameter c ?

Antwort Gleichung:

$$\partial_t L = \nabla \circ \left(c(|\nabla L|^2) \cdot \nabla L \right)$$

Bei kleinem $c \approx 0$ wird die Diffusion an Kanten reduziert, bei großen $c \approx 1$ in flachen Bereichen verstärkt.

Was sind zwei Vorteile von Mehrschrittverfahren bezogen auf die Stoppzeit und Image Blurring (insbesondere bei dem Verfahren der Totalen Variation)?

Antwort Bei dem Verfahren der Totalen Variation wird keine Stoppzeit benötigt und die Verfahren minimieren das Rauschen (bei Totaler Variation entsteht kein Blurring).

Zur Bildverbesserung können partielle Diffusionsgleichungen genutzt werden, sodass das Bild in jedem Zeitschritt verbessert oder vereinfacht wird. Was wird bei Perona-Malik und der Totalen Variation gemacht, damit sich kein gleichmäßig graues Bild ergibt?

Antwort

- Perona-Malik: Einführung einer Stoppzeit, die die Iteration irgendwann beendet.
- Totale Variation: Einführung eines Distance Penalty, der den Algorithmus bestraft, sobald sich das Bild zu stark vom Anfangsbild unterscheidet.

Laut Hadamard ist das Problem „Deblurring“ nicht korrekt gestellt. Was wird (bspw. bei dem Wiener-Filter) dagegen getan, um dem entgegenzuwirken?

Antwort bei dem Wiener-Filter wird ein Regularisierungs-Parameter R eingeführt, um das Verfahren zu stabilisieren.

A.8. Grafikpipeline

Wieso sollte die Darstellungsreihenfolge innerhalb eines Baumes konsistent bleiben?

Antwort Bleibt die Reihenfolge nicht konsistent, so wird die korrekte Rekonstruktion aus dem Baum erschwert, da der Baum mehrdeutig wird.

Was ist der wesentliche Unterschied zwischen einem Quadtree und einem BSP-Tree?

Antwort In einem Quadtree hat jeder Knoten entweder vier oder keine Kinder, in einem BSP-Tree entweder zwei oder keine Kinder.

Was ist die maximale Anzahl an Knoten (inklusive Blätter), die ein Quadtree haben kann, um ein 8×8 Raster darzustellen?

Antwort 1 Wurzelknoten+4 Knoten auf Ebene Zwei+16 Knoten auf Ebene Drei+64 Knoten auf Ebene Vier = 85 Knoten

Was ist die minimale Anzahl an Knoten, die ein Octree haben kann, um ein $4 \times 4 \times 4$ Raster darzustellen?

Antwort Ein Knoten, z. B. wenn der gesamte Bereich ausgefüllt ist.

Was ist der Unterschied zwischen VR und AR?

Antwort Bei VR (Virtual Reality) wird eine gesamte neue „Realität“ produziert und simuliert (z. B. in einem Achterbahnsimulator), bei AR (Augmented Reality) wird die Realität durch künstliche Objekte (z. B. Schilder) erweitert.

Was ist VR-Sickness und was sind die Ähnlichkeiten sowie Unterschiede zu Motion-Sickness?

Antwort VR-Sickness tritt auf, wenn sich die Person nicht bewegt, das visuelle System jedoch eine Bewegung wahrnimmt (z. B. mit einer VR-Brille). Motion-Sickness tritt auf, wenn sich die Person bewegt, das visuelle System jedoch keine Bewegung wahrnimmt (z. B. im Zug im unbeleuchteten Tunnel).

Was sind Vor- und Nachteile des Painters Algorithmus?

Antwort

- Vorteil: Intuitiv, Verdeckungen werden automatisch Berücksichtigt
- Nachteil: „Verdeckungskreise“ sowie Transparenzen können nicht berücksichtigt werden. Außerdem müssen die Polygone zuvor der Tiefe nach geordnet werden.

Was ist Culling und wieso wird es verwendet?

Antwort Beim Culling werden verdeckte Flächen (z. B. Rückseiten) entfernt und somit nicht gerendert. Dies spart viele Ressourcen.

Was ist Rasterisierung?

Antwort Rasterisierung bezeichnet das Abbilden von Objekten, z. B. Linien, auf eine Pixelebene (d. h. die Umwandlung von Vektoren in einen diskreten Raum).

Wie viele Pixel (inklusive Start- und Endpixel) werden beim Bresenham-Algorithmus gezeichnet, wenn Startpunkt (2, 4) und Endpunkt (6, 8) gegeben sind?

Antwort Es werden $1 + \max \{6 - 2, 8 - 4\} = 1 + \max \{4, 4\} = 5$ Pixel gezeichnet.

Aus welchen drei Komponenten setzt sich die Leuchtdichte I_{total} beim Phong-Shading zusammen?

Antwort Ambiente Reflexion I_{amb} , Spiegelnde Reflexion I_{spec} , Diffuse Reflexion I_{diff} :

$$I_{\text{total}} = I_{\text{amb}} + I_{\text{spec}} + I_{\text{diff}}$$

Was ist ein weiteres Schattierungsverfahren (außer Phong-Shading)?

Antwort Flat Shading, Gouraud Shading

Auf welche der folgenden Aussagen trifft VR, AR oder beide zu: „... ist ein detaillierter und physikalisch korrekter Nachbau der realen Welt.“; „... ermöglicht beim Betrachten über einen Monitor eine Veränderung der Farben eines realen Gemäldes.“; „... verwendet Methoden des Visual Computing.“

Antwort VR; AR; Beide

A.9. Transformationen

Was sind zwei Unterschiede zwischen perspektivischer und paralleler Projektion?

Antwort Bei der perspektivischen Transformation werden Winkel verzerrt und die Projektion sieht natürlicher aus. Bei der parallelen Projektion geschieht dies nicht und die Projektion sieht „technischer“ aus.

Was sind jeweils zwei Anwendungen von perspektivischer und paralleler Projektion und weshalb?

Antwort

- Perspektivisch: Animationsfilme, First-Person-Spiele
- Parallel: Medizinische Bildgebung, technische Zeichnungen

Ist die Verkettung beliebiger affiner Abbildungen kommutativ?

Antwort Nein

Sind Projektionstransformationen affine Abbildungen?

Antwort Parallele ja, perspektivische nein

Ist die Transformationsmatrix einer Skalierung eine Diagonalmatrix?

Antwort Ja, auch in homogenen Koordinaten

Welche drei Schritte müssen durchgeführt werden, um ein beliebiges Objekt im Raum um eine beliebige Raumachse zu drehen?

Antwort

1. Verschieben des Objekts in den Ursprung
2. Rotation
3. Zurück verschieben des Objekts

In welcher Stelle der Grafikpipeline werden Transformationen genutzt und wie?

Antwort

- Modell-Transformation: Skalierung und Rotation der Primitive zum Aufbau des Modells
- View-Transformation: Verschieben und Rotieren aller Modelle im Kamerabereich
- Projektionstransformation: Perspektive oder parallele Projektion der Szene

Wie viele Dimensionen haben homogene Koordinaten, wenn die assoziierten inhomogenen Koordinaten n -dimensional sind?

Antwort Sie haben $(n + 1)$ Dimensionen.

A.10. 3D-Visualisierung

Wie kann eine Lehmfigur am besten in ein 3D-Modell umgewandelt werden, ohne diese zu berühren?

Antwort Zum Beispiel durch einen Laserscan (ein Kamerascan eignet sich vermutlich nicht, da Lehm sehr gleichförmig ist und Kanten deshalb schwer zu erkennen wären).

Was sind die Unterschiede zwischen direkter und indirekter Volumenvisualisierung (bzgl. Komplexität und Metadarstellung)?

Antwort Die indirekte Volumenvisualisierung nutzt eine Zwischendarstellung, was die direkte nicht tut. Dabei wird die direkte Volumenvisualisierung mit der Anzahl Vertices komplexer, die indirekte Volumenvisualisierung mit der Anzahl Polygone.

Was sind drei Arten von Culling und was bewirken diese?

Antwort Backface-Culling (Rückseiten werden nicht gezeichnet), View-Frustum-Culling (Polygone außerhalb des View Frustums werden nicht gezeichnet), Occlusion-Culling (verdeckte Polygone werden nicht gezeichnet)

Wie wird eine Delaunay-Triangulation aus einem Voronoi-Diagramm erstellt und umgekehrt?

Antwort Um eine Delaunay-Triangulation aus einem Voronoi-Diagramm zu erstellen, wird der duale Graph des Voronoi-Diagramms gebildet, sodass die umschließenden Kreise jedes Dreiecks keine Punkte enthalten. Ist dies nicht möglich, so müssen möglw. Kanten gedreht werden (Edge Flipping).

Um ein Voronoi-Diagramm aus einer Delaunay-Triangulation zu erhalten, wird der duale Graph dieser gebildet.

Was sind drei Basisoperationen der Volumen-Rendering-Pipeline?

Antwort Abtastung, Klassifizierung und Beleuchtung, Komposition

Für welche zwei Dinge wird eine Transferfunktion verwendet?

Antwort Um optische Farbattribute aus den Volumendaten zu erhalten, z. B. den Farbton und die Transparenz.

Was sind zwei Einsatzgebiete, in denen 3D-Daten vorkommen?

Antwort Medizin (CT, MRT, ...), Digitalisierung (z. B. von Relikten)

Wozu wird der Marching Squares Algorithmus verwendet?

Antwort Um Isolinien/Isoflächen in einer Pixelmenge zu finden.

Ist die Anzahl Dreiecke ein geeignetes Maß für die Komplexität eines Objekts? Wie viele Dreiecke werden benötigt, um eine Kugel exakt darzustellen?

Antwort Ja. Es werden unendliche viele Dreiecke benötigt, da jede durch Dreiecke dargestellte Version einer Kugel nur eine Approximation darstellt.

A.11. Szenengraphen

Welche vier Informationen werden zum Rendering einer 3D-Szene benötigt?

Antwort Objektgeometrie, Transformationen, Materialien, Kameras, Licht, Spezialeffekte

Was sind die Vorteile des Szenengraph-Konzepts?

Antwort Die einzelnen Komponenten sind durch Gruppierungen wiederverwendbar und es können Transformationen zusammengefasst werden.

Was wird unter dem Begriff „X3DOM“ verstanden?

Antwort X3D im DOM

A.12. Informationsvisualisierung

Was sind Vor- und Nachteile einer multivariaten Scatterplotmatrix?

Antwort

- Vorteile: Intuitiv verständlich, Korrelationen können erkannt werden
- Nachteile: Es können nur Korrelationen zwischen zwei Dimensionen erkannt werden, ungeeignet für viele Dimensionen

Was sind zwei Beispiele für hierarchische Daten und wie können diese visualisiert werden?

Antwort Beispiele: Dateisystem, Organisation in einer Firma; Visualisierung z. B. durch ein Node-Link-Diagramm oder eine Treemap

Wie lauten die vier Schritte sowie die drei „Interaktionen“ im Referenzmodell von Card in der korrekten Reihenfolge?

Antwort

- Schritte: Raw Data, Data Tables, Visual Structures, Views
- Interaktionen: Data Transformations, Visual Mappings, View Transformations

Welche zwei Visualisierungstechniken eignen sich, um 1D-Daten ohne Zeit darzustellen? Welche ist besser?

Antwort Es eignen sich z. B. Kuchendiagramme oder Balkendiagramme, wobei letztere besser sind, da hier die Größen besser verglichen werden können.

Können 1D-Daten durch parallele Koordinaten dargestellt werden?

Antwort Ja, dies entspricht dann einer Linie mit Punkten (wie ein Zahlenstrahl).

A.13. Farbe

Was sind die Unterschiede der in der Vorlesung genannten technischen Farbräume bzgl. der Farbdarstellung?

Antwort Statt RGB kann z. B. auch HSV genutzt werden, was sich zum intuitiven Tresholding besser eignet.

- RGB: Darstellung mit Rot-, Grün- und Blauwerten
- YCbCr: Darstellung mit Luminanz, Übergang Blau-Gelb und Rot-Grün im Gegenfarbraum
- HSI/HSV/HSL: Darstellung mit Hue, Saturation, Intensity/Value/Lightness
- CMY/CMYK: Darstellung mit Cyan-, Magenta- und Gelbwerten, mglw. noch Schwarzwerten

Was sind möglich Arten der Metamerie und was bedeuten diese?

Antwort

- Metamerie: Zwei unterschiedliche Lichtreize lösen gleiche Farbvalenzen aus.
- Beleuchtungsmetamerie: Zwei unterschiedliche Lichtreize lösen, abhängig von der Beleuchtung, die gleichen oder unterschiedliche Farbvalenzen aus.
- Betrachtermetamerie: Zwei unterschiedliche Lichtreize lösen, abhängig von dem Betrachter und bei gleicher Beleuchtung, die gleichen oder unterschiedliche Farbvalenzen aus.

Was ist der Unterschied zwischen bezogenen und unbezogenen Farben?

Antwort Bezogene Farben werden relativ zu anderen Wahrgenommen, unbezogene Farben werden isoliert wahrgenommen.

Was bedeuten die Begriffe „Weißpunkt“, „Farbton“, „Farbsättigung“ und „Komplementärfarbe“ bzgl. eines CIE XY Chromaticity Diagramms?

Antwort

- Der Weißpunkt ist der Zentrale Punkt.
- Der Farbton ist sind die am Rand befindlichen, monochromatischen Farben. Um den Farbton einer beliebigen Farbe zu finden, muss eine Linie durch den Weißpunkt gezogen werden. Der Punkt, an dem sich die Linie mit dem Rand schneidet, entspricht dem Farbton.

-
- Die Farbsättigung beschreibt den relativen Abstand zum Rand, bzw. zum Weißpunkt.
 - Die Komplementärfarbe kann gefunden werden, indem eine Linie durch den Weißpunkt gezogen wird. Die Farbe, die dann „durch den Weißpunkt“ im gleichen Abstand von diesem liegt, ist die Komplementärfarbe.

Was sind drei Attribute der Farbwahrnehmung?

Antwort Helligkeit, Relative Helligkeit, Farbton, Farbigkeit, Buntheit

Welcher Begriff wird durch die Aussage „Ob zwei verschiedene Farbreize bei gleichen Betrachtungsbedingungen für zwei verschiedene Personen unterschiedliche Farbreize erzeugen, hängt von den Spektralwertmatrizen der Personen ab.“ beschrieben?

Antwort Betrachtermetamerie

Welcher Begriff wird durch die Aussage „Dieser Gegenfarbraum modelliert Nichtlinearitäten des visuellen Systems und ist nahezu wahrnehmungsgleichabständig.“ beschrieben?

Antwort CIELAB-Farbraum

Welcher Begriff wird durch die Aussage „Eine Erhöhung der Leuchtdichte erhöht den Kontrast.“ beschrieben?

Antwort Stevens-Effekt

Welcher Begriff wird durch die Aussage „Eine Erhöhung der Leuchtdichte erhöht die Farbigkeit.“ beschrieben?

Antwort Hunt-Effekt

Welcher Begriff wird durch die Aussage „Eine Gegenfarbe im Hintergrund verstärkt die Farbwirkung.“ beschrieben?

Antwort Simultankontrast

A.14. Interaktion und User Interfaces

Was sind, neben der Kommandozeile, vier weitere Interaktionsmöglichkeiten?

Antwort Fenster, Menüs, Formulare, Fragen und Antworten, Direkte Manipulation, 3D-Umgebung, Natürliche Sprache, Gesten

Was ist das Problem bei 3D-Interaktion mit 2D-Eingabegeräten?

Antwort Die Interaktionen sind nicht immer (bzw. fast nie) eindeutig.

Wofür steht „WIMP“?

Antwort Windows, Icons, Menus, Pointers

A.15. Multimedia Information Retrieval

Welche Möglichkeiten der Spezifizierung einer Suchanfrage gibt es (neben Text) noch?

Antwort Spracheingabe, Query-by-Example, Query-by-Sketch

Was ist eine Möglichkeit, den Inhalt eines Multimediaobjekts zu beschreiben?

Antwort Manuelle, textuelle Annotation

Welche vier Bedingungen muss eine Metrik $d : S \times S \rightarrow \mathbb{R}$ erfüllen muss?

Antwort Nicht-Negativität, Definitheit, Symmetrie, Dreiecksungleichung

Zu welchen dieser Bedingungen können Beispiele gefunden werden, bei denen die menschliche Wahrnehmung von Unterschieden nicht einer Metrik entspricht?

Antwort Symmetrie, Dreiecksungleichung

Was sind generalisierte Dokumente?

Antwort Sämtliche „Dateien“, die Informationen enthalten (Videos, Bilder, Audioaufnahmen, ...)